

จลนพลดศาสต์และความว่องไวต่อปฏิกริยาของถ่านชาร์จากถ่านหินในประเทศไทย

นางสาว สุภาภรณ์ เศรษฐาภรณ์

วิทยานิพนธ์นี้เป็นส่วนหนึ่งของการศึกษาตามหลักสูตรปฏิญญาวิทยาศาสตรมหาบัณฑิต

สาขาวิชาเคมีเทคนิค ภาควิชาเคมีเทคนิค

คณะวิทยาศาสตร์ จุฬาลงกรณ์มหาวิทยาลัย

ปีการศึกษา 2547

ISBN 974 - 53 - 2119 - 2

ลิขสิทธิ์ของจุฬาลงกรณ์มหาวิทยาลัย

KINETICS AND REACTIVITY OF THAI COAL CHARS

Miss Supaporn Sawettaporn

A Thesis Submitted in Partial Fulfillment of the Requirement
for the Degree of Master of Science in Chemical Technology

Department of Chemical Technology

Faculty of Science

Chulalongkorn University

Academic Year 2004

ISBN 974 - 53 - 2119 - 2

หัวข้อวิทยานิพนธ์	ผลงานศาสตร์และความว่องไวต่อปฎิกริยาของถ่าน化水์จากถ่านหินในประเทศไทย
โดย	นางสาว สุภาวน์ เศวตภารณ์
สาขาวิชา	เคมีเทคนิค
อาจารย์ที่ปรึกษา	รองศาสตราจารย์ กัญจนा บุณยเกียรติ
อาจารย์ที่ปรึกษาร่วม	ผู้ช่วยศาสตราจารย์ ดร. บุญรักษ์ กิติยานันท์

คณะวิทยาศาสตร์ จุฬาลงกรณ์มหาวิทยาลัย อนุมติให้นับวิทยานิพนธ์ฉบับนี้เป็นส่วนหนึ่งของการศึกษาตามหลักสูตรปริญญาบัณฑิต

..... คณบดีคณะวิทยาศาสตร์
(ศาสตราจารย์ ดร. เปี่ยมศักดิ์ เมนะเศวต)

คณะกรรมการสอบวิทยานิพนธ์

..... ประธานกรรมการ
(ศาสตราจารย์ ดร. ภัทรพร ประสาสน์สารกิจ)

..... อาจารย์ที่ปรึกษา
(รองศาสตราจารย์ กัญจนा บุณยเกียรติ)

..... อาจารย์ที่ปรึกษาร่วม
(ผู้ช่วยศาสตราจารย์ ดร. บุญรักษ์ กิติยานันท์)

..... กรรมการ
(รองศาสตราจารย์ ดร. สมเกียรติ งามประเสริฐสิทธิ์)

..... กรรมการ
(อาจารย์ ดร. ประพันธ์ คุชลธารา)

สุภารณ์ เศวตาภรณ์ : จนพลศาสตร์และความว่องไวต่อปฏิกิริยาของถ่านชาร์จากถ่านหินในประเทศไทย (KINETICS AND REACTIVITY OF THAI COAL CHARS) อ.ที่ปรึกษา: รศ. กัญญา บุณย์เกียรติ, อ.ที่ปรึกษาร่วม: ผศ. ดร. บุนยรัชต์ กิติyanันท์ 123 หน้า. ISBN 974-532-119-2.

งานวิจัยนี้ศึกษาผลของอุณหภูมิ ขนาดอนุภาค และรากในถ่านหินและการไฟโรลส์ที่ส่งผลต่อสมบัติและความว่องไวต่อปฏิกิริยาของถ่านชาร์ โดยการไฟโรลส์ถ่านหินศักดิ์ลิกไนต์ แหล่งลี จังหวัดลำพูนและศักดิ์ชับบิทูมนิส แหล่งลำปาง จังหวัดลำปาง ขนาดอนุภาค <75 และ $150 - 250$ ไมโครเมตรในเครื่องปฏิกิริยแบบ drop tube ที่อุณหภูมิ $500 - 900$ องศาเซลเซียส จากนั้นนำถ่านชาร์ที่ได้มาทำปฏิกิริยาแกซิฟิเคชันด้วยคาร์บอนไดออกไซด์ในเครื่องปฏิกิริยแบบ drop tube/fixed bed ที่อุณหภูมิ $900 - 1,100$ องศาเซลเซียส

ติดตามอัตราการเกิดปฏิกิริยาด้วยการวัดปริมาณก้าชาร์บอนมอนอกไซด์ที่เกิดขึ้นกับเวลา และวิเคราะห์ในเทอมของความว่องไวและพลังงานกระตุ้นของปฏิกิริยา พบร่วมกับอัตราแกซิฟายถ่านชาร์ขึ้นกับอุณหภูมิแกซิฟายและสมบัติเบื้องต้นของถ่านชาร์โดยปฏิกิริยาแกซิฟิเคชันเกิดได้ดีเมื่ออุณหภูมิสูงขึ้น ถ่านชาร์จากถ่านหินลิกไนต์มีความว่องไวในการเกิดปฏิกิริยาสูงกว่าถ่านชาร์จากถ่านหินชับบิทูมนิส และถ่านชาร์ขนาดอนุภาค <75 ไมโครเมตรมีความว่องไวในการเกิดปฏิกิริยาสูงกว่าถ่านชาร์ขนาด $150 - 250$ ไมโครเมตร เนื่องมาจากอิทธิพลของสารอนินทรีย์ที่เป็นองค์ประกอบในถ่านหินเริ่มต้น ซึ่งถ่านชาร์ที่ผ่านการล้างสารอนินทรีย์มีความว่องไวในการเกิดปฏิกิริยาต่ำกว่าถ่านชาร์ที่ไม่ผ่านการล้างสารอนินทรีย์อย่างเห็นได้ชัด แต่ผลของอุณหภูมิไฟโรลส์ถ่านหินต่อความว่องไวของถ่านชาร์ไม่เด่นชัดมากนัก อัตราการแกซิฟายถ่านชาร์นี้สามารถอธิบายโดยพลังงานกระตุ้นของถ่านชาร์จากถ่านหินลิกไนต์และชับบิทูมนิสอยู่ในช่วง $44 - 69$ และ $51 - 66$ กิโลจูลต่อมอล ตามลำดับ และสารอนินทรีย์ในถ่านชาร์มีส่วนช่วยลดพลังงานกระตุ้นของปฏิกิริยา

ภาควิชา เคมีเทคนิค
สาขาวิชา เคมีเทคนิค¹
ปีการศึกษา 2547

ลายมือชื่อนि�สิต.....
ลายมือชื่ออาจารย์ที่ปรึกษา.....
ลายมือชื่ออาจารย์ที่ปรึกษาร่วม.....

4572551923 : MAJOR CHEMICAL TECHNOLOGY

KEY WORD: THAI COAL CHAR / PYROLYSIS / KINETIC / REACTIVITY

SUPAPORN SAWETTAPORN: KINETICS AND REACTIVITY OF THAI COAL CHARS. THESIS ADVISOR: ASSOC. PROF. KUNCHANA BUNYAKIAT, THESIS COADVISOR: ASST. PROF. BOONYARACH KITIYANAN, Ph.D. 123 pp. ISBN 974-532-119-2.

The objective of this research is to study the effects of pyrolysis temperature, particle size and inorganic matter on reactivity of char. Two size ranges ($<75 \mu\text{m}$ and $150 - 250 \mu\text{m}$) of Ban Pu lignite and Lampang subbituminous coals were pyrolyzed in a drop tube furnace reactor in nitrogen atmosphere at $500 - 900^\circ\text{C}$. After that, gasification rate of these coal chars with carbon dioxide were determined at $900 - 1,100^\circ\text{C}$.

The result is analyzed in terms of; reaction rate and reactivity of char - CO_2 gasification, and activation energy. It was found that gasification rates depend on reaction temperature and chars properties. By increasing the temperature, gasification rate of these coal chars increase. Lignite chars have higher gasification reactivity than subbituminous chars. For $<75 \mu\text{m}$ chars, gasification reactivity is higher than $150 - 250 \mu\text{m}$ chars from resources due to the higher inherent content of inorganic matter. Comparison of gasification both rates and reactivity indices of chars from demineralized coal and from untreated coals show that chars from the latter have higher reactivity. Pyrolysis temperature shows little effect on gasification reactivity. Shrinking - core model can best describe the experimental results. The apparent activation energy of lignite chars and subbituminous chars are 44 - 69, 51 - 66 kJ/mol respectively. It is also found that the presence of inorganic matter in chars reduces the activation energy.

Department	Chemical Technology	Student's signature.....
Field of study	Chemical Technology	Advisor's signature.....
Academic year	2004	Co-advisor's signature.....

กิตติกรรมประกาศ

ขอกราบขอบพระคุณ รองศาสตราจารย์ กัญจนा บุณยเกียรติ และผู้ช่วยศาสตราจารย์ ดร. บุนยรัชต์ กิติยานันท์ ที่กรุณามให้คำปรึกษา แนะนำ และช่วยเหลือให้งานวิจัยสำเร็จลุล่วงไปด้วยดี รวมทั้งคณาจารย์ทุกท่านในภาควิชาเคมีเทคนิค ที่ได้ให้คำแนะนำ

ขอขอบคุณบริษัท บ้านปู อินเตอร์เนชันแนล จำกัด (มหาชน) ที่กรุณาอนุเคราะห์ให้ ตัวอย่างถ่านหินเพื่อใช้ในการทำวิทยานิพนธ์ ขอขอบคุณบัณฑิตวิทยาลัยที่ให้ทุนอุดหนุนงานวิจัย นี้ ขอขอบพระคุณเจ้าหน้าที่ศูนย์เครื่องมือวิจัยวิทยาศาสตร์และเทคโนโลยี และวิทยาลัยปิโตรเลียม และปิโตรเคมี จุฬาลงกรณ์มหาวิทยาลัย ที่กรุณาร่วมช่วยเหลือพร้อมทั้งอำนวยความสะดวกในการวิเคราะห์

ขอขอบคุณบุคลากรในภาควิชาเคมีเทคนิคทุกท่าน ที่ได้อำนวยความสะดวกในการใช้ ห้องปฏิบัติการงานวิจัยสำเร็จลงด้วยดี ขอขอบคุณ คุณสันิท ปรีนศร ที่ช่วยเหลือซ่อมสร้าง เครื่องมือบางส่วนที่ใช้ในงานวิจัย ขอขอบคุณพี่ๆ เพื่อนๆ ในภาควิชาเคมีเทคนิคและผู้อุปถั�ง ทุกท่านที่ได้ให้ความช่วยเหลือและเป็นกำลังใจให้กับการทำวิทยานิพนธ์สำเร็จลุล่วง

สุดท้ายนี้ ขอกราบขอบพระคุณ บิดา แมรดา พี่น้อง ที่ได้ให้กำลังใจ ให้คำแนะนำ ความช่วยเหลือและให้การสนับสนุนเสมอมาจนสำเร็จการศึกษา

สารบัญ

	หน้า
บทคัดย่อภาษาไทย	๕
บทคัดย่อภาษาอังกฤษ	๗
กิตติกรรมประกาศ	๑๒
สารบัญ	๑๓
สารบัญตาราง	๑๔
สารบัญรูปภาพ	๑๕
 บทที่	
1. บทนำ	1
1.1. ความเป็นมาและความสำคัญของปัญหา	1
1.2. วัตถุประสงค์ของการวิจัย	2
1.3. ขอบเขตของการวิจัย	2
1.4. ประโยชน์ที่คาดว่าจะได้รับ	2
1.5. วิธีดำเนินการวิจัย	3
2. ทฤษฎีและงานวิจัยที่เกี่ยวข้อง	4
2.1. การประรูปถ่านหิน	4
2.2. ไฟโรไลซิสของถ่านหิน	5
2.2.1. อิทธิพลต่อไฟโรไลซิส	9
2.3. แกซิฟิเคชัน	11
2.3.1. การแกซิฟายถ่านหาร์	13
2.3.2. เทอร์โมไดนามิกส์ของการแกซิฟาย	13
2.3.3. จนพลศาสตร์ของการแกซิฟายถ่านหิน	15
2.3.4. ปัจจัยที่มีผลต่อความร่องไวในการแกซิฟาย	17
2.4. เอกสารและงานวิจัยที่เกี่ยวข้อง	19
2.5. งานวิจัยที่เกี่ยวข้องในประเทศไทย	23
3. เครื่องมือและวิธีการดำเนินการวิจัย	26
3.1. การเตรียมตัวอย่างถ่านหิน	26
3.1.1. ถ่านหินที่ใช้ในการทดลอง	26
3.1.2. อุปกรณ์ในการเตรียมตัวอย่างถ่านหิน	26

3.1.3. วิธีการบดและแบ่งตัวอย่างถ่านหิน	26
3.2. การเตรียมตัวอย่างถ่านหินเพื่อใช้ในการทดลอง	27
3.3. การล้างสารอนินทรีย์ออกจากถ่านหิน.....	27
3.4. การวิเคราะห์ถ่านหิน.....	28
3.5. การไฟโรไลส์ถ่านหิน.....	29
3.6. การแกะซีฟายถ่านชาร์.....	31
3.7. การตรวจสอบก้าชด้วยเครื่องแก๊สโครมาโทกราฟ	32
3.8. ตัวแปรที่ทำการศึกษา	33
4. ผลการทดลอง	34
4.1. สัญลักษณ์ที่ใช้.....	34
4.2. ผลการวิเคราะห์สมบัติต่างๆ ของถ่านหิน	34
4.2.1. ผลการวิเคราะห์ถ่านหินแบบประมาณ	34
4.2.2. ผลการวิเคราะห์ถ่านหินแบบแยกธาตุ	38
4.2.3. ผลการวิเคราะห์ปริมาณกำมะถันและค่าความร้อน	41
4.2.4. ผลการวิเคราะห์ปริมาณพื้นที่ผิวจำเพาะด้วยวิธี BET	42
4.2.5. ผลการวิเคราะห์ลักษณะโครงสร้างภายในนอกด้วยเครื่อง Scanning Electron Microscope (SEM).....	42
4.2.6. ผลการวิเคราะห์ปริมาณสารอนินทรีย์ในถ่านหิน	43
4.2.7. เปรียบเทียบสมบัติของถ่านหินบ้านปูรุห่วงถ่านหินที่ผ่านการล้างและไม่ล้างสารอนินทรีย์	44
4.3. ผลการวิเคราะห์สมบัติต่างๆ ของถ่านชาร์	46
4.3.1. ผลการวิเคราะห์ถ่านชาร์แบบประมาณโดยเทคนิคทางความร้อน.....	46
4.3.2. ผลการวิเคราะห์ถ่านชาร์แบบแยกธาตุ	47
4.3.3. ผลการวิเคราะห์ปริมาณพื้นที่ผิวจำเพาะด้วยวิธี BET	47
4.3.4. ผลการวิเคราะห์ลักษณะโครงสร้างภายในของถ่านชาร์	47
4.4. ผลการแกะซีฟายถ่านชาร์	47
4.4.1. อิทธิพลของอุณหภูมิไฟโรไลส์ต่ออัตราการแกะซีฟายถ่านชาร์.....	47
4.4.2. อิทธิพลของขนาดอนุภาคถ่านชาร์ต่ออัตราการแกะซีฟายถ่านชาร์	58
4.4.3. อิทธิพลของสารอนินทรีย์ต่ออัตราแกะซีฟายถ่านชาร์	58
4.5. ความว่องไวในการแกะซีฟาย.....	64
4.5.1. อิทธิพลของอุณหภูมิไฟโรไลส์ต่อความว่องไวของถ่านชาร์	65

4.5.2. อิทธิพลของขนาดอนุภาคต่อความว่องไวของถ่านชาร์.....	67
4.5.3. อิทธิพลของสารอนินทรีย์ต่อความว่องไวของถ่านชาร์.....	68
4.6. จนผลศาสตร์ของการแกซิฟาย	69
5. วิจารณ์ สรุปผลการทดลอง และข้อเสนอแนะ	76
5.1. สมบัติเบื้องต้นของถ่านหิน	76
5.2. สมบัติของถ่านชาร์	77
5.3. การแกซิฟายถ่านชาร์	79
5.4. อิทธิพลของอุณหภูมิไฟโรไลส์ถ่านหินต่อความว่องไวของถ่านชาร์	79
5.5. อิทธิพลของขนาดอนุภาคถ่านชาร์ต่อความว่องไวของถ่านชาร์	79
5.6. อิทธิพลของสารอนินทรีย์ต่อความว่องไวของถ่านชาร์.....	80
5.7. ความสัมพันธ์ระหว่างความว่องไวกับสมบัติของถ่านชาร์	80
5.8. จนผลศาสตร์ของการแกซิฟาย	80
5.9. ข้อเสนอแนะ	81
5.10. ข้อผิดพลาดจากการทดลอง.....	81
รายการอ้างอิง.....	83
ภาคผนวก ก	88
ภาคผนวก ข	94
ภาคผนวก ค	95
ประวัติผู้เขียนวิทยานิพนธ์	109

สารบัญตาราง

	หน้า
ตารางที่ 2.1 การเปลี่ยนแปลงขององค์ประกอบของถ่านหินศักดิ์ต่างๆ	4
ตารางที่ 2.2 ปฏิกิริยาที่เกิดในการแก๊ซไฟยถ่านหิน	12
ตารางที่ 2.3 สมการอัตราการแก๊ซไฟยและค่าตัวแปรทางจนผลศาสตร์ของถ่านชาร์	24
ตารางที่ 3.1 ภาระการทดลอง.....	33
ตารางที่ 4.1 รหัสย่อของตัวอย่างในการทดลองต่างๆ.....	34
ตารางที่ 4.2 ผลการวิเคราะห์ถ่านหินบ้านปูและลำปางแบบประมาณตามวิธีมาตรฐาน ASTM D3172 - 3175	36
ตารางที่ 4.3 ผลการวิเคราะห์ถ่านหินบ้านปูและลำปางแบบประมาณ โดยใช้เครื่องวิเคราะห์ทางความร้อน.....	37
ตารางที่ 4.4 โปรแกรมการวิเคราะห์แบบประมาณโดยใช้เครื่องวิเคราะห์ทางความร้อน.....	38
ตารางที่ 4.5 การเปรียบเทียบผลการวิเคราะห์ถ่านหินบ้านปูและลำปางแบบประมาณ (ถ่านหิน ผึ่งแห้ง) ระหว่างวิธีมาตรฐาน ASTM กับการใช้เครื่องวิเคราะห์ทางความร้อน.....	39
ตารางที่ 4.6 การเปรียบเทียบผลการวิเคราะห์ถ่านหินบ้านปูและลำปางแบบประมาณ (ถ่านหิน แห้ง) ระหว่างวิธีมาตรฐาน ASTM กับการใช้เครื่องวิเคราะห์ทางความร้อน.....	40
ตารางที่ 4.7 การเปรียบเทียบผลการวิเคราะห์ถ่านหินบ้านปูและลำปางแบบประมาณ (ถ่านหินแห้ง, ไม่รวมเด็ก) ระหว่างวิธีมาตรฐาน ASTM กับการใช้เครื่องวิเคราะห์ ทางความร้อน	41
ตารางที่ 4.8 ผลการวิเคราะห์ถ่านหินบ้านปูและลำปางแบบแยกธาตุ (ถ่านหินแห้ง)	41
ตารางที่ 4.9 ผลการวิเคราะห์ปริมาณสารอนินทรีย์ในถ่านหินด้วยเทคนิค XRF	43
ตารางที่ 4.10 ผลการวิเคราะห์ปริมาณสารอนินทรีย์ในถ่านหินด้วยเทคนิค XRF	44
ตารางที่ 4.11 ผลการเปรียบเทียบสมบัติของถ่านหินบ้านปูระหว่างถ่านหินที่ผ่านการล้าง และไม่ล้างสารอนินทรีย์	45
ตารางที่ 4.12 แสดงผลการวิเคราะห์ถ่านชาร์แบบประมาณ	48
ตารางที่ 4.13 ผลการวิเคราะห์ถ่านชาร์แบบแยกธาตุ (ถ่านชาร์แห้ง)	49
ตารางที่ 4.14 ผลการวิเคราะห์ปริมาณพื้นที่ผิวจำเพาะของถ่านชาร์.....	49
ตารางที่ 4.15 ค่า Reactivity index (R_s) ของถ่านชาร์บ้านปูและลำปาง	64
ตารางที่ 4.16 ค่า Reactivity index (R_s) ของถ่านชาร์บ้านปูที่ผ่านการล้างและ ไม่ล้างสารอนินทรีย์	69
ตารางที่ 4.17 ค่าคงที่ปฏิกิริยาและค่าพลังงานกระตุ้นการแก๊ซไฟยของถ่านชาร์บ้านปู	72

ตารางที่ 4.18 ค่าคงที่ปฏิกริยาและค่าพลังงานกระตุ้นการแกซิฟายของถ่านชาร์บ้านปูที่ผ่านการล้างสารอนินทรีย์แล้ว	73
ตารางที่ 4.19 ค่าคงที่ปฏิกริยาและค่าพลังงานกระตุ้นการแกซิฟายของถ่านชาร์จำปาง	74
ตารางที่ 4.20 เปรียบเทียบค่าพลังงานกระตุ้นจากการวิจัยนี้กับงานวิจัยที่ผ่านมา	75
ตารางที่ ข1 ค่าความแตกต่างที่ยอมรับได้ของ การตรวจสอบซ้ำ (repeatability) และการตรวจสอบใหม่ (reproducibility)	94
ตารางที่ ค1.1 เวลา retention และพื้นที่ขององค์ประกอบจาก การฉีดก๊าซมาตรฐาน 2 ครั้ง	96
ตารางที่ ค1.2 retention time และพื้นที่ให้พิคขององค์ประกอบจาก การฉีดก๊าซที่ได้จาก การแกซิฟายถ่านชาร์บ้านปูขนาด 150 - 250 ไมโครเมตร อุณหภูมิไฟโรไลส์ 700 องศาเซลเซียส ที่ อุณหภูมิ 1,000 องศาเซลเซียส เก็บก๊าซที่เวลา 0 - 1 และ 1 - 2 นาที	97
ตารางที่ ค2.1 ตัวอย่างการคำนวณค่าร้อยละการเปลี่ยนของถ่านชาร์กับเวลา	100
ตารางที่ ค4.1 ค่าคงที่ปฏิกริยาและพลังงานกระตุ้นของถ่านชาร์บ้านปู	107
ตารางที่ ค5.1 ผลการเปรียบเทียบปริมาณสารอนินทรีย์ในถ่านหินด้วยเทคนิค XRF	108

สารบัญรูป

	หน้า
รูปที่ 2.1 ลักษณะทางโครงสร้างทางเคมีของโมเลกุลต้านพิษ	6
รูปที่ 2.2 ตัวอย่างกลุ่มโมเลกุลจากการสลายตัวของต้านพิษเมื่อได้รับความร้อน	7
รูปที่ 2.3 ตัวอย่าง Volatile release profile ของต้านพิษบิทูมินัสจากสกอตแลนด์และอัฟริกาใต้ ..	9
รูปที่ 2.4 อิทธิพลของอุณหภูมิต่อองค์ประกอบก้าวที่ภาวะสมดุล	14
รูปที่ 2.5 อิทธิพลของอัตราส่วนระหว่างออกซิเจนกับไบโอน้ำที่มีต่อองค์ประกอบก้าวที่ภาวะสมดุล	14
รูปที่ 2.6 การเกิดปฏิกิริยาของอนุภาคของแข็งตามแบบจำลองไฮโนเจนไฮส	15
รูปที่ 2.7 การเกิดปฏิกิริยาของอนุภาคของแข็งตามแบบจำลองแกนกลางหดตัว	16
รูปที่ 3.1 เครื่องปฏิกรณ์ที่ใช้ในการไฟโรไลส์	29
รูปที่ 3.2 เครื่องปฏิกรณ์ที่ใช้ในการแกซิฟาย	31
รูปที่ 4.1 ลักษณะพื้นผิวของต้านพิษ	42
รูปที่ 4.2 ลักษณะพื้นผิวของต้านพิษบ้านปูขนาด 150 - 250 ไมโครเมตร	46
รูปที่ 4.3 ลักษณะพื้นผิวของต้านชาร์บ้านปูขนาด 150 - 250 ไมโครเมตร ที่อุณหภูมิไฟโรไลส์ต่างๆ	50
รูปที่ 4.4 ลักษณะพื้นผิวของต้านชาร์จำปาขนาด 150 - 250 ไมโครเมตร ที่อุณหภูมิไฟโรไลส์ต่างๆ	51
รูปที่ 4.5 ความสัมพันธ์ระหว่างร้อยละการเปลี่ยนของต้านชาร์บ้านปูกับเวลา ที่อุณหภูมิไฟโรไลส์ต่างๆ และอุณหภูมิแกซิฟาย 900 องศาเซลเซียส	52
รูปที่ 4.6 ความสัมพันธ์ระหว่างร้อยละการเปลี่ยนของต้านชาร์บ้านปูกับเวลา ที่อุณหภูมิไฟโรไลส์ต่างๆ และอุณหภูมิแกซิฟาย 1,000 องศาเซลเซียส	53
รูปที่ 4.7 ความสัมพันธ์ระหว่างร้อยละการเปลี่ยนของต้านชาร์บ้านปูกับเวลา ที่อุณหภูมิไฟโรไลส์ต่างๆ และอุณหภูมิแกซิฟาย 1,100 องศาเซลเซียส	54
รูปที่ 4.8 ความสัมพันธ์ระหว่างร้อยละการเปลี่ยนของต้านชาร์จำปา กับเวลา ที่อุณหภูมิไฟโรไลส์ต่างๆ และอุณหภูมิแกซิฟาย 900 องศาเซลเซียส	55
รูปที่ 4.9 ความสัมพันธ์ระหว่างร้อยละการเปลี่ยนของต้านชาร์จำปา กับเวลา ที่อุณหภูมิไฟโรไลส์ต่างๆ และอุณหภูมิแกซิฟาย 1,000 องศาเซลเซียส	56
รูปที่ 4.10 ความสัมพันธ์ระหว่างร้อยละการเปลี่ยนของต้านชาร์จำปา กับเวลา ที่อุณหภูมิไฟโรไลส์ต่างๆ และอุณหภูมิแกซิฟาย 1,100 องศาเซลเซียส	57

รูปที่ 4.11 ความสัมพันธ์ระหว่างร้อยละการเปลี่ยนของถ่านชาร์บ้านปูกับเวลา ที่อุณหภูมิแกซิฟายต่างๆ.....	59
รูปที่ 4.12 ความสัมพันธ์ระหว่างร้อยละการเปลี่ยนของถ่านชาร์จำปางกับเวลา ที่อุณหภูมิแกซิฟายต่างๆ.....	60
รูปที่ 4.13 ความสัมพันธ์ระหว่างร้อยละการเปลี่ยนของถ่านชาร์บ้านปู อุณหภูมิไฟโรไลส์ 500 องศาเซลเซียสที่ผ่านการล้างและไม่ล้างสารอนินทรีย์กับเวลา ที่อุณหภูมิแกซิฟายต่างๆ.....	61
รูปที่ 4.14 ความสัมพันธ์ระหว่างร้อยละการเปลี่ยนของถ่านชาร์บ้านปู อุณหภูมิไฟโรไลส์ 700 องศาเซลเซียสที่ผ่านการล้างและไม่ล้างสารอนินทรีย์กับเวลา ที่อุณหภูมิแกซิฟายต่างๆ.....	62
รูปที่ 4.15 ความสัมพันธ์ระหว่างร้อยละการเปลี่ยนของถ่านชาร์บ้านปู อุณหภูมิไฟโรไลส์ 900 องศาเซลเซียสที่ผ่านการล้างและไม่ล้างสารอนินทรีย์กับเวลา ที่อุณหภูมิแกซิฟายต่างๆ.....	63
รูปที่ 4.16 ความสัมพันธ์ระหว่างค่า Reactivity index (R_s) กับอุณหภูมิแกซิฟายถ่านชาร์บ้านปู ที่อุณหภูมิไฟโรไลส์ต่างๆ	65
รูปที่ 4.17 ความสัมพันธ์ระหว่างค่า Reactivity index (R_s) กับอุณหภูมิแกซิฟายถ่านชาร์จำปาง ที่อุณหภูมิไฟโรไลส์ต่างๆ	66
รูปที่ 4.18 ความสัมพันธ์ระหว่างค่า Reactivity index (R_s) กับอุณหภูมิแกซิฟายถ่านชาร์ ที่ภาวะต่างๆ	67
รูปที่ 4.19 ความสัมพันธ์ระหว่างค่า Reactivity index (R_s) กับอุณหภูมิแกซิฟาย ถ่านชาร์บ้านปูและจำปาง	70
รูปที่ 4.20 ความสัมพันธ์ระหว่างค่า Reactivity index (R_s) กับอุณหภูมิแกซิฟายถ่านชาร์บ้านปู ขนาด 150 - 250 ไมโครเมตร ที่ผ่านการล้างและไม่ล้างสารอนินทรีย์.....	71
รูปที่ ค 1.1 ความไม่คงที่ที่ได้จากการฉีดก้าชมาตราฐานครั้งที่ 1	95
รูปที่ ค 1.2 ความไม่คงที่ที่ได้จากการฉีดก้าชมาตราฐานครั้งที่ 2	95
รูปที่ ค 1.3 ความไม่คงที่ที่ได้จากการฉีดก้าชจากการแกซิฟายที่เวลา 0 - 1 นาที	97
รูปที่ ค 1.4 ความไม่คงที่ที่ได้จากการฉีดก้าชจากการแกซิฟายที่เวลา 1 - 2 นาที	97
รูปที่ ค 2.1 ความสัมพันธ์ระหว่างอัตราการเกิดก้าชคาดก่อนออกใช้ดีกับเวลา	101
รูปที่ ค 2.2 ความสัมพันธ์ระหว่างร้อยละการเปลี่ยนของถ่านชาร์กับเวลา	101
รูปที่ ค 3.1 ผลทดสอบแบบจำลองกับผลการแกซิฟายถ่านชาร์ อุณหภูมิไฟโรไลส์ 500 องศาเซลเซียส	103

รูปที่ ค3.2 ผลทดสอบแบบจำลองกับผลการแก้เชิงพายถ่านชาร์	
อุณหภูมิไฟโรไลส์ 700 องศาเซลเซียส	104
รูปที่ ค3.3 ผลทดสอบแบบจำลองกับผลการแก้เชิงพายถ่านชาร์	
อุณหภูมิไฟโรไลส์ 900 องศาเซลเซียส	105
รูปที่ ค4.1 ความสัมพันธ์ระหว่าง $(1 - (1 - X)^{\frac{1}{3}})$ กับเวลา	106
รูปที่ ค4.2 ความสัมพันธ์ระหว่าง $\ln(k)$ กับอุณหภูมิแก้เชิงพายต่างๆ	108

บทที่ 1

บทนำ

1.1. ความเป็นมาและความสำคัญของปูนหิน

ถ่านหินที่พบในประเทศไทยมีคุณภาพหลากหลายตั้งแต่ต่ำสุดคือ ลิกไนต์ ชับบิทูมินัส บิทูมินัสและเซมิแอนทราไซต์ในปริมาณที่แตกต่างกันออกไป แต่ถ่านหินที่พบส่วนใหญ่มีคุณภาพต่ำ คือ ลิกไนต์กับชับบิทูมินัส ซึ่งมีปริมาณสำรองที่ประเมินได้ปี พ.ศ. 2546 ประมาณ 2,140 ล้านตัน และในปี 2547 มีการผลิตทั้งสิ้น 16.657 ล้านตัน เพิ่มขึ้นจากปีที่ผ่านมา ร้อยละ 6.4 ประมาณร้อยละ 83 เป็นการผลิตจากเหมืองแม่เมะและกระเบี้ยของการไฟฟ้าฝ่ายผลิตแห่งประเทศไทย ที่เหลืออีกร้อยละ 17 เป็นการผลิตจากเหมืองเอกชน[1] ถ่านหินลิกไนต์ที่ผลิตได้ถูกนำมาใช้ประโยชน์เพื่อเป็นเชื้อเพลิง เช่น เป็นเชื้อเพลิงเพื่อการผลิตกระแสไฟฟ้า การผลิตกล่องการผลิตปูนซีเมนต์ ปูนใบยาสูบ อุตสาหกรรมผลิตอาหารและอุตสาหกรรมต่างๆ ที่ใช้ม้อหน้าร้อนในกระบวนการ

นอกจากประโยชน์ด้านเชื้อเพลิงแล้ว ยังสามารถใช้ประโยชน์ถ่านหินในด้านอื่นๆ ได้อีกมาก เช่น โดยผ่านกระบวนการแปรรูปผลิตถ่านสังเคราะห์ (activated carbon) ซึ่งเป็นสารดูดกลิ่นใช้ในเครื่องกรองน้ำ และเครื่องใช้ต่างๆ ที่ต้องการประโยชน์ด้านการดูดซับกลิ่น คาร์บอนไฟเบอร์ (carbon fiber) ซึ่งเป็นวัสดุที่มีความแข็งแกร่ง แต่มีน้ำหนักเบา และสารเคมีต่างๆ เช่น สารประกอบแอกโรเมติก (aromatics) สารประกอบแนฟทาลีน (naphthalenes) สารประกอบฟีโนอล (phenols) เป็นต้น

ในขั้นตอนการเปลี่ยนแปลงของถ่านหินด้วยกระบวนการทางความร้อน (thermal process) ต้องผ่านขั้นตอนการสลายโครงสร้างด้วยความร้อน (pyrolysis) ก่อน ผลผลิตในขั้นตอนนี้ คือ ถ่านชาร์ (char) และสมบัติของถ่านชารมีผลต่อการแปรรูปเป็นเชื้อเพลิงต่อไป ไม่ว่าจะเป็นการแกซิฟาย การผลิตเป็นเชื้อเพลิงเหลว หรือการเผาไหม้ จึงมีงานวิจัยที่ศึกษาการไฟโรไลส์ถ่านหินกันมาก เพราะสามารถนำความรู้ไปรับประทานการแปรรูปในขั้นตอนถัดไปได้

การไฟโรไลส์ถ่านหิน ขึ้นอยู่กับภาวะ ตัวแปร และสมบัติของถ่านหินเริ่มต้น ตัวแปรทางเคมีที่สำคัญ ได้แก่ ธาตุที่เป็นองค์ประกอบของหมุ่ฟังก์ชันของสารอินทรีย์และอนินทรีย์ และชนิดของบรรยายกาศที่ใช้ไฟโรไลส์ ส่วนตัวแปรทางกายภาพที่สำคัญ ได้แก่ ความดัน อุณหภูมิ ขนาดอนุภาคน้ำ จึงมีผลต่อการไฟโรไลส์ สำหรับสมบัติของถ่านหิน นอกจากศักดิ์ถ่านหินแล้ว องค์ประกอบของสารอินทรีย์ก็มีผลต่อการไฟโรไลส์ด้วย

เนื่องจากประเทศไทยมีงานวิจัยด้านถ่านหินและกระบวนการแปรรูปต่างๆ อยู่น้อยมาก และประเทศไทยมีแหล่งถ่านหินที่มีศักยภาพสูงที่น่าจะพัฒนาเป็นแหล่งพลังงานทดแทน ปิโตรเลียมต่อไปได้ ในงานวิจัยนี้ ศึกษาถ่านหินจากแหล่งลึกลึกลึกลึก แห่งบ้านบุญ จังหวัดลำพูน และแหล่งลำปาง จังหวัดลำปาง โดยแบ่งการทดลองเป็น 2 ขั้นตอน คือ ขั้นตอนแรกเป็นการไฟโรไลส์ ถ่านหินจะศึกษาผลของอุณหภูมิ ขนาดอนุภาคและเรือร้าตุ่นในถ่านหินที่ส่งผลต่อสมบัติถ่านหาร์ และขั้นตอนที่สองเป็นการนำถ่านหาร์ที่ได้มาทำปฏิกิริยาแก๊ซฟิเคนชันด้วยคาร์บอนไดออกไซด์ ที่อุณหภูมิต่างๆ เพื่อศึกษาถึงความว่องไวในการทำปฏิกิริยาของถ่านหาร์

1.2. วัสดุประสงค์ของการวิจัย

- 1.2.1. ศึกษาปัจจัยที่มีผลต่อการไฟโรไลส์ถ่านหิน เพื่อให้ได้ถ่านหาร์ที่ภาวะต่างๆ กัน
- 1.2.2. ศึกษาสมบัติทางกายภาพและทางเคมีของถ่านหาร์ต่อความว่องไวในปฏิกิริยาแก๊ซฟายถ่านหาร์ในบรรยายกาศของกําชكار์บอนไดออกไซด์
- 1.2.3. เปรียบเทียบอัตราการแก๊ซฟายถ่านหาร์ที่อุณหภูมิต่างๆ

1.3. ข้อมูลของภาระ

- 1.3.1. วิเคราะห์สมบัติของถ่านหินชนิดต่างๆ ที่จะนำมาไฟโรไลส์ และผลิตภัณฑ์ถ่านหาร์ที่ได้จากการวิเคราะห์แบบประมาณ (proximate analysis) วิเคราะห์แบบแยกธาตุ (ultimate analysis) การวิเคราะห์องค์ประกอบสารอนินทรีย์ และโลหะหนัก พื้นที่ผิว ปริมาตรรูปrun ปริมาณกำมะถัน และค่าความร้อน (heating value) เป็นต้น
- 1.3.2. ศึกษาปัจจัยที่มีผลต่อการไฟโรไลส์ถ่านหิน
- 1.3.3. ศึกษาปัจจัยที่ส่งผลต่อความว่องไวในการเกิดปฏิกิริยาของถ่านหาร์ที่ได้
- 1.3.4. ศึกษาและเปรียบเทียบสมบัติและความว่องไวในการเกิดปฏิกิริยาของถ่านหาร์ที่ภาวะต่างๆ

1.4. ประโยชน์ที่คาดว่าจะได้รับ

- 1.4.1. เป็นข้อมูลให้ทราบถึงภาวะที่เหมาะสมในการผลิตถ่านหาร์จากถ่านหินที่มีในประเทศไทย เพื่อให้สามารถนำไปใช้ประโยชน์ได้อย่างเหมาะสม
- 1.4.2. ได้ข้อมูลทางจนพลศาสตร์ เพื่อเป็นแนวทางในการขยายส่วนเครื่องมืออุปกรณ์ต่างๆ ในการพัฒนาถ่านหินมาใช้ประโยชน์ในภาคอุตสาหกรรมต่อไป

1.5. วิธีดำเนินการวิจัย

1.5.1. ค้นคว้าทฤษฎีและรวบรวมงานวิจัยที่เกี่ยวข้องกับการสังเคราะห์ถ่าน化水 จากการไฟฟ้าโครงสร้างพื้นฐานนิดต่างๆ และสมบัติต่างๆ เพื่อใช้เป็นข้อมูลและวางแผนการดำเนินงาน การศึกษา ทดลอง ตลอดจนศึกษาข้อมูลของถ่านหินที่นำมาใช้

1.5.2. เตรียมตัวอย่างถ่านหินจากแหล่งลี้ จังหวัดลำพูน และแหล่งลำปาง จังหวัดลำปาง ออกแบบและสร้างเครื่องปฏิกรณ์เพื่อใช้ในการทดลอง

1.5.3. สังเคราะห์ถ่านหินโดยไฟฟ้าโครงสร้างพื้นฐานในบรรยากาศของก๊าซเชื้ออย ศึกษา ผลของอุณหภูมิ ขนาดอนุภาคและแร่ธาตุที่มีอยู่ในถ่านหิน โดยควบคุมตัวแปรอื่นๆ ให้คงที่

1.5.4. นำถ่านหินที่ได้มารีดมาทำปฏิกิริยาแกซิฟายด้วยคาร์บอนไดออกไซด์ เพื่อศึกษาความกว้างไว ในการเกิดปฏิกิริยาของถ่านหิน

1.5.5. วิเคราะห์ข้อมูล และสรุปผลครั้งแรก

1.5.6. ค้นคว้าข้อมูลและทำการทดลองเพิ่มเติมหากผลการทดลองที่ได้ยังไม่สมบูรณ์ หรือสรุปผลไม่ได้อย่างชัดเจน

1.5.7. วิเคราะห์ข้อมูล สรุปผลที่ได้และเขียนวิทยานิพนธ์

บทที่ 2

ทฤษฎีและงานวิจัยที่เกี่ยวข้อง

2.1. การแปรรูปถ่านหิน [2]

ถ่านหินเป็นเชื้อเพลิงได้พิภพ (fossil fuels) ชนิดหนึ่ง เกิดจากการเน่าเปื่อยทับถมของซากพืช ซากสัตว์ซึ่งอาจสะสมกันอยู่ชั้ยผังหะเด บริเวณน้ำกร่อย น้ำจืด หรือแผ่นดินที่ชื้นและในขณะเดียวกัน เกิดการกร่อนของดินตกลงทับถมกับซากพืชทำให้เกิดการเน่าเปื่อยผุพังกลายสภาพเป็นถ่านพีต (peat) ก่อนแล้วจึงเปลี่ยนแปลงต่อไปภายใต้ภาวะความดันและอุณหภูมิ เมื่อจากการปิดทับด้วย โคลนและตะกอนตลอดจนการเคลื่อนทับของชั้นหิน ซึ่งทำให้เนื้อถ่านหินแน่นแข็งขึ้น สูญเสียน้ำ ออกรดิเจนและไออกไซเจนมากขึ้น มีปริมาณคาร์บอนองค์ประกอบสูงขึ้นตามลำดับ ดังนี้ ลิกไนต์ ชั้บบิทูมินัส บิทูมินัส ไปจนถึงแอนතราไซต์ ดังแสดงในตารางที่ 2.1

ตารางที่ 2.1 การเปลี่ยนแปลงขององค์ประกอบของถ่านหินต่างๆ [3]

Material	Mass Percent		
	Carbon	Hydrogen	Oxygen
Wood (cellulose)*	44	6	50
Peat*	59	6	35
Lignite	71	5	24
Subbituminous coal	74	5	21
Bituminous coal	84	5	11
Anthracite	94	3	3
Graphite*	100	-	-

* Not a coal.

การใช้ประโยชน์จากถ่านหินโดยตรงอาจทำได้โดยการใช้เป็นเชื้อเพลิงเผาไฟให้พลังงาน ความร้อน แต่เนื่องจากถ่านหินที่พบในประเทศไทยส่วนใหญ่เป็นถ่านหินคุณภาพต่ำ ให้ค่าความร้อน น้อย และยังมีแร่ธาตุเจือปนในปริมาณสูง ซึ่งเมื่อเกิดการเผาไฟมีผลก่อให้เกิดผลกระทบต่อ สิ่งแวดล้อม และไม่สะดวกเท่าการใช้เชื้อเพลิงเหลวและก๊าซ ดังนั้นจึงมีการพัฒนาวิธีการแปรรูป ถ่านหินให้เป็นเชื้อเพลิงที่สะอาดและสะดวกกับการใช้งาน (synthetic fuels) โดยกระบวนการแปรรูป เป็นเชื้อเพลิงรูปแบบต่างๆ ได้ดังนี้

2.1.1. กระบวนการการทำให้เป็นเชื้อเพลิงแข็ง (carbonization) เป็นกระบวนการที่ชี้ว่าได้ผลิตภัณฑ์คือถ่านコーค (coke) และผลผลิตพหลอยได้คือก๊าซถ่านหินและของเหลวจากวิธีคอร์ท

2.1.2. กระบวนการการทำให้เป็นเชื้อเพลิงเหลว (liquefaction) เป็นการผลิตเชื้อเพลิงเหลวเพื่อใช้ทดแทนน้ำมันปิโตรเลียม โดยการทำให้องค์ประกอบของถ่านหินละลายลงในตัวทำละลายแล้วเติมไฮโดรเจน (hydrogenation) ภายใต้อุณหภูมิและความดันสูง และต้องใช้ตัวเร่งปฏิกิริยา (catalyst) เข้าร่วมด้วย ซึ่งเป็นกระบวนการที่ต้องใช้เทคโนโลยีสูงและจัดได้ว่าก้าวหน้าที่สุด

2.1.3. กระบวนการการทำให้เป็นก๊าซเชื้อเพลิง (gasification) เป็นกระบวนการผลิตก๊าซเชื้อเพลิงจากถ่านหิน โดยทำปฏิกิริยาออกซิเดชันเพียงบางส่วน กับอากาศและออกซิเจนและหรือไอน้ำ ซึ่งกระบวนการแปรรูปถ่านหินทั้ง 3 กระบวนการ ถ่านหินต้องเกิดการสลายโครงสร้างในขั้นตอนการไฟโรไรล์ซึ่งเป็นขั้นตอนแรกที่สารประกอบอินทรีย์ในถ่านหินเกิดการสลายตัวไปบางส่วน และให้ผลิตภัณฑ์หลัก คือถ่านชาาร์ซึ่งเป็นผลผลิตขั้นกลางที่มีความสำคัญต่ออัตราเร็วและความกว้างไวางในปฏิกิริยาขั้นถัดไป

2.2. ไฟโรไรลิซของถ่านหิน [3]

ไฟโรไรลิซ คือ การสลายองค์ประกอบของสารอินทรีย์ด้วยความร้อนในภาวะที่ไม่มีหรือจำกัดอากาศ นอกจานนี้ยังมีคำที่มีความหมายเหมือนไฟโรไรลิซ คือ thermal decomposition, devolatilization และ destructive distillation สำหรับไฟโรไรลิซของถ่านหินที่ต้องการถ่านชาาร์เป็นผลิตภัณฑ์หลักเรียกว่า คาร์บอนไซซ์ (carbonization)

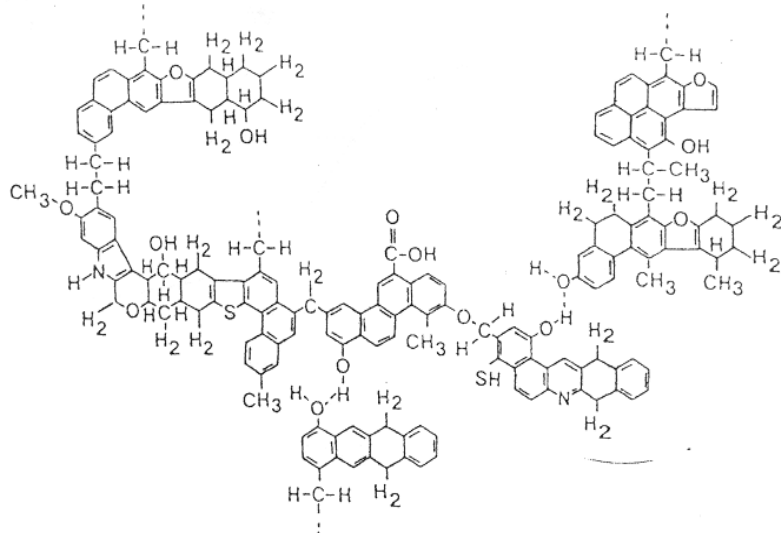
โครงสร้างทางเคมีหรือสูตรโมเลกุลในถ่านหินยังไม่เป็นที่แน่นอน แต่ Solomon P.R. และคณะ [4] เสนอสมมติฐานว่า ถ่านหินประกอบด้วยโมเลกุลของวงแหวนอะโรมาติก (aromatic) และไฮโดรอะโรมาติก (hydroaromatic) ที่เชื่อมกันด้วยโมเลกุลอะลิฟติก (aliphatic) ภายในโมเลกุลยังประกอบด้วยอะตอมของธาตุออกซิเจน ในตัวเรน กำมะถันและหมู่ฟังก์ชัน (function group) ต่างๆ รวมอยู่ด้วย

โครงสร้างโมเลกุลของถ่านหินแบ่งออกเป็น 2 ส่วน ตามสมบัติทางเคมี คือ ส่วนโครงสร้างอินทรีย์ (organic structure) และส่วนที่เป็นสารประกอบแร่ธาตุ

- โครงสร้างอินทรีย์ (organic structure)

ถ่านหินแอนทราไซต์มีคาร์บอน 90 - 97 ส่วน ไฮโดรเจน 3 - 5 ส่วน ออกซิเจน 1 - 3 ส่วน มีกำมะถันและไนโตรเจน ในส่วนโครงสร้างอินทรีย์ 1 - 2 ส่วน เมื่อคิดจากพื้นฐานของอัตราส่วน โดยน้ำหนักอะตอมของธาตุ (aromatic ratio) พบว่าไฮโดรเจนเป็นส่วนประกอบที่สำคัญในโครงสร้างถ่านหิน เมื่อศักดิ์ของถ่านหินสูงขึ้น อัตราส่วนโดยน้ำหนักของอะตอมไฮโดรเจนต่อคาร์บอนและออกซิเจนต่อคาร์บอนจะลดลง

โครงสร้างของสารประกอบอินทรีย์ต่างๆ จะเชื่อมโยงกันด้วยพันธะเคมีเป็น crosslinked polymer และมีบางส่วนที่ไม่เป็นโครงสร้างพอลิเมอร์ (polymer chain) ที่พับในถ่านหินบิทูมินัส การวัดความสามารถของการเป็นผลึก (crystallinity) ของถ่านหินโดยใช้ X-ray Scattering technique พบร่วมกับลำดับถ่านหินสูงขึ้น aromatic ring จะเชื่อมกันมากขึ้นและผลึกมีลักษณะคล้าย กราไฟต์ แสดงดังรูป 2.1



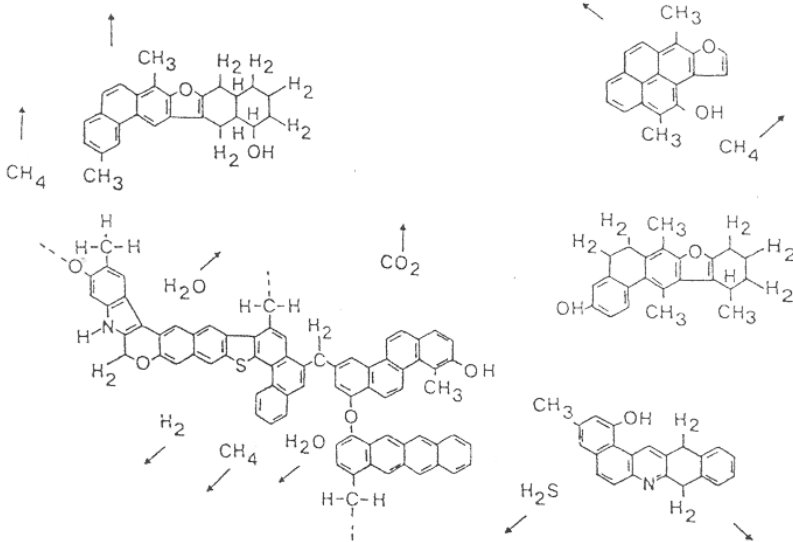
รูปที่ 2.1 ลักษณะทางโครงสร้างทางเคมีของไมเลกุลถ่านหิน [5]

- สารประกอบแปรรูป

ชิลิกอนเป็นธาตุที่พบมากที่สุด นอกจากรากไม้ อ้อย มีอุณหภูมิเนียม เหล็ก แคลเซียม แมกนีเซียม โซเดียม และโพเตสเซียม ธาตุเหล่านี้รวมตัวกันเป็นสารประกอบบริโภครวมตัวกับอะตอมของธาตุอื่นๆ ให้สารประกอบต่างๆ มากมาย ซึ่งสามารถจัดแบ่งเป็น 5 กลุ่ม ได้แก่

- กลุ่มอลูมิโนลิซิเกต (aluminosilicate) หรือดินเหนียว (clay) จัดเป็นกลุ่มแร่ธาตุที่มีมากที่สุดในถ่านหินได้แก่ เคโอลิไนต์ (kaolinite) อิลลิต (illite) เป็นต้น
- กลุ่มชัลไฟด์ (sulfide) ได้แก่ ไฟโรไรต์ (pyrite) มาาร์คาเร้ท (marcasite)
- กลุ่มคาร์บอนे�ต (carbonates) ได้แก่ โดโลไมต์ (dolomite) แคลไซต์ (calcite) และแองเคนอไรต์ (ankerite)
- กลุ่มซัลเฟต (sulfate) เป็นแร่ธาตุที่พบหลังจากการออกซิเดชัน (oxidize) ของไฟโรไรต์
- กลุ่มซิลิกา (silica) ได้แก่ ควอตซ์ (quartz) เป็นต้น

เมื่อโมเลกุลของถ่านหินได้รับความร้อนจะเกิดการสลายตัว วงแหวนไฮโดรอะโรมาติกและแทนอะลิฟาติกซึ่งแตกตัวออกง่ายที่สุด ทำให้กลุ่มโมเลกุลวงแหวนอะโรมาติกแตกออกเป็นโมเลกุลขนาดเล็กลง ดังแสดงในรูปที่ 2.2



รูปที่ 2.2 ตัวอย่างกลุ่มโมเลกุลจากการสลายตัวของถ่านหินเมื่อได้รับความร้อน [5]

กลุ่มโมเลกุลย่อยเหล่านี้ คือ น้ำมันtar ที่อุณหภูมิต่ำ ซึ่งโครงสร้างวงแหวนและโครงสร้างอะโรมาติกไม่มีการเปลี่ยนแปลงมากนักแต่มีการแตกหักของกลุ่มที่เก่าอยู่กับวงแหวนและโครงสร้างที่เป็นอะลิฟาติก ทำให้เกิดก๊าซคาร์บอนไดออกไซด์จากการสลายตัวของกลุ่มคาร์บօกซิล ($R_2C=O$) น้ำจากกลุ่มไฮดรอกซิล ($R-OH$) ก๊าซมีเทนจากกลุ่มอะลิฟาติก (CH_2-CH_2) ไฮโดรเจนชัลไฟฟ์จากกลุ่มชัลไฟฟ์ ($R-S-R$) และก๊าซคาร์บอนมอนอกไซด์จากการสลายตัวของกลุ่มอีเทอร์ ($R-O-R$) นอกจากนี้ที่อุณหภูมิสูงขึ้นโครงสร้างวงแหวนอะโรมาติกในน้ำมันtar จะแตกตัวและจัดเรียงตัวใหม่ ทำให้เกิดก๊าซไฮโดรเจน (H_2) ก๊าซคาร์บอนไดชัลไฟฟ์ (CS_2) จากวงแหวนไธโอลิน ก๊าซไฮโดรเจนไซยาไนด์ (HCN) จากวงแหวนที่มีไนโตรเจน และก๊าซคาร์บอนมอนอกไซด์จากการสลายตัวของกลุ่มอีเทอร์ที่เก่าตัวกันแน่น ในขณะเดียวกันถ่านหินจะเป็นกราไฟฟ์มากขึ้น

จากการสลายตัวของโครงสร้างโมเลกุลของถ่านหิน ทำให้ได้ผลิตภัณฑ์ในรูปของเชื้อเพลิงแบบต่างๆ ดังต่อไปนี้

1) ก๊าซถ่านหิน (coal gas) ประกอบด้วย ก๊าซไฮโดรเจน มีเทน และคาร์บอนมอนอกไซด์เป็นส่วนใหญ่ และมีก๊าซคาร์บอนไดออกไซด์ ในไฮโดรเจน อออกซิเจน และสารประกอบไฮโดรคาร์บอนซึ่งเป็นก๊าซที่เผาไหม้ได้ นอกจากนี้ยังมีก๊าซไฮโดรเจนชัลไฟฟ์ และแอมโมเนียมซึ่งต้องกำจัดออกก่อนนำไปใช้เป็นก๊าซเชื้อเพลิงในกระบวนการการต่างๆ

2) น้ำมันtar (tar) เป็นน้ำมันที่กลับตัวแยกออกจากก๊าซถ่านหิน เป็นของผสมที่ซับซ้อนของไฮโดรคาร์บอนหลายชนิด และสารอินทรีย์อื่นๆ รวมถึงน้ำมันเบา (light oil) ซึ่งเรียกว่า

น้ำมันเบนโซลิดิบ (crude benzole) ประกอบด้วย เบนซิน โกลูอิน และไชลีน ส่วนที่เป็นน้ำมันหนัก (heavy oil) จะผ่านการกลั่นลำดับส่วนแยกเป็นน้ำมันเชื้อเพลิงสำหรับเครื่องยนต์ น้ำมันเตาและสารเคมีชนิดต่างๆ เช่น น้ำมันครีโอลิซึท แอนฟทาลีน แอนทรารีน พินอล ไซคลอล โพริดิน เป็นต้น หรือใช้เป็นสารตั้งต้นในการผลิตสารเคมีในอุตสาหกรรมต่างๆ อีกมาก ส่วนที่เหลือจากการกลั่นเรียกว่า พิทช์ (pitch) คุณค่าของน้ำมันทารีขึ้นกับกระบวนการผลิต เช่น ถ้าผลิตที่อุณหภูมิสูงจะกลั่นได้ ผลิตภัณฑ์สำคัญ คือ แอนฟทาลีนและแอนทรารีน ซึ่งสามารถแยกกันเป็นส่วนต่างๆ ที่เหมาะสมที่จะนำไปปัจหน่ายได้ ส่วนการผลิตที่อุณหภูมิต่ำจะได้น้ำมันเบาและหนักเป็นของผสมอีมลชัน (emulsion) ไม่เหมาะสมที่จะนำไปกลั่นแยกให้บริสุทธิ์ ทั้งนี้ก็ขึ้นอยู่กับความต้องการของตลาด

3) ถ่านชาร์ (char) เป็นของแข็งที่เหลือจากไฟโรไลซิส มีสมบัติและลักษณะแตกต่างกันออกไปตามชนิดของถ่านหินและระดับอุณหภูมิในขณะไฟโรไลส์ เช่น ถ่านหินชนิดบิทูมินัสเป็นถ่านหินที่มีสมบัติในการเยิ่มและพองตัวเกาะกันเป็นเด็ก (caking properties) ที่อุณหภูมิ 700 องศาเซลเซียส ขึ้นไป จากสมบัตินี้และการที่ไอระเหยของน้ำมัน และก๊าซตันออกสูบถ่านตลอดเวลา ทำให้ถ่านหินกล้ายเป็นถ่านโค้กที่มีรูปrun มีปริมาณคาร์บอนสูง และมีความแข็งแรงสูง เรียกว่า ถ่านโค้กแข็ง การเกิดถ่านโค้กนี้จะสมบูรณ์ในช่วงอุณหภูมิ 900 - 1,200 องศาเซลเซียส ส่วนถ่านหินที่ไม่มีสมบัติในการเกาะตัวเป็นเด็กจะเกิดการระเหยและการสลายตัวของโครงสร้างโมเลกุลในช่วงอุณหภูมิสูงให้ก๊าซไฮโดรเจน ผลผลิตสุดท้ายไม่ใช่ถ่านโค้ก แต่เป็นเพียงถ่านชาร์ ผลผลิตจากไฟโรไลซิสขึ้นอยู่กับโครงสร้างและองค์ประกอบโมเลกุล และจะสมบูรณ์ในช่วงอุณหภูมิ 500 - 900 องศาเซลเซียส ของแข็งที่ได้คือ ถ่านโค้กอ่อน หรือถ่านชาร์ หรือถ่านอบ ซึ่งนำมาใช้ผลิตถ่านไร้ควัน (smokeless fuel) ได้แก่ ถ่านหินที่มีศักดิ์ต่ำตั้งแต่ชั้นบิทูมินส์จนถึงลิกโนต์ ถ่านไร้ควันนี้สามารถนำมาใช้เป็นเชื้อเพลิงในบ้านเรือนและอุตสาหกรรมขนาดเล็กและพาณิชย์ได้ดี เพราะไม่ก่อให้เกิดปัญหามลภาวะจากกลิ่นหรือควันจากสารระเหยในถ่านหินและไม่มีสารประกอบพิษในตัวเรื่องและกำมะถัน และอาจนำมาผลิตเป็นถ่านโค้กเทียม (formcoke) หรือถ่านสังเคราะห์โดยใช้เทคนิคการอัดก้อน (briquetting)

ดังนั้น สามารถแบ่งประเภทของไฟโรไลซิสได้เป็น 2 ประเภท ตามอุณหภูมิที่ใช้และผลิตภัณฑ์หลักที่ได้ คือ

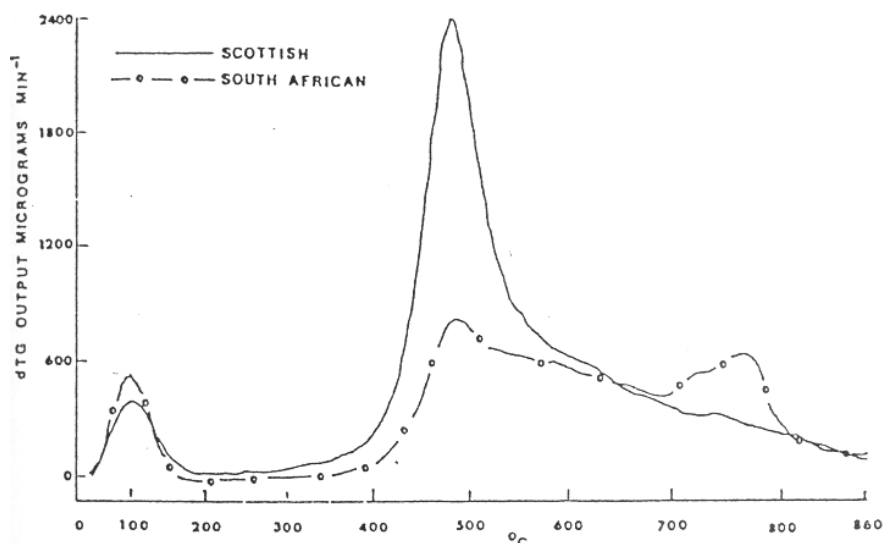
- ไฟโรไลซิสที่อุณหภูมิต่ำ (low temperature pyrolysis) ช่วงอุณหภูมิที่ไม่เกิน 800 องศาเซลเซียส ให้ผลิตภัณฑ์ถ่านชาร์ที่มีรูปrun สูง มีความว่องไวในการเกิดปฏิกิริยาสูง ค่อนข้างอ่อนและ pervasive สำหรับใช้เป็นเชื้อเพลิงทั่วไป แต่ได้ผลิตภัณฑ์น้ำมันทาร์ปริมาณมาก
- ไฟโรไลซิสที่อุณหภูมิสูง (high temperature pyrolysis) ช่วงอุณหภูมิมากกว่า 800 องศาเซลเซียส ให้ผลิตภัณฑ์ถ่านชาร์ที่มีลักษณะแข็งแต่ pervasive และไม่ว่องไวในการเกิดปฏิกิริยาใช้มากในกระบวนการผลิตเหล็ก ให้ผลิตภัณฑ์ก๊าซปริมาณสูงมากและน้ำมันทาร์ปริมาณต่ำ

2.2.1. อิทธิพลต่อไพรโอไลซิส [3]

สิ่งสำคัญที่จะต้องพิจารณาในการผลิตเชื้อเพลิงสังเคราะห์ (synthetic fuel) คือ อัตราการเกิดและปริมาณผลิตภัณฑ์ที่ได้ ชนิดของผลิตภัณฑ์ที่ได้จากวัตถุดิบชนิดต่างๆ และภาวะของการไพรโอไลส์ ตัวแปรทางเคมีที่สำคัญ คือ ธาตุที่เป็นองค์ประกอบของหมู่ฟังก์ชันของสารอินทรีย์และอนินทรีย์และองค์ประกอบของบรรยายกาศที่ใช้ไพรโอไลส์ ตัวแปรทางกายภาพที่สำคัญ ได้แก่ อุณหภูมิสุดท้าย เวลา อัตราการให้ความร้อน ขนาดของอนุภาคและความดัน ในการผลิตเชื้อเพลิงสังเคราะห์จะต้องทำการควบคุมตัวแปรเหล่านี้เพื่อให้ได้ผลิตภัณฑ์ที่มีสมบัติตามต้องการ

2.2.1.1. อิทธิพลของอุณหภูมิ [3,6-7]

อุณหภูมิมีผลต่อการกระบวนการไพรโอไลซิสทั้งในด้านปริมาณ และองค์ประกอบของสารระเหย การศึกษาถ่านหินบิทูมินัสจากสกอตแลนด์และอัฟริกาใต้ พบว่า เกิดการสลายองค์ประกอบที่อุณหภูมิต่างๆ ดังแสดงในรูปที่ 2.3



รูปที่ 2.3 ตัวอย่าง Volatile release profile ของถ่านหินบิทูมินัสจากสกอตแลนด์และอัฟริกาใต้ [6]

จากรูปพบว่า อุณหภูมิแรกที่มีอัตราการสูญเสียน้ำหนักสูง (พีคที่ 1) คือที่อุณหภูมิประมาณ 100 องศาเซลเซียส ก้าชที่ออกมาส่วนใหญ่เป็นน้ำและสารประกอบออกไซด์ของคาร์บอน สารระเหยได้จะเริ่มออกมากที่อุณหภูมิ 350 - 400 องศาเซลเซียส และมีอัตราเร็วที่สุด (พีคที่ 2) ที่อุณหภูมิประมาณ 480 องศาเซลเซียส และลดลงอย่างรวดเร็วที่อุณหภูมิมากกว่า 500 องศาเซลเซียส ซึ่งในช่วงอุณหภูมนี้เรียกว่า Active thermal decomposition

ดังนั้นจึงสามารถสรุปได้ว่า ไฟโรไลซิสมีขั้นตอนที่เป็นพื้นฐาน 3 ขั้นตอน คือ ขั้นตอนที่ 1 ที่อุณหภูมิระหว่าง 100 - 300 องศาเซลเซียส สารระเหยได้ที่อุบമาปริมาณไม่มาก และก๊าซที่ได้ส่วนใหญ่เป็นน้ำและคาร์บอนไดออกไซด์

ขั้นตอนที่ 2 ที่อุณหภูมิประมาณ 300 - 500 องศาเซลเซียส ประมาณ 2 ใน 3 ของสารระเหยได้ทั้งหมดถูกปล่อยออกมานอก

ขั้นตอนที่ 3 ที่อุณหภูมินากกว่า 500 องศาเซลเซียส เกิดก๊าซที่ไม่ควบแน่น (noncondensable gases) ซึ่งส่วนใหญ่ เป็นก๊าซไฮโดรเจนจะทำให้เกิดเชกันดาวีดีแกซิฟิเคชัน (secondary degasification) ซึ่งจะมีผลต่อเนื่องกับการเปลี่ยนรูปเป็นถ่านชาร์

2.2.1.2. อิทธิพลของอัตราการให้ความร้อน [3,6,8]

ในเรื่องของอัตราการให้ความร้อน พบร่วมกันว่า มีความแตกต่างระหว่างการให้ความร้อนอย่างช้าๆ (ประมาณ 20 องศาเซลเซียสต่อวินาที) และการให้ความร้อนอย่างรวดเร็ว ($10^3 - 10^5$ องศาเซลเซียสต่อวินาที) ถ้าให้ความร้อนจนถึง 1,000 องศาเซลเซียส เนื่องจาก การให้ความร้อนอย่างช้าๆ ปฏิกิริยาที่เกิดขึ้นจะอยู่ในสมดุลกันตลอดเวลาที่อุณหภูมิหนึ่งๆ ขณะที่การให้ความร้อนอย่างรวดเร็ว โอกาสที่จะเกิดปฏิกิริยาจะเพิ่มอุณหภูมิมีน้อยมาก ปฏิกิริยาจะเกิดเมื่อระบบถึงจุดสุดท้าย นั่นคือจะเกิดปฏิกิริยาที่อุณหภูมิสุดท้ายนั้นเองและปฏิกิริยาที่เกิดที่อุณหภูมิสุดท้ายนี้จะไม่เข้ากับปฏิกิริยาที่เกิดมาก่อนหน้านั้นคล้ายเป็นการไฟโรไลส์ที่อุณหภูมิคงที่ ในการไฟโรไลส์โดยให้ความร้อนอย่างรวดเร็วนั้นจะไม่มีโอกาสเกิดการสลายตัวทุกtypum (secondary decomposition) ของผลิตภัณฑ์ นั่นคือ น้ำมันทาร์ที่ออกมามีโอกาสเกิดการรวมตัวไปเป็นถ่านโดยหือสลายตัวต่อไป ดังนั้นจึงได้ผลิตภัณฑ์ก๊าซปริมาณมาก และได้น้ำมันทาร์ที่มวลไม่เลกุลมากกว่าน้ำมันทาร์ที่ได้จากการไฟโรไลส์ที่อัตราการให้ความร้อนต่ำ

2.2.1.3. อิทธิพลของขนาดอนุภาค [3,6]

ขนาดของถ่านหินมีผลต่อผลิตภัณฑ์ที่ได้กล่าวคือ ถ่านหินขนาดใหญ่มีผลทำให้การให้ความร้อนเข้าสู่ภายในอนุภาคเป็นไปได้ช้า ได้ผลิตภัณฑ์เป็นถ่านชาร์ที่มีปริมาณสารระเหยมาก เนื่องจากสารระเหยออกจากการถ่านหินได้น้อย

2.2.1.4. อิทธิพลของความดัน [3,6,8-9]

ความดันมีผลต่อปริมาณและสมบัติของผลิตภัณฑ์ที่ได้ ผลกระทบความดันส่งผลให้ปฏิกิริยาการสลายตัวลดลงและการเพิ่มความดันจะส่งผลให้ปฏิกิริยา การสลายตัวในถ่านหินเกิดได้ดีขึ้นและทำให้ได้ก๊าซและไฮโดรคาร์บอนเป้าปริมาณมากและปริมาณน้ำมันทาร์น้อยลง

2.2.1.5. เวลาในการไฟโรไอลส์ [10-11]

ถ้าเวลาที่ใช้ในการไฟโรไอลส์ถ่านหินยาวนาน จะเกิดการระเหย และสลายตัวของโครงสร้างถ่านหิน ทำให้น้ำหนักของเม็ดอนุภาคถ่านชาร์ที่ได้จากการไฟโรไอลส์มีน้ำหนักเบากว่าถ่านหินก่อน การไฟโรไอลส์

2.2.1.6. ประเภทของถ่านหิน [11]

ถ่านหินที่มีศักดิ์ต่าจะให้น้ำมันทาร์ที่มีสารประกอบอะโรมาติก และกลุ่มของสารประกอบพากไฮโดรคาร์บอนไม่อิมตัวน้อย และพบว่า ถ่านบิทูมินัสและชับบิทูมินัสเหมาะสมที่จะนำมาไฟโรไอลส์เพื่อให้ได้ถ่านชาร์และน้ำมันทาร์ปริมาณมากกว่าถ่านหินชนิดอื่น

กระบวนการสำคัญอีกกระบวนการหนึ่ง ซึ่งมีหลักการคล้ายกับไฟโรไอลชิส คือ ไฮโดรไฟโรไอลชิส ซึ่งคือ การสลายตัวทางความร้อนภายใต้บรรยากาศของก๊าซไฮโดรเจน เป็นขั้นตอนที่อยู่ระหว่าง liquefaction และ integral gasification ก๊าซไฮโดรเจนทำหน้าที่ยับยั้งการแตกตัวทางความร้อนของน้ำมันทาร์ที่เกิดขึ้นในช่วงแรก ทำให้ผลิตภัณฑ์ที่ได้ส่วนใหญ่ประกอบด้วย น้ำมันทาร์ ของเหลวรวมทั้งสารประกอบอะโรมาติก โดยเฉพาะเบนซิน โอลูอินและไฮเดรน และบางส่วนเกิดปฏิกิริยา hydrogasification ของถ่านชาร์ได้ผลิตภัณฑ์เป็นก๊าซไฮโดรคาร์บอน โดยเฉพาะมีเทนและอีเทนปฏิกิริยาเหล่านี้ขึ้นอยู่กับเวลา อุณหภูมิ และความดันที่ใช้ ไฮโดรไฟโรไอลชิสถูกใช้ในการผลิตเชื้อเพลิงพิเศษ (premium fuel) คือ มีเทน

2.3. แก๊สฟิเดชัน [3]

กระบวนการแก๊สฟิเดชันเป็นกระบวนการแปรรูปถ่านหินให้เป็นก๊าซเชื้อเพลิงโดยเกิดปฏิกิริยาออกซิเดชันบางส่วนกับอากาศ ออกซิเจน ไอน้ำ คาร์บอนไดออกไซด์ ไฮโดรเจนหรือก๊าซผสมผลิตภัณฑ์ก๊าซของกระบวนการแก๊สฟายส่วนใหญ่ประกอบด้วยไฮโดรเจน คาร์บอนมอนอกไซด์ คาร์บอนไดออกไซด์ มีเทนและไฮโดรคาร์บอนอื่นๆ นอกจานี้ ยังมีสารปนเปื้อนอีกเล็กน้อย ได้แก่น้ำมันทาร์ ไฮโดรเจนชัลไฟลด์ แอมโมเนีย เป็นต้น ขณะเกิดการแก๊สฟาย สารอนินทรีย์ในถ่านหินเกิดการสลายตัวและถูกออกซิเดส์เป็นถ้าด้วย การศึกษาการแก๊สฟายมีหลายด้าน เช่น กลไกของปฏิกิริยา เทอร์โมไดนามิกส์และจนพลศาสตร์ เป็นต้น

ขั้นตอนสำคัญขั้นตอนแรกของการแก๊สฟาย ได้แก่ การไฟโรไอลส์ถ่านหินเป็นถ่านชาร์จากนั้นจึงตามด้วยการแก๊สฟายถ่านชาร์ที่ได้เป็นก๊าซเชื้อเพลิง นอกจานั้นเกิดการแก๊สฟายน้ำมันทาร์ด้วยโดยทั่วไปคุณภาพของการแก๊สฟายถ่านหิน คือ ตั้งแต่ 700 องศาเซลเซียสขึ้นไป ภายใต้ความดันตั้งแต่ความดันบรรยายกาศจนถึงมากกว่า 6,900 กิโล帕斯คัล ปฏิกิริยาการแก๊สฟายเกิดขึ้นพร้อมกัน และต่อเนื่องกันหลายปฏิกิริยา ดังแสดงในตารางที่ 2.2

ตารางที่ 2.2 ปฏิกิริยาที่เกิดในการแกซิฟายถ่านหิน [3]

Coal		$\xrightarrow{\text{Pyrolysis}}$	Chars (C) + Gas + Tar	(1)
			(CO, CO ₂ , H ₂ , H ₂ O, CH ₄ , C _n H _m)	
2C	+ O ₂	$\xleftarrow{\text{Oxygasification}}$	2CO	$\Delta H = -$ (2)
C	+ H ₂ O	$\xleftarrow{\text{Steam gasification}}$	CO + H ₂	$\Delta H = +$ (3)
C	+ CO ₂	$\xleftarrow{\text{Carboxygasification}}$	2CO	$\Delta H = +$ (4)
C	+ 2H ₂	$\xleftarrow{\text{Hydrogasification}}$	CH ₄	$\Delta H = -$ (5)
CO	+ H ₂ O	$\xleftarrow{\text{Shift Conversion}}$	CO ₂ + H ₂	$\Delta H = -$ (6)
Tar	+ H ₂	$\xleftarrow{\text{Hydrocracking}}$	CH ₄	$\Delta H = -$ (7)
Tar	+ H ₂ O	$\xleftarrow{\text{Gasification}}$	CO + H ₂	$\Delta H = +$ (8)
C	+ O ₂	$\xrightarrow{\text{Combustion}}$	CO ₂	$\Delta H = -$ (9)
Coal Minerals	+ O ₂	$\xrightarrow{\text{Decomposition & Oxidation}}$	Ash	(10)

ตารางที่ 2.2 แสดงชื่อของปฏิกิริยาหลักๆ ที่เกิดภายในกระบวนการแกซิฟายของถ่านหิน ก๊าซ carbонมอนออกไซด์ น้ำมันทาร์กับก๊าซต่างๆ ที่เข้าทำปฏิกิริยา เช่น

ออกซีแกซิฟิเคชัน (Oxygasification) เป็นปฏิกิริยาที่คาร์บอนทำปฏิกิริยากับออกซิเจนหรืออากาศ เป็นปฏิกิริยาโดยความร้อน โดยก๊าซที่เกิดขึ้นได้แก่ คาร์บอนมอนออกไซด์

สตีมแกซิฟิเคชัน (Steam gasification) เป็นปฏิกิริยาที่คาร์บอนทำปฏิกิริยากับไอน้ำ เป็นปฏิกิริยาดูดความร้อน ก๊าซที่ได้ส่วนใหญ่ได้แก่ คาร์บอนมอนออกไซด์ และไฮโดรเจน ก๊าซเหล่านี้มีค่าความร้อนสูงพอที่จะนำมาทำก๊าซเชื้อเพลิง

คาร์บออกซีแกซิฟิเคชัน (Carboxygasification) หรือปฏิกิริยานูดูราวด (Boudouard reaction) เป็นปฏิกิริยาที่คาร์บอนทำปฏิกิริยากับคาร์บอนไดออกไซด์ เป็นปฏิกิริยาดูดความร้อน

ไฮโดรแกซิฟิเคชัน (Hydrogasification) หรือ เมทานเนชัน (Methanation) เป็นปฏิกิริยาที่คาร์บอนทำปฏิกิริยากับก๊าซไฮโดรเจนโดยตรง ได้ก๊าซมีเทน เป็นปฏิกิริยาโดยความร้อน และเกิดขั้นตอนที่อุณหภูมิสูงขึ้น ผลิตภัณฑ์ก๊าซมีเทนเป็นก๊าซที่มีค่าความร้อนสูงจึงเป็นก๊าซที่ต้องการให้เกิดในการแกซิฟายมาก แต่ว่าปฏิกิริยานี้เกิดน้อยมาก

ปฏิกิริยาชิฟท์ (Water-gas shift reaction) เป็นปฏิกิริยาขั้นตอนกลับได้ของคาร์บอนมอนออกไซด์ กับไอน้ำซึ่งแข่งขันกับปฏิกิริยาที่ 3 ได้คาร์บอนไดออกไซด์และไฮโดรเจนเป็นผลิตภัณฑ์

2.3.1. การแก๊สifyถ่านชาร์ [3,5]

ถ่านชาร์ที่เกิดขึ้นภายในหลังกระบวนการไฟฟ้าไลซิสมีความว่องไวต่ากว่าถ่านหินมาก ขั้นตอนการแก๊สifyจึงต้องอาศัยเวลาทำปฏิกิริยามากกว่าขั้นตอนไฟฟ้าไลซิสมและปฏิกิริยาเกิดที่อุณหภูมิสูงกว่าคือที่ 600 องศาเซลเซียสขึ้นไป เกิดปฏิกิริยาแก๊สไฟเชื้อนและไฮโดรแก๊สไฟเชื้อนถ่านชาร์ได้ผลิตกันที่เป็นมีเทน คาร์บอนมอนอกไซด์และไฮโดรเจน โดยได้รับความร้อนจากการเผาไหม้ของถ่านชาร์เป็นคาร์บอนไดออกไซด์ นอกจากนี้ ในบรรยายกาศของกําชชันนําแก๊สifyยังเกิดปฏิกิริยาชีฟท์ (Shift reaction) และการแก๊สifyน้ำมันทาร์ด้วย

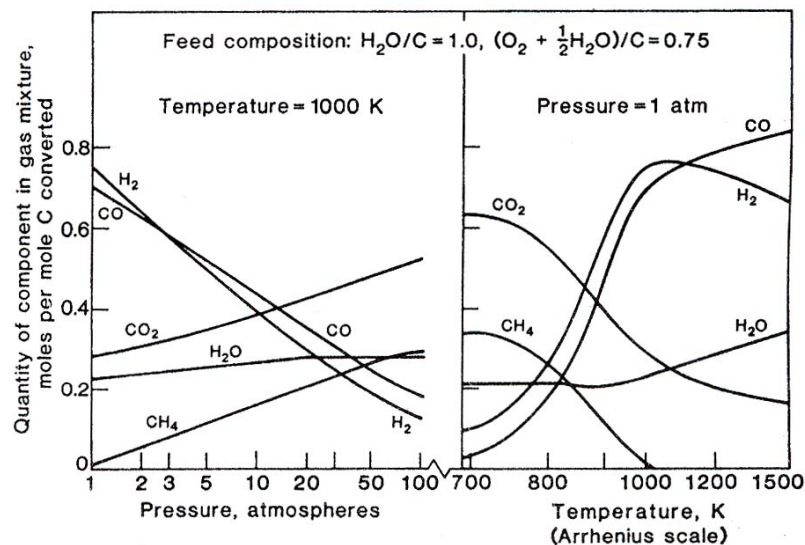
สำหรับสารอนินทรีย์ในถ่านหินเกิดการสลายตัวและเกิดปฏิกิริยาออกซิเดชันเกิดเป็นถ้าชัลเพอร์ ในตรรжен และออกซิเจนในถ่านหินถูกเปลี่ยนเป็น ไฮโดรเจนชัลไฟฟ์ แอมโมเนีย และสารประกอบอินทรีย์ที่ประกอบด้วยชัลเพอร์ ในตรรженและไอโอดีน

ปฏิกิริยาที่เกิดขึ้นทั้งหมดเกิดขึ้นอย่าง слับซับช้อน บางปฏิกิริยาเป็นปฏิกิริยาที่พื้นผิว โดยกําชชันนิดเข้าทำปฏิกิริยากับอนุภาคน้ำมันบนผิวของถ่าน หรือกําชชันนิดอาจถูกดูดซับ (adsorption) อยู่บนผิวของผงถ่านและทำปฏิกิริยากับกําชชันนิดอื่นที่อยู่ในสภาพกําชชหรือกําชทั้งสองชนิดถูกดูดซับอยู่บนผิวถ่านและทำปฏิกิริยากัน เมื่อได้ผลผลิตก็คายตัวออกจากผิวผงถ่านหรือบางปฏิกิริยาเกิดในสภาพกําชโดยตรง (gas phase reaction)

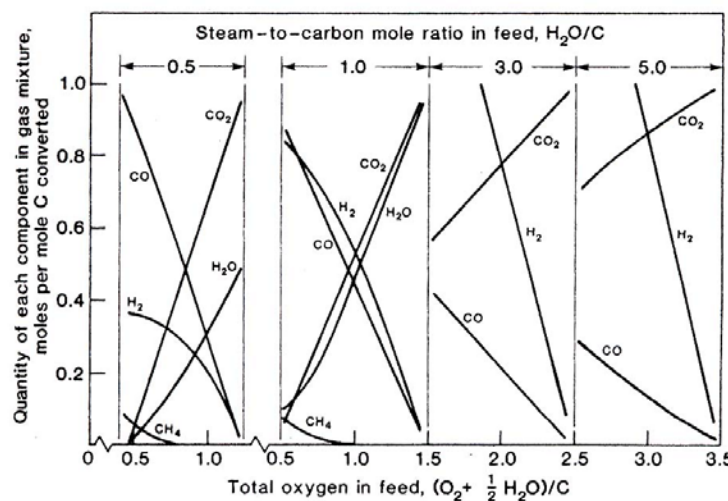
2.3.2. เทอร์โมไดนามิกส์ของการแก๊สify [12]

การศึกษาทางด้านเทอร์โมไดนามิกส์ของการแก๊สify มีประโยชน์คือ ใช้คำนวณประสิทธิภาพและภาวะดำเนินการของเครื่องปฏิกรณ์เพื่อให้ได้ประสิทธิภาพสูงสุด ซึ่งปฏิกิริยาการแก๊สifyที่มีกําชตัวกลางในการทำปฏิกิริยา (gasifying medium) แต่ต่างกันจะมีผลกระทบทางเทอร์โมไดนามิกส์ต่างกัน เช่น ปฏิกิริยาการเผาไหม้ถ่านชาร์เป็นปฏิกิริยาทางเดียวที่เกิดขึ้นโดยไม่มีข้อจำกัดด้านเทอร์โมไดนามิกส์และเป็นปฏิกิริยาที่ให้ความร้อนแก่การแก๊สify ส่วนปฏิกิริยาแก๊สifyถ่านชาร์ทั้งโดยไอน้ำและคาร์บอนไดออกไซด์เป็นปฏิกิริยาสองทางที่อุณหภูมิสูงกว่า 1,000 เคลวิน และมีค่าความร้อนของปฏิกิริยาประมาณ 125 - 170 กิโลจูลต่้อมล แต่ปฏิกิริยาไฮโดรแก๊สไฟเชื้อนเกิดได้ที่อุณหภูมิต่ำกว่า 1,000 เคลวิน เป็นปฏิกิริยาคายความร้อน ความร้อนของปฏิกิริยาประมาณ 30 - 90 กิโลจูลต่้อมล ดังนั้นปฏิกิริยาแก๊สifyโดยรวมเกิดขึ้นได้ก็ต่อเมื่อมีแหล่งความร้อนภายนอกหรือมีตัวเร่งปฏิกิริยา ในทางปฏิบัติแล้วความร้อนที่ให้ระบบได้จากการเผาไหม้ของถ่านชาร์กับออกซิเจนซึ่งเป็นปฏิกิริยาคายความร้อนประมาณ 390 กิโลจูลต่้อมล นับเป็นการสูญเสียถ่านชาร์ส่วนหนึ่งไปกับการเผาไหม้

รูปที่ 2.4 แสดงอิทธิพลของอุณหภูมิและความดันที่มีต่อองค์ประกอบที่สมดุลของก๊าซที่ความดัน 1 บรรยากาศ ในระบบการแก๊สifyของคาร์บอน - ออกซิเจน - ไอน้ำ ปริมาณคาร์บอนมอนอกไซด์และไฮโดรเจนเพิ่มขึ้นตามอุณหภูมิ แต่เมื่อเทน คาร์บอนไดออกไซด์และไฮเดรนลดลง เมื่อความดันเพิ่มขึ้นทำให้เกิดแนวโน้มในทิศทางตรงกันข้ามคือเมื่อเทน คาร์บอนไดออกไซด์ และไอน้ำ มีปริมาณเพิ่มขึ้น แต่คาร์บอนมอนอกไซด์และไฮโดรเจนกลับลดลง ดังนั้นในการผลิตเพื่อให้ไดเมเทนในปริมาณสูงควรควบคุมให้ทำงานในอุณหภูมิต่ำ แต่ความดันสูง นอกจานี้ปริมาณออกซิเจน หรือสัดส่วนระหว่างออกซิเจน/ไฮโดรเจน(ไอน้ำ) ที่ใส่ในระบบยังมีผลอย่างมากต่อองค์ประกอบที่สมดุลของก๊าชด้วย ดังแสดงในรูปที่ 2.5 เมื่อปริมาณออกซิเจนน้อยหรืออัตราส่วนระหว่างก๊าชออกซิเจนต่อไอน้ำ ต่ำทำให้ระบบโดยรวมเป็นแบบดูดความร้อน ต้องการความร้อนจากภายนอก และเมื่ออัตราส่วนนี้สูง ทำให้ระบบโดยรวมเป็นแบบดယความร้อน จำเป็นต้องระบายความร้อนออกจากระบบ



รูปที่ 2.4 อิทธิพลของอุณหภูมิต่อองค์ประกอบก๊าชที่ภาวะสมดุล [3]



รูปที่ 2.5 อิทธิพลของอัตราส่วนระหว่างออกซิเจนกับไอน้ำที่มีต่อองค์ประกอบก๊าชที่ภาวะสมดุล [3]

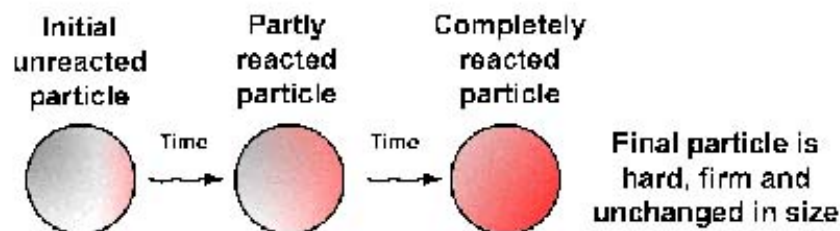
2.3.3. จลนผลศาสตร์ของการแกซิฟายถ่านหิน [12,13-15]

การแกซิฟายเป็นการเปลี่ยนถ่านหินให้เป็นก๊าซเชื้อเพลิง ซึ่งประกอบด้วยปฏิกิริยาเคมีอยู่ฯ มากมาย ปฏิกิริยารวมของการแกซิฟายขึ้นอยู่กับแต่ละปฏิกิริยาอย่าง อัตราเร็วของการเกิดปฏิกิริยารวม ขึ้นอยู่กับชนิดของถ่านหิน อุณหภูมิ ความดัน ก๊าซตัวกลาง สำหรับปฏิกิริยาและภาวะภายใน เครื่องปฏิกรณ์ อัตราเร็วของการปฏิกิริยารวมของการแกซิฟายถ่านหิน คืออัตราเร็วของการไฟโรไลส์รวมกับ อัตราเร็วของการแกซิฟายถ่านชาร์ และการแกซิฟายน้ำมันทาร์ ความเข้าใจในแต่ละขั้น จะช่วยให้ เข้าใจการแกซิฟายถ่านหินทั้งระบบ

ในการศึกษาทางด้านจลนผลศาสตร์ของการแกซิฟายถ่านหินซึ่งเป็นปฏิกิริยาระหว่างก๊าซกับ ของแข็งนั้นสามารถทำได้โดยทดสอบข้อมูลที่ได้จากการทดลองในแบบจำลองทางจลนผลศาสตร์ หลายๆ แบบจำลอง สำหรับแบบจำลองทางจลนผลศาสตร์ที่ใช้อธิบายกลไกการแกซิฟายถ่านหินนั้นมี มาก แต่แบบจำลองที่เป็นพื้นฐานและนิยมใช้ในการอธิบาย คือ แบบจำลองไฮโมเจนิส (Homogeneous model) และแบบจำลองแกนกลางหดตัว (Shrinking-core model) ซึ่งมีสมมติฐาน ว่า เป็นปฏิกิริยาอันดับที่หนึ่ง และมีขั้นการเกิดปฏิกิริยาเคมีเป็นขั้นควบคุมปฏิกิริยา

แบบจำลองไฮโมเจนิส (Homogeneous model)

แบบจำลองนี้พิจารณาว่า ก๊าซที่เข้าทำปฏิกิริยากับของแข็งคาร์บอนนั้น มีอัตราการแพร่เข้าไป ภายในรูปวนต่างๆ ทว่าทั้งก้อนอนุภาคได้อย่างสม่ำเสมอ ความเข้มข้นของก๊าซภายในก้อนอนุภาคของ แข็งทุกๆ จุดมีค่าใกล้เคียงกันตลอดเวลาที่เกิดปฏิกิริยา ดังนั้นทั้งก้อนอนุภาคจะเกิดปฏิกิริยาพร้อมๆ กันด้วยอัตราเร็วที่มากหรือน้อยอย่างสม่ำเสมอ ดังแสดงในรูปที่ 2.6



รูปที่ 2.6 การเกิดปฏิกิริยาของอนุภาคของแข็งตามแบบจำลองไฮโมเจนิส [15]

ในขณะที่ปฏิกิริยาดำเนินไป ขนาดอนุภาคยังคงเท่าเดิมแต่ความหนาแน่นลดลง อัตราการ แกซิฟายทั้งหมดไม่ขึ้นกับขนาดอนุภาค ดูมวลรวมของแข็งสำหรับปฏิกิริยาอันดับที่ 1 ภายใต้ภาวะนี้สามารถดูรูปได้เป็น

$$\frac{dX}{dt} = k(1 - X) \quad (2.1)$$

หรือ

$$t = -\ln(1 - X)k^{-1} \quad (2.2)$$

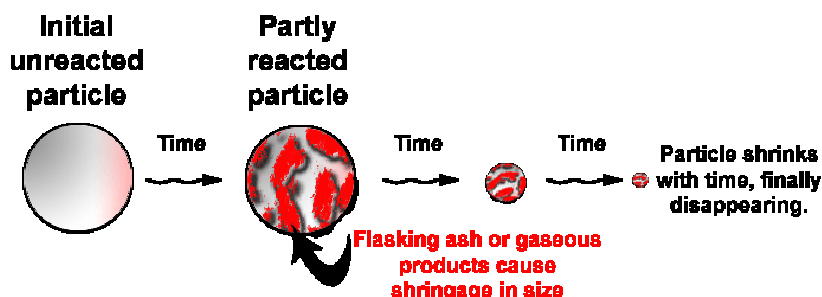
เมื่อ

$$\begin{aligned} X &= \text{สัดส่วนการเปลี่ยนแปลงไปของของแข็งตั้งต้น} \\ k &= \text{ค่าคงที่ปฏิกิริยาอันดับที่ 1} \end{aligned}$$

สามารถหาค่าคงที่ปฏิกิริยา (reaction rate coefficient, k) ได้จากความชันของความสัมพันธ์ เชิงเส้นระหว่าง $-\ln(1 - X)$ กับเวลาดังแสดงในสมการที่ 2.2

แบบจำลองแกนกลางหดตัว (Shrinking-core model)

แบบจำลองนี้มีสมมติฐานว่าปฏิกิริยาเคมีอัดไว้เร็วสูง ก้าวที่จะเข้าทำปฏิกิริยาเมื่อแพรวเข้ามา จะเกิดปฏิกิริยาทันที ดังนั้นปฏิกิริยาจะเกิดขึ้นได้เฉพาะที่ผิวด้านนอกของก้อนอนุภาคเท่านั้นโดยใช้ชนของปฏิกิริยาจะเคลื่อนที่เข้าหาจุดศูนย์กลางของก้อนอนุภาค เมื่อปฏิกิริยาดำเนินไป ขนาดอนุภาคจะลดลงเรื่อยๆ จนปฏิกิริยาสมบูรณ์ เหลือไว้แต่เพียงอนุภาคของแข็งที่เรียกว่า “ถ้า” ดังแสดงในรูปที่ 2.7 และอัตราการเกิดปฏิกิริยาสามารถแสดงดังสมการที่ 2.3



รูปที่ 2.7 การเกิดปฏิกิริยาของอนุภาคของแข็งตามแบบจำลองแกนกลางหดตัว [15]

$$\frac{dX}{dt} = k(1 - X)^{\frac{2}{3}} \quad (2.3)$$

สามารถอินทิเกรตสมการที่ 2.3 ได้ความสัมพันธ์เชิงเส้นระหว่าง $(1 - (1 - X)^{\frac{2}{3}})$ กับเวลา ซึ่งสามารถหาค่าคงที่ปฏิกิริยา (apparent reaction rate coefficient, k) ได้จากความชันของความสัมพันธ์ดังกล่าว ดังแสดงในสมการที่ 2.4 โดยค่าคงที่ปฏิกิริยาของถ่านชาร์จะถูกกำหนด

โดยอัตราการเกิดปฏิกิริยาที่พื้นผิวและอัตราการแพร่ของก๊าซที่เข้าทำปฏิกิริยาผ่านชั้นของฟิล์มก๊าซ และผ่านเข้าไปภายในอนุภาค

$$1 - (1 - X)^{\frac{1}{3}} = \frac{1}{3}kt \quad (2.4)$$

ค่าคงที่ปฏิกิริยาสามารถอธิบายได้จากสมการของอาร์เรนียส (Arrhenius's Law)

$$k(T) = A \exp(-E_a/RT) \quad (2.5)$$

หรือ

$$\ln k = \ln A - (E_a / RT) \quad (2.6)$$

เมื่อ

X	=	เศษส่วนการเปลี่ยนของcarbон
A	=	ค่าคงที่ (pre-exponential factor)
E_a	=	ค่าพลังงานgradeต้นของปฏิกิริยา (apparent activation energy), กิโลจูลต่อมोล
R	=	ค่าคงที่ก๊าซ เท่ากับ 8.314 จูลต่อมोลต่ำ Celsius
T	=	อุณหภูมิสัมบูรณ์ของปฏิกิริยา, Celsius

ปัจจัยที่มีผลต่อจลนพลศาสตร์ เช่น ตัวเร่งปฏิกิริยาช่วยทำให้อัตราการแกซิฟายเพิ่มขึ้น ปฏิกิริยาถูกหน่วงโดยผลิตภัณฑ์ก๊าซบางชนิดที่เกิดขึ้นจากการแกซิฟาย สารอนินทรี (ในถ่านหิน หรือตันหินหรือที่ดินเผา) ช่วยเพิ่มอัตราเร็วในการแกซิฟาย แต่ในขณะเดียวกันยังหน่วงการทำงานของตัวเร่งปฏิกิริยาอีกด้วย ปัจจัยเหล่านี้ทำให้จลนพลศาสตร์ของการแกซิฟายเปลี่ยนแปลงไป สำหรับความว่องไวในการแกซิฟายนั้น นิยมชี้ปัจจัย Reactivity index (R_s) ซึ่งเป็นที่นิยมใช้ในการเปรียบเทียบความว่องไวในการแกซิฟายถ่านหินที่แตกต่างกัน [16] ดังแสดงในสมการที่ 2.7

$$R_s = 0.5 / \tau_{0.5} \quad (2.7)$$

เมื่อ $\tau_{0.5}$ คือ เวลาที่ใช้ไปเมื่อคาร์บอนคงตัวเปลี่ยนแปลงร้อยละ 50 (หน่วยเป็นชั่วโมง)

2.3.4. ปัจจัยที่มีผลต่อความว่องไวในการแกซิฟาย [12,16-17]

จากการวิจัยที่ทำการศึกษาเกี่ยวกับจลนพลศาสตร์ของปฏิกิริยาแกซิฟายพบว่าปัจจัยที่มีผลต่อความว่องไวในการแกซิฟายถ่านหินประกอบด้วยปัจจัยหลักดังนี้

1. ศักดิ์และสารอนินทรีย์ของถ่านหินตั้งตัน

ถ่านหินศักดิ์ต่ำมีความว่องไวในการแกะซีฟายสูงกว่าถ่านหินศักดิ์สูงทั้งนี้เนื่องมาจากการถ่านหินศักดิ์ต่ำมีลักษณะเด่นที่ควบคุมอัตราการแกะซีฟาย คือ มีหมู่พังก์ชันที่มีออกซิเจนเป็นองค์ประกอบซึ่งจะทำหน้าที่เป็นตำแหน่งที่ว่องไว (active site) และตำแหน่งแลกเปลี่ยนประจุ (exchanging site) เป็นจำนวนมากประกอบกับการมีรูพูนขนาดใหญ่และมีการกระจายตัวของสารอนินทรีย์ เช่น โซเดียมแคลเซียม โพแทสเซียม และเหล็ก ซึ่งเป็นตัวเร่งปฏิกิริยาอยู่ทั่วไป นอกจากนี้ความว่องไวไม่สามารถพิจารณาได้จากปริมาณเด่าที่เป็นองค์ประกอบเพียงอย่างเดียว เนื่องจากความสามารถในการเร่งปฏิกิริยาแกะซีฟิเคชันนอกจากขึ้นกับความเข้มข้นแล้ว ยังขึ้นกับการกระจายตัวและรูปทางเคมีของสารอนินทรีย์ที่อยู่ในโครงสร้างถ่านหิน พบว่าแคลเซียมส่งผลต่อความว่องไวสูงสุดและแมgnีเซียมส่งผลต่อความว่องไวต่ำสุด [17] อย่างไรก็ตามสารอนินทรีย์มิได้มีผลในการเร่งปฏิกิริยาเพียงอย่างเดียว ซึ่งมีการศึกษาพบว่าซิลิกาจะมีผลในการหน่วงปฏิกิริยา [18]

การศึกษาถึงผลของสารอนินทรีย์ต่อความว่องไวของถ่านชาร์มักจะเปรียบเทียบความว่องไวของถ่านชาร์ที่ผ่านการล้างและไม่ล้างสารอนินทรีย์ ซึ่งโดยทั่วไปมักใช้กรดไฮโดรคลอริกช่วยล้างสารอนินทรีย์ออกและอาจใช้กรดไฮโดรฟลูออกริกเข้มข้นล้างซิลิกาที่ไม่สามารถล้างออกโดยไฮโดรคลอริกได้ นอกจากนี้โลหะที่ทำหน้าที่เร่งปฏิกิริยาเหล่านี้อาจเสื่อมสภาพไปเนื่องจากการหลอมตัวระหว่างการไฟโรไลส์ที่อุณหภูมิสูงมาก [13]

2. โครงสร้างของถ่านชาร์ [17,19-20]

ถ่านชาร์ที่ได้จากถ่านหินเหล่งเดียวกันมีความว่องไวในการแกะซีฟายต่างกัน มีความว่องไวในการแกะซีฟายต่างกัน เนื่องจากมีการเปลี่ยนแปลงโครงสร้างของถ่านหินและสารอนินทรีย์ระหว่างการไฟโรไลส์ โดยการใช้อุณหภูมิไฟโรไลส์สูงและนาน จะเป็นการลดตำแหน่งที่ว่องไวของคาร์บอนซึ่งส่งผลต่อถ่านหินศักดิ์ต่ำชัดเจนกว่าถ่านหินศักดิ์สูง อย่างไรก็ตามอิทธิพลของอุณหภูมิในการไฟโรไลส์ถ่านชาร์ต่อความว่องไวในการแกะซีฟายของถ่านชาร์ยังไม่ชัดเจนมากนัก ซึ่งจำเป็นต้องพิจารณาปัจจัยอื่นร่วมด้วย

3. ผลของผลิตภัณฑ์ก้าช [12]

ในบางกรณีผลิตภัณฑ์ที่เกิดจากการแกะซีฟายจะหน่วงปฏิกิริยาด้วย เช่น สตีมแกะซีฟิเคชันที่มีโลหะแคลเคลาไทด์หรือโลหะทรายลิซั่นเป็นตัวเร่งปฏิกิริยาจะถูกหน่วงโดยไฮโดรเจนที่เกิดขึ้น หรือคาร์บอนซีแกะซีฟิเคชันจะถูกหน่วงโดยคาร์บอนมอนอกไซด์ที่เกิดขึ้น เป็นต้น

2.4. เอกสารและงานวิจัยที่เกี่ยวข้อง

Liu, H. et al., 2004. [10] ศึกษาถึงผลของการเผาไหม้ในกระบวนการไฟฟ้าในอุตสาหกรรมและผลกระทบต่อความร้อนสูงด้วยเครื่องปฏิกรณ์แบบฟลูอิเดอร์เบด พบว่าอุณหภูมิและเวลาในการไฟฟ้าสูงจะส่งผลให้ถ่านชาร์ที่ได้มีความว่องไวลดลง และแสดงผลขัดเจนในช่วงแรกของการแก๊สify เมื่อจากโครงสร้างที่เปลี่ยนแปลงระหว่างการไฟฟ้าโดยความว่องไวที่ลดลงนี้จะมีค่าไกล์เดียงกันเมื่อใช้เวลาไฟฟ้ามากขึ้นและจะส่งผลมากต่อถ่านหินที่มีสารระเหยสูง นอกจากนี้ยังพบว่าอัตราการแก๊สifyถ่านชาร์จะแตกต่างจากถ่านหินมาก

Sun, Q. et al., 2004. [16] ศึกษาถึงอิทธิพลของสารอนินทรีย์ในเนื้อถ่านหิน (macerals) ต่อความว่องไวในการแก๊สifyถ่านชาร์ (maceral char) โดยเปรียบเทียบระหว่างถ่านชาร์ที่ล้างและไม่ล้างสารอนินทรีย์ ประกอบกับการเติมและไม่เติมตัวเร่งปฏิกิริยาในบรรยากาศก๊าซคาร์บอนไดออกไซด์ด้วยเครื่องวิเคราะห์ทางอุณหภูมิและความร้อน (thermogravimetric analyzer, TGA) ที่ภาวะต่างๆ พบร่วมกับการแก๊สifyถ่านชาร์ขึ้นกับอุณหภูมิ ความดัน พื้นที่ผิวจำเพาะของถ่านชาร์และขอบเขตในการแก๊สify (gasification extent) โดยอัตราการแก๊สifyถ่านชาร์จะสูงขึ้นตามอุณหภูมิและความดันที่สูงขึ้น แต่ความว่องไวนี้จะลดลงเมื่อถ่านชาร์ผ่านการล้างสารอนินทรีย์ ส่วนการเติมตัวเร่งปฏิกิริยาจะช่วยให้ถ่านชาร์มีความว่องไวในการแก๊สifyมากขึ้น นอกจากนี้ยังขึ้นกับวิธีการเติมตัวเร่งปฏิกิริยาด้วยกล่าวคือ การเติมด้วยวิธี ultrasonic จะให้ประสิทธิภาพที่ดีกว่าการเติมด้วยวิธี impregnation และการแก๊สify vitrinite char ซึ่งมีปริมาณคาร์บอนต่ำมีความว่องไวมากกว่า inertinite char ที่มีปริมาณคาร์บอนสูงกว่า แต่ปริมาณไฮโดรเจน ออกซิเจน และไนโตรเจนต่ำกว่า ไม่ว่าจะผ่านการล้างและไม่ล้างสารอนินทรีย์ เติมและไม่เติมตัวเร่งปฏิกิริยา ก็ตามซึ่งสอดคล้องกับผลการวิเคราะห์ทางด้านจลนพศาสตร์ด้วยแบบจำลอง Distributed activation energy: DAEM ดังสมการที่ 2.8

$$\frac{d\nu}{dt} = k_i (\nu^* - \nu) \quad (2.8)$$

เมื่อ

ν^* = ปริมาณถ่านชาร์ที่ถูกแก๊สifyทั้งหมด

ν = ปริมาณถ่านชาร์ที่ถูกแก๊สifyที่เวลาใดๆ

$\frac{\nu}{\nu^*}$ = ร้อยละการเปลี่ยนของถ่านชาร์ที่เวลาใดๆ

k_i = ค่าคงที่ปฏิกิริยา (reaction rate coefficient) ซึ่งสามารถอธิบายได้จาก

สมการของอาเรนียส (Arrhenius's Law) ดังสมการที่ 2.9

$$k_i = A \exp(-E_a/RT) \quad (2.9)$$

เมื่อ

- A = ค่าคงที่ (pre - exponential factor)
- E_a = ค่าพลังงานgradeตุนของปฏิกิริยา (activation energy), กิโลจูลต่ำโมล
- R = ค่าคงที่ก้าว เท่ากับ 8.314 จูลต่ำโมลต่ำเคลวิน
- T = อุณหภูมิสัมบูรณ์ของปฏิกิริยา, เคลวิน

พบว่า inertinite char มีค่าพลังงานgradeตุนสูงกว่า vitrinite char และตัวเร่งปฏิกิริยาจะช่วยลดพลังงานgradeตุนของปฏิกิริยาทำให้อัตราการแกซิฟายสูงขึ้น

Samara, P. et al., 2001. [17] ศึกษาผลของการปัจจัยที่ส่งผลกระทบต่อความร่องไวในการแกซิฟายถ่านchar ได้แก่ ชนิดและปริมาณสารอนินทรีย์ในเด็กจากถ่านหินลิกไนต์ประเทศกรีก และภาวะที่ใช้ในการทดลอง เช่น อุณหภูมิ อัตราการให้ความร้อน และความเข้มข้นของก้าวcarbонไดออกไซด์ที่เข้าทำปฏิกิริยา โดยวัดอัตราการแกซิฟายถ่านcharที่อุณหภูมิ 700 ถึง 900 องศาเซลเซียสด้วยเครื่องวิเคราะห์ทางอุณหภูมิและความร้อน พบว่า ถ่านcharที่มีเด็กเป็นองค์ประกอบสูงมีอัตราการแกซิฟายสูงกว่า ถ่านcharที่มีเด็กต่ำ เนื่องจากมีองค์ประกอบของสารอนินทรีย์ซึ่งทำหน้าที่เป็นตัวเร่งปฏิกิริยามากกว่า โดยอัตราการแกซิฟายนี้จะแปรผันตรงกับความเข้มข้นของธาตุแมกนีเซียมที่ทำหน้าที่เป็นตัวเร่งปฏิกิริยาแต่ผลของธาตุแคลเซียม โซเดียม และโพแทสเซียมไม่ชัดเจนนัก ทั้งนี้อาจเนื่องมาจากการแปรผันของสารอนินทรีย์ของธาตุตั้งกล่าว นอกจากนี้ถ่านcharที่ผ่านการไฟโรไลส์อย่างซ้ำๆ มีอัตราการแกซิฟายสูงกว่าถ่านcharที่ผ่านการไฟโรไลส์อย่างรวดเร็วและอัตราการแกซิฟายจะสูงขึ้นแปรผันตามความเข้มข้นของก้าวcarbонไดออกไซด์ที่เข้าทำปฏิกิริยา รวมถึงอัตราการให้ความร้อนและความเข้มข้นของก้าวcarbонไดออกไซด์ส่งผลกระทบต่ออัตราการแกซิฟายถ่านcharที่ไม่ได้ผ่านการล้างสารอนินทรีย์ชัดเจนกว่าถ่านcharที่ผ่านการล้างสารอนินทรีย์

Matsuoka, K. et al., 2005. [21] ศึกษาถึงลักษณะโครงสร้างพื้นผิว องค์ประกอบทางเคมีพื้นที่ผิวจำเพาะที่มีต่อความร่องไวในการแกซิฟายถ่านcharที่ได้จากการไฟโรไลส์ถ่านหิน 7 ชนิดที่ภาวะต่างๆด้วยเครื่องปฏิกิริณแบบ drop tube พบว่าการไฟโรไลส์อย่างรวดเร็วนี้จะได้ถ่านcharที่แบ่งตามลักษณะโครงสร้างได้ 2 ลักษณะ คือ ถ่านcharที่มีโครงสร้างหนาแน่น (dense char) และถ่านcharที่มีโครงสร้างเป็นรูพรุน (porous chars) ซึ่งจำแนกได้เป็นแบบ network char และ cenospheric char โดยถ่านcharทั้งสองมีองค์ประกอบทางเคมีและพื้นที่ผิวจำเพาะใกล้เคียงกัน แต่ลักษณะโครงสร้างพื้นผิวและความหนาแน่น (bulk density) แตกต่างกันซึ่งจะส่งผลให้ความร่องไวในช่วงหลังของการแกซิฟายถ่านcharทั้ง 2 ชนิดแตกต่างกัน โดยพิจารณาจากภาพถ่าย SEM ของถ่านcharจะว่าแกซิฟาย

พบว่าในระหว่างการแกซิฟายถ่านชาร์ที่มีโครงสร้างเป็นรูพูนนั้น ในช่วงแรก carbobon ที่แปรเป็นฟิล์ม (film like carbon) จะถูกแกซิฟายก่อน จากนั้น carbobon โครงสร้างแข็ง (skeleton carbon) ซึ่งเป็นโครงสร้างที่ไม่ร่องไวจะถูกแกซิฟายในขั้นต่อมาจึงเป็นผลให้อัตราการแกซิฟายในช่วงหลังนั้นมากกว่า นอกจากนี้ยังพบว่า ในบรรยายกาศของก้าชคาร์บอนไดออกไซด์ถ่านชาร์ทที่มีโครงสร้างเป็นรูพูนมีความร่องไวในการแกซิฟายต่ำกว่าถ่านชาร์ทที่มีโครงสร้างหนาแน่นทั้งนี้เป็นเพราะว่ามีโครงสร้าง carbobon ที่แข็งแรงกว่า (more graphitic) และมีปริมาณแคลเซียมซึ่งทำหน้าที่เป็นตัวเร่งปฏิกิริยาต่ำกว่า

Liu, H. et al., 2003. [18] ศึกษาถึงกลไกการเกิดปฏิกิริยาและการเปลี่ยนแปลงโครงสร้างของถ่านชาร์ทระหว่างการแกซิฟายในบรรยายกาศของก้าชคาร์บอนไดออกไซด์ โดยไฟโรไลส์และแกซิฟายถ่านชาร์ทด้วยเครื่องปฏิกิริณแบบฟลูอิเดซ์เบดที่อุณหภูมิ 1,200 ถึง 1,800 องศาเซลเซียส พบว่า อุณหภูมิไฟโรไลส์ส่งผลต่ออัตราการแกซิฟายถ่านชาร์ทอย่างชัดเจน โดยถ่านชาร์ทที่อุณหภูมิต่ำจะมีความร่องไวสูงกว่าถ่านชาร์ทที่อุณหภูมิสูง ทั้งนี้เนื่องมาจากธาตุซิลิกอนในถ่านชาร์ทที่อุณหภูมิต่ำจะมีกลไยเป็นสารประกอบซิลิกอนคาร์บไบด์ (SiC) ซึ่งสารประกอบนี้จะถลอกตัวเป็นธาตุซิลิกอนกับ carbobon ในรูปเกรไฟต์ที่ไม่ร่องไวต่อปฏิกิริยาเมื่อเกิดการแกซิฟาย จึงส่งผลให้ความร่องไวของถ่านชาร์ลดลง นอกจากนี้ยังพบว่าอัตราการแกซิฟายไม่ขึ้นกับปริมาณสารระเหยได้ที่เป็นองค์ประกอบเพียงอย่างเดียว แต่ขึ้นกับปฏิกิริยาของสารอนินทรีย์ในถ่านชาร์ท สำหรับอุณหภูมิในการแกซิฟายที่ต่างกันจะส่งผลให้อนุภาคถ่านชาร์ทและสารอนินทรีย์ในถ่านเกิดปฏิกิริยาและเปลี่ยนแปลงโครงสร้างระหว่างการแกซิฟาย นั้นแตกต่างกัน

Ye, D.P. et al., 1998. [13] ศึกษาความร่องไวและจลนพลศาสตร์ของการแกซิฟายถ่านหิน ศักดิ์ต่ำในทวีปօอสเตรเลียใต้ ในบรรยายกาศของก้าชคาร์บอนไดออกไซด์และไอน้ำด้วยเครื่องปฏิกิริณแบบอนุภาคเดี่ยว (single - particle reactor) ที่ความดันบรรยายกาศและอุณหภูมิ 714 - 892 องศาเซลเซียส พบว่าอัตราการแกซิฟายถ่านหินไม่ขึ้นกับขนาดอนุภาคถ่านหินและสามารถอธิบายผลการทดลองได้ด้วยแบบจำลอง Homogeneous ดังสมการที่ 2.10

$$\frac{dX}{dt} = k(1-X) \quad (2.10)$$

จากการทดลองพบว่าสมการค่าคงที่อัตราการแกซิฟายถ่านหินในบรรยายกาศ ก้าชคาร์บอนไดออกไซด์ และไอน้ำ แสดงดังสมการที่ 2.11 และ 2.12 ตามลำดับ

สำหรับการแกซิฟายในบรรยายกาศของก้าชคาร์บอนไดออกไซด์

$$k = 1372 \exp(-10945/T) \quad (2.11)$$

สำหรับการแกซิฟายในบรรยายกาศของไอน้ำ

$$k = 261276 \exp(-15733/T) \quad (2.12)$$

นอกจากนี้ยังพบว่า ถ่านหินที่มีปริมาณสารอนินทรีย์มากจะมีความกว่องไวนากกว่าถ่านหินชนิดอื่นๆ จึงทำการทดลองเพื่อศึกษาอิทธิพลของสารอนินทรีย์ โดยนำถ่านหินที่มีปริมาณสารอนินทรีย์มากไปผ่านกระบวนการล้างสารอนินทรีย์ด้วยกรดก้อนแกซิฟาย พบว่า ถ่านหินที่ผ่านการล้างสารอนินทรีย์แล้วมีความกว่องไวนะในการแกซิฟายใกล้เคียงกับถ่านหินที่มีปริมาณสารอนินทรีย์ต่ำและสารอนินทรีย์ต่างชนิดกันจะมีความกว่องไวนะแตกต่างกันซึ่งเรียงตามลำดับความกว่องไวนะดังนี้ $\text{Na} > \text{K} > \text{Ca} > \text{Ni}$ เมื่อไออกอนลับเป็นสารชนิดเดียวกัน

Sinag, A. et al., 2003. [22] ศึกษาถึงความกว่องไวนะ暨ผลกระทบของการแกซิฟายถ่านชาร์จากถ่านหินลิกไนต์ในบรรยายกาศของก๊าซคาร์บอนไดออกไซด์ เพื่อสร้างความเข้าใจในกระบวนการการใช้ประโยชน์จากถ่านหินศักดิ์ต่ำให้มากขึ้น และภาวะการไฟโรไลส์ถ่านหินลิกไนต์แล้วได้ถ่านชาร์ที่มีความกว่องไวนะสูงสุด รวมถึงปัจจัยที่ส่งผลต่อกระบวนการแกซิฟาย พบว่าถ่านชาร์ที่ได้จากการไฟโรไลส์ที่อุณหภูมิแตกต่างกันจะมีความกว่องไวนะและอัตราแกซิฟายแตกต่างกันซึ่งสามารถวัดได้จากค่าตัวแปรทาง暨ผลกระทบ (E_A , k_m , θ) และค่าพื้นที่ผิวจำเพาะ (Specific - surface area) ผลการวิเคราะห์ทาง暨ผลกระทบ แสดงให้เห็นว่า ในช่วงอุณหภูมิ 800 - 1,050 องศาเซลเซียส อัตราการแกซิฟายถ่านชาร์ถูกควบคุมโดยปฏิกิริยาเคมี จากข้อมูลดังกล่าวสามารถนำมาใช้ในการออกแบบเครื่องปฏิกรณ์และเลือกภาวะที่เหมาะสมในกระบวนการประรูปถ่านชาร์ให้เป็นก๊าซเชื้อเพลิงเพื่อให้ได้ประสิทธิภาพสูงขึ้น

Ahn, D.H. et al., 2001. [14] ศึกษา暨ผลกระทบของการแกซิฟายถ่านชาร์จากถ่านหินชั้นบิทูมินัสประเทคอินโดยนีไฮย์ในบรรยายกาศของก๊าซคาร์บอนไดออกไซด์ที่ความดันสูงด้วยเครื่องปฏิกรณ์แบบ drop - tube โดยมีตัวแปรที่ทำการศึกษา คือ อุณหภูมิแกซิฟาย 900 - 1,400 องศาเซลเซียส ความดันย่อยของก๊าซคาร์บอนไดออกไซด์ 0.1 - 0.5 เมกะ帕斯คัลและความดันรวมของระบบ 0.5 0.7 1.0 และ 1.5 เมกะพาสคัล พบว่าอัตราการแกซิฟายถ่านชาร์ (apparent reaction rate) ขึ้นกับอุณหภูมิแกซิฟาย ความดันย่อยของก๊าซคาร์บอนไดออกไซด์ และความดันรวมของระบบ โดยเมื่อความดันรวมของระบบสูงขึ้น ส่งผลให้ค่าคงที่อัตราการแกซิฟาย (apparent reaction rate coefficient, k) ลดลง ทั้งนี้อาจเป็นเพราะแรงต้านทานการแพร่ของก๊าซที่เข้าไปทำปฏิกิริยานิਊพรุน มีมากขึ้น ซึ่งสามารถอธิบายได้ด้วยสมการ $n^{\text{th}} - \text{order rate equation}$ แสดงดังสมการที่ 2.13

$$R = kP_{\text{gas}}^n \quad (2.13)$$

เมื่อความดันรวมของระบบมีการเปลี่ยนแปลงจะได้สมการใหม่ คือ สมการที่ 2.14

$$R = kP_{\text{gas}}^n P_{\text{total}}^m \quad (2.14)$$

ดังนั้นที่อุณหภูมิและความดันสูง สามารถอัดราการาแกซิฟายถ่านชาร์ในบรรยายกาศของก๊าซคาร์บอนไดออกไซด์ แสดงดังสมการที่ 2.15

$$\frac{dX}{dt} = (174.1) \exp(-71.5/RT) (P_{CO_2})^{0.4} (P_{total})^{0.65} (1-X)^{2/3} \quad (2.15)$$

Kajitani, K. et al., 2003. [19] ศึกษาการแกซิฟายถ่านชาร์ในบรรยายกาศของก๊าซคาร์บอนไดออกไซด์ หรือไอน้ำโดยใช้เครื่องปฏิกรณ์แบบ pressurized drop tube furnace (PDTF) ที่ภาวะอุณหภูมิและความดันสูงกว่าบรรยายกาศ เพื่อหาสมการอัดราการาแกซิฟายที่เหมาะสมโดยสังเคราะห์ถ่านชาร์ด้วยเครื่องปฏิกรณ์แบบ PDTF เช่นกันจากถ่านหิน 2 ชนิด คือ ถ่านหิน Australian NL bituminous (มีอัตราส่วนเชื้อเพลิง และจุดหลอมเหลวของถ่านสูง) และถ่านหิน Chinese S bituminous (มีอัตราส่วนเชื้อเพลิง และจุดหลอมเหลวของถ่านต่ำ) ในบรรยายกาศของก๊าซในไตรเจนที่อุณหภูมิ 1,400 องศาเซลเซียส และแกซิฟายถ่านชาร์ที่อุณหภูมิตั้งแต่ 1,100 ถึง 1,500 องศาเซลเซียส ความดันตั้งแต่ 0.2 ถึง 2 เมกะ帕斯คัล จากผลการทดลอง พบร่วรระหว่างปฏิกิริยาแกซิฟายดำเนินไปพื้นที่ผิวของถ่านชาร์เพิ่มขึ้นอย่างรวดเร็ว และมีค่าสูงสุด ถึงหนึ่งของขนาดพื้นที่ผิวเริ่มต้น เมื่อถ่านชาร์เปลี่ยนแปลงไป 40 % โดยการเปลี่ยนแปลงพื้นที่ผิวและอัตราการแกซิฟายสามารถอธิบายได้จากแบบจำลอง Random Pore Model (RPM) ดังแสดงในสมการที่ 2.16 และตารางที่ 2.3 แสดงสมการอัตราการแกซิฟายและค่าตัวแปรทางจนพลศาสตร์ของถ่านชาร์ที่ภาวะอุณหภูมิและความดันสูง

$$\frac{dx}{dt} = A_o \cdot P_A^n \cdot e^{-E/RT} \cdot (1-x) \cdot \sqrt{1-\psi \cdot \ln(1-x)} \quad (2.16)$$

2.5. งานวิจัยที่เกี่ยวข้องในประเทศไทย

บัณฑิต ปัตทวีคงคา, 2529 [23] ศึกษาทางจนพลศาสตร์ของกระบวนการแกซิฟายถ่านหินลิกไนต์ในเตาปฏิกรณ์เคมีแบบฟลูอิเดซ์เบดไม่ต่อเนื่อง โดยถ่านหินขนาด 0.72 มิลลิเมตรจะถูกໄล่สารระเหยก่อนการแกซิฟายในบรรยายกาศของก๊าซในไตรเจน และก๊าซผสมระหว่างไนโตรเจน และไอน้ำ ตามลำดับ ที่อุณหภูมิระหว่าง 700 - 950 องศาเซลเซียส ความดันบรรยายกาศ พบร่วร ความเร็วของฟลูอิเดซ์ก๊าซไม่มีอิทธิพลต่ออัตราการแกซิฟาย ผลการทดลองสามารถอธิบายจนพลศาสตร์ได้อย่างดีโดยใช้แบบจำลองแกนกลางไม่ทำปฏิกิริยา (Unreacted - Core Model) ปฏิกิริยาจะถูกควบคุมโดยขั้นตอนปฏิกิริยาเคมีในช่วงประมาณ 25 นาทีแรกของการเกิดปฏิกิริยา แต่ภายหลังจากนั้นปฏิกิริยาจะถูกควบคุมโดยขั้นตอนการแพร่ผ่านขั้นตอนถ่านที่เกิดขึ้น ซึ่งมีผลทำให้อัตราเร็วของ การเกิดปฏิกิริยาลดลง นอกจากรายงานนี้ยังพบว่า อุณหภูมิมีอิทธิพลต่อองค์ประกอบและปริมาณของผลิตภัณฑ์ก๊าซที่เกิดขึ้น

ตารางที่ 2.3 สมการอัตราการแก๊สify และค่าตัวแปรทางจนผลศาสตร์ของถ่านชาร์

Test char	NL bituminous char			S bituminous char	
Gasifying agent	CO ₂	H ₂ O	O ₂	CO ₂	
Applicability ^a	High temp. (>1200 °C) (pore diffusion)	Low temp. (reaction control)	High temp. (reaction control)	Low temp. (reaction control)	High and low temp.
Pore structure : ψ	3	3	3	14	0.1
Reaction order : n	0.73	0.54	0.86	0.68	0.49
Activation energy :					
E (kJ/mol)	163	283	214	130	261
Frequency factor :					
A_o	6.78×10^4	1.09×10^9	2.45×10^7	1.36×10^6	1.23×10^9

^a The reaction rate equation based on the Random Pore Model is the following :

$$\frac{dx}{dt} = A_o \cdot P_A^n \cdot e^{-E/RT} \cdot (1-x) \cdot \sqrt{1-\psi \cdot \ln(1-x)}$$

x: conversion ratio [-], t: time [s], P_A : partial pressure of gasifying agent [MPa],

T: temperature [K], gas constant: $R=8.314 \times 10^{-3}$ kJ/mol K.

สมพร บรรลือศรีเรือง, 2537 [24] ศึกษาอิทธิพลของตัวเร่งปฏิกิริยาและค่าไลน์คาร์บอนต์ในการแก๊สifyถ่านชาร์จากถ่านหิน 3 ชนิด คือ บางปูดำ 110 แม่เมะและบางปูดำ 163 ด้วยเครื่องวิเคราะห์ทางอุณหภูมิและความร้อน (thermo gravimetric analyzer, TGA) ในบรรยากาศของก๊าซคาร์บอนไดออกไซด์ วิเคราะห์ในเทอมของค่าพลังงานกระตันและอัตราการเกิดปฏิกิริยาเพื่อหาปัจจัยและภาวะที่มีผลต่ออัตราเร็วของปฏิกิริยาและผลผลิตก๊าซ พบร่วง ถ่านชาร์ที่ไม่เติมตัวเร่งปฏิกิริยาสามารถแก๊สifyได้ดังแต่ อุณหภูมิ 700 องศาเซลเซียส ปฏิกิริยาเกิดได้ดีเมื่ออุณหภูมิสูงขึ้นโดยมีอัตราเร็ว 0.24×10^{-3} - 11.79×10^{-2} มิลลิกรัมต่อมิลลิกรัมคาร์บอนเริ่มต้นต่อนาทีและมีพลังงานกระตันในช่วง 98.84 - 110.78 กิโลจูลต่อมิล เมื่อเติมตัวเร่งปฏิกิริยา การแก๊สifyเกิดที่อุณหภูมิต่ำลงและอัตราเร็วของปฏิกิริยาเพิ่มเป็นสัดส่วนโดยตรงกับบริมาณที่เติมคิดเป็น 9 - 50 เท่าของปฏิกิริยาที่ไม่มีตัวเร่งปฏิกิริยา K_2CO_3 มีความสามารถในการเร่งปฏิกิริยาได้ดีกว่า Na_2CO_3 อย่างไรก็ได้ตัวเร่งปฏิกิริยาไม่มีส่วนลดพลังงานกระตันของปฏิกิริยา

สุภารณ์ เศวตภรณ์ และคณะ, 2544 [25] ศึกษาผลของอัตราการให้ความร้อนและอุณหภูมิสุดท้ายของการไฟโรไอล์ส์ถ่านหินต่อสมบัติและความว่องไวของถ่านชาร์ในเครื่องปฏิกรณ์แบบเบนจิงที่อุณหภูมิ 300 - 700 องศาเซลเซียสและอัตราการให้ความร้อนเท่ากับ 20 40 และ 60 องศาเซลเซียสต่อนาที พบร่วมกับ อัตราการให้ความร้อนมีผลต่อสมบัติของถ่านชาร์ไม่มากนัก แต่อุณหภูมิสุดท้ายส่งผลต่อปริมาณและสมบัติของถ่านชาร์อย่างชัดเจน กล่าวคือ เมื่ออุณหภูมิสูงขึ้นจะทำให้ได้ปริมาณถ่านชาร์ลดลงแต่คุณภาพดีขึ้น โดยมีร้อยละการบ่อนครองตัว ค่าความร้อน และปริมาณพื้นที่ผิวจำเพาะมากขึ้น ดังนั้นการไฟโรไอล์ส์ถ่านหินที่อัตราการให้ความร้อน 40 องศาเซลเซียสต่อนาที อุณหภูมิสุดท้าย 700 องศาเซลเซียส จะได้ถ่านชาร์ที่มีสมบัติดีที่สุด

บทที่ 3

เครื่องมือและวิธีการดำเนินการวิจัย

3.1. การเตรียมตัวอย่างถ่านหิน (ASTM Standard: D2013 - 86) [26]

3.1.1. ถ่านหินที่ใช้ในการทดลอง

ถ่านหินที่ใช้ในการทดลองนี้ นำมาจาก 2 แหล่งด้วยกัน ได้แก่ แหล่งลี จังหวัดลำพูน และแหล่งลำปาง จังหวัดลำปาง โดยได้ความอนุเคราะห์จากบริษัทบ้านปู จำกัด (มหาชน)

3.1.2. อุปกรณ์ในการเตรียมตัวอย่างถ่านหิน

3.1.2.1. เครื่องบดถ่านหินอย่างหยาบชันนิด Hammer Mill

3.1.2.2. เครื่องบดถ่านหินละเอียดชันนิด Cross Beater Mill

3.1.2.3. อุปกรณ์แบ่งตัวอย่างถ่านหิน (Riffle)

3.1.2.4. ตะแกรงร่อน(Sieve Analysis) ขนาด 4.0, 2.0, 1.0, 0.75 มิลลิเมตร
(ของเครื่องบดถ่านหิน)

3.1.2.5. เครื่องเขย่าร่อน(Test Sieve Shaker) และตะแกรงร่อน ขนาด 75, 150 และ 250 มิลลิเมตร

3.1.3. วิธีการบดและแบ่งตัวอย่างถ่านหิน

3.1.3.1. นำตัวอย่างถ่านหินขนาด 1-3 มิลลิเมตร จำนวน 50 กิโลกรัม ถ้าตัวอย่างถ่านหินรวมความชื้นให้เกลี่ยบนถาดผึ่งไว้ในที่ร่มให้แห้งก่อนบด

3.1.3.2. นำตัวอย่างถ่านหินที่ได้ทั้งหมดไปบด โดยใช้เครื่องบดถ่านหินอย่างหยาบชันนิด Hammer Mill เพื่อให้ได้ถ่านหินมีขนาดเล็กกว่า 4 มิลลิเมตร

3.1.3.3. นำตัวอย่างถ่านหินที่ได้ทั้งหมดไปบดให้มีขนาดเล็กกว่า 2 มิลลิเมตร โดยใช้เครื่องบดถ่านหินละเอียดชันนิด Cross Beater Mill โดยบดอย่างน้อยร้อยละ 95 ของตัวอย่างทั้งหมด

3.1.3.4. นำตัวอย่างถ่านหินทั้งหมดที่ได้ไปผ่าน อุปกรณ์แบ่งตัวอย่างถ่านหินให้ได้ตัวอย่างประมาณ 24 กิโลกรัมหรือมากกว่า

3.1.3.5. นำตัวอย่างถ่านหินที่ได้ทั้งหมดไปบดให้มีขนาดเล็กกว่า 1 มิลลิเมตร โดยใช้ เครื่องบดถ่านหินละเอียดชันนิด Cross Beater Mill อย่างน้อยร้อยละ 95 (ประมาณ 23 กิโลกรัม)

3.1.3.6. นำตัวอย่างถ่านหินที่ได้ไปผ่านคุปกรณ์แบ่งตัวอย่างถ่านหินให้ได้ตัวอย่างประมาณ 11 กิโลกรัมหรือมากกว่า

3.1.3.7. นำตัวอย่างถ่านหินที่ได้ทั้งหมดไปบดให้มีขนาดเล็กกว่า 0.75 มิลลิเมตร โดยใช้เครื่องบดถ่านหินละเอียดชนิด Cross Beater Mill อย่างน้อยร้อยละ 95 (ประมาณ 10.6 กิโลกรัม)

3.1.3.8. นำตัวอย่างถ่านหินที่ได้ไปผ่าน คุปกรณ์แบ่งตัวอย่างถ่านหิน ให้ได้ตัวอย่างประมาณ 5 กิโลกรัมหรือมากกว่า

3.1.3.9. นำตัวอย่างถ่านหินที่ได้ไปผ่านตะแกรงร่องขนาด 250 ไมโครเมตร (ผ่านทั้งหมด) และเก็บตัวอย่างถ่านหินที่มีขนาดน้อยกว่า 250 ไมโครเมตร (ไม่น้อยกว่า 50 กรัม) เพื่อเป็นตัวแทนของแหล่งถ่านหินตามมาตรฐาน ASTM

3.1.3.10. นำตัวอย่างถ่านหินที่บดได้เก็บใส่ขวดปิดมิดชิดแล้วเก็บไว้ในหม้อดูดความชื้น (desiccator)

3.2. การเตรียมตัวอย่างถ่านหินเพื่อใช้ในการทดลอง

3.2.1. นำตัวอย่างถ่านหินที่ได้จากข้อ 3.1.3.4 ไปผ่านตะแกรงร่องขนาด 1.18, 0.85 และ 0.25 มิลลิเมตร ตามลำดับ และเก็บตัวอย่างถ่านหินที่มีขนาด 0.85 - 0.25 มิลลิเมตร ไปบดให้มีขนาดเล็กกว่า 0.75 มิลลิเมตร โดยใช้เครื่องบดถ่านหินละเอียดชนิด Cross Beater Mill

3.2.2. นำตัวอย่างถ่านหินที่ได้ไปผ่านตะแกรงร่องขนาด 250, 150 และ 75 ไมโครเมตร ตามลำดับ และเก็บตัวอย่างถ่านหิน 2 ช่วงขนาดเพื่อใช้ในการทดลอง ดังนี้ 250 - 150 และ <75 ไมโครเมตร

3.2.3. นำตัวอย่างถ่านหินที่บดได้เก็บใส่ขวดปิดมิดชิดแล้วเก็บไว้ในหม้อดูดความชื้น

3.3. การล้างสารอนินทรีย์ออกจากถ่านหิน (Demineralization) [27]

3.3.1. คุปกรณ์ และสารเคมี

- ขวดรูปชามพู่ ขนาด 250 มิลลิลิตร พร้อมฝาปิด
- เครื่องเขย่า (digital shaker model GFL-3020)
- ชุดคุปกรณ์กรองแบบสูญญากาศ (suction) ประกอบด้วย
 - กระดาษกรองเบอร์ 1
 - Suction filtering flask ขนาด 1,000 ลูกบาศก์เซนติเมตร
 - กรวยกรอง (buchner funnel)
 - ปั๊มสูญญากาศ (vacuum pump)

- กรณ์ไฮโดรคลอริกเข้มข้นร้อยละ 37.6
- สารละลายน้ำในเตราต

3.3.2. วิธีการล้างสารอนินทรีย์

3.3.2.1. นำถ่านหิน 5 กรัมผสมกับกรณ์ไฮโดรคลอริกเข้มข้น 5 นอร์มัล ปริมาณ 125 มิลลิลิตร จากนั้นใช้แท่งแก้วคนจนถ่านหินจนลงในกรดจนหมด

3.3.2.2. วนสารผสมในข้อ 1 นาน 72 ชั่วโมง ที่อุณหภูมิห้อง

3.3.2.3. กรอง และล้างถ่านหินด้วยน้ำกลันร้อน 5 - 6 ครั้ง จนกระทั่งไม่มีไอออกคลื่นไวด์ (CI) เหลืออยู่โดยทดสอบด้วยสารละลายน้ำในเตราต

3.3.2.4. อบให้แห้งที่อุณหภูมิ 105 องศาเซลเซียส ชั่นนำหนักของถ่านหินที่ผ่านการล้างสารอนินทรีย์ออกแล้ว เก็บตัวอย่างถ่านหินในหม้อดูดความชื้นเพื่อใช้ทดลองต่อไป

3.4. การวิเคราะห์ถ่านหิน

3.4.1. การวิเคราะห์แบบปrowave (Proximate Analysis) (ASTM Standard: D3172 - 89) [28] แสดงวิธีการวิเคราะห์ในภาคผนวกที่ ก1.

3.4.2. การวิเคราะห์แบบแยกธาตุ (Ultimate Analysis) (ASTM Standard: D3176 - 89) [29] ลงตัวอย่างวิเคราะห์ที่ศูนย์เครื่องมือวิจัยวิทยาศาสตร์และเทคโนโลยี จุฬาลงกรณ์มหาวิทยาลัย ด้วยเครื่อง CHNS/O ANALYSER รุ่น PE2400 SeriesII ยี่ห้อ Perkin Elmer

3.4.3. การวิเคราะห์หาค่าความร้อนของถ่านหินและปริมาณกำมะถันรวม (Heating Value and Total Sulfur) (ASTM Standard: D2015 - 91 และ D3177 - 89) [30,31] แสดงวิธีการวิเคราะห์ในภาคผนวกที่ ก2.

3.4.4. การวิเคราะห์หาปริมาณพื้นที่ผิวจำเพาะด้วยวิธี BET (Specific Surface Area) ลงตัวอย่างวิเคราะห์ที่วิทยาลัยปิโตรเคมี จุฬาลงกรณ์มหาวิทยาลัย ด้วยเครื่อง Surface area Analyzer (Physisorption by N₂) รุ่น Sorptomatic 1990 ยี่ห้อ Thermo Finnigan

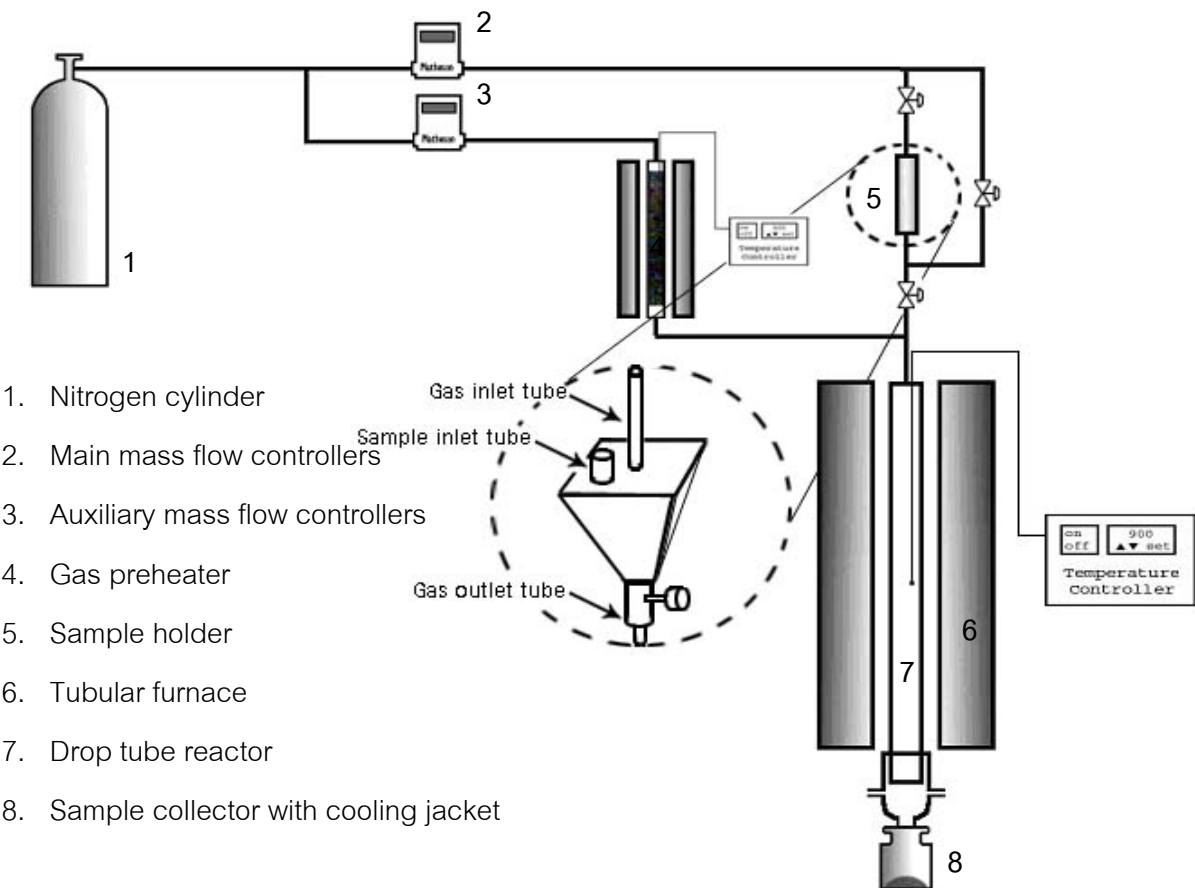
3.4.5. การวิเคราะห์หาปริมาณสารอนินทรีย์ด้วยเทคนิค X-ray fluorescence spectrometry: XRF (ASTM Standard: D4326 - 94) [32] ลงตัวอย่างวิเคราะห์ที่ศูนย์เครื่องมือวิจัยวิทยาศาสตร์และเทคโนโลยี จุฬาลงกรณ์มหาวิทยาลัย ด้วยเครื่อง X-ray fluorescence Spectrometer รุ่น PW 2400 ยี่ห้อ Philips

3.4.5.1 วิธีการเตรียมตัวเพื่อวิเคราะห์หาปริมาณสารอนินทรีย์
นำถ่านหินที่ล้างและไม่ล้างสารอนินทรีย์อย่างละ 10 กรัม แบ่งใส่ครุภัณฑ์เด่น จากนั้นนำไปเผาในเตาเผา Muffle Furnace ที่ 500 องศาเซลเซียส เป็นเวลา 1 ชั่วโมงและที่ 750 องศาเซลเซียส

เป็นเวลา 2 ชั่งโมงหรือนานนักคงที่ ให้ได้ปริมาณถ้าอย่างน้อย 3 กรัมถ้าตัวอย่างมีถ่าน้อยให้เพิ่มปริมาณถ่านหินเริ่มต้น ส่งศูนย์เครื่องมือวิจัยวิทยาศาสตร์และเทคโนโลยี จุฬาลงกรณ์มหาวิทยาลัย เป็นผู้ดำเนินการวิเคราะห์ให้

3.5. การไฟโรไลส์ถ่านหิน

3.5.1. อุปกรณ์และเครื่องมือที่ใช้ในการไฟโรไลส์ถ่านหิน ดังแสดงในรูปที่ 3.1 ประกอบด้วย



รูปที่ 3.1 เครื่องปฏิกรณ์ที่ใช้ในการไฟโรไลส์

3.5.1.1. ถังก๊าซในต่อเจน ความบริสุทธิ์อยู่ละ 99.95

3.5.1.2. อุปกรณ์วัด และควบคุมอัตราการไหลดเข้าของก๊าซ (main Metheson mass flow meter and controller) สำหรับควบคุมก๊าซในต่อเจนปฐมภูมิ (primary gas) โดยมีอัตราการไหลดสูงสุด 1,000 มิลลิลิตรต่อนาที

3.5.1.3. อุปกรณ์วัด และควบคุมอัตราการไหลดเข้าของก๊าซ (auxiliary Metheson mass flow meter and controller) สำหรับควบคุมก๊าซในต่อเจนทุติยภูมิ (secondary gas) โดยมีอัตราการไหลดสูงสุด 200 มิลลิลิตรต่อนาที

3.5.1.4. อุปกรณ์ให้ความร้อนเบื้องต้น (gas preheater) เป็นเตาเผาทรงกระบอก สูง 30 เซนติเมตร เส้นผ่านศูนย์กลางภายในออก 25 เซนติเมตร เส้นผ่านศูนย์กลางภายในใน 4 เซนติเมตร สามารถตั้งอุณหภูมิได้ในช่วง 300 - 1,200 องศาเซลเซียส

3.5.1.5. Sample holder มีลักษณะเป็นพิระมิดฐานสี่เหลี่ยมครึ่งทำด้วยแผ่นอะคริลิก หนา 1 เซนติเมตร ขนาดพื้นที่ฐาน 25 ตารางเซนติเมตร สูง 10 เซนติเมตร ด้านบนมีช่อง 2 ช่องโดยช่องที่หนึ่งยึดติดกับท่อ ก๊าซ และช่องที่สองที่สองมีฝ้าปิด - เปิด สำหรับบรรจุถ่านหินตัวอย่าง

3.5.1.6. เตาเผาไฟฟ้า (tubular furnace) เป็นเตาทรงกระบอก ด้านบนเปิด สูง 76 เซนติเมตร เส้นผ่านศูนย์กลางภายในออก 30 เซนติเมตร เส้นผ่านศูนย์กลางภายใน 7.5 เซนติเมตร สามารถตั้งอุณหภูมิได้ในช่วง 300 - 1,200 องศาเซลเซียส

3.5.1.7. เครื่องปฏิกรณ์สำหรับไฟโรไลส์ (pyrolysis reactor) เป็นท่อควอทซ์ (quartz tube) กลวง ขนาดเส้นผ่านศูนย์กลางภายในออก 1.6 เซนติเมตร หนา 0.3 เซนติเมตร ยาว 100 เซนติเมตร

3.5.1.8. ขวดแก้วเก็บตัวอย่างถ่านชาร์ (sample collector) ภาชนะมีน้ำหนักอยู่ 100 กรัม ประมาณ 20 องศาเซลเซียส

3.5.2. วิธีการไฟโรไลส์ถ่านหิน

3.5.2.1. เปิดเตาเผา (tubular furnace) ควบคุมอุณหภูมิที่ 500 องศาเซลเซียส พร้อมทั้งป้อนก๊าซไนโตรเจนผ่านท่อทั้งสอง โดยท่อแรกเป็นท่อ ก๊าซไนโตรเจนปั๊มน้ำมันที่พาตัวอย่างถ่านหินเข้าสู่เครื่องปฏิกรณ์ และท่อที่สองเป็นท่อ ก๊าซไนโตรเจนทุติยภูมิซึ่งผ่านอุปกรณ์ให้ความร้อนเบื้องต้นเพื่อคุ้นก๊าซให้ร้อนก่อนเข้าสู่เครื่องปฏิกรณ์ ด้วยอัตราไฟล 1,000 และ 20 มิลลิลิตรต่อนาทีที่อุณหภูมิห้องตามลำดับ เพื่อล่ออากาศภายในเครื่องปฏิกรณ์ และระบบให้อยู่ในบรรยากาศของก๊าซไนโตรเจน الرحمنระบบเข้าสู่สถานะคงตัว (steady state) ประมาณ 1 ชั่วโมง ตรวจวัดโดยการวัดก๊าซที่ออกจากเครื่องปฏิกรณ์ด้วยเครื่องแก๊สโคมไฟกราฟ

3.5.2.2. ชั่งตัวอย่างถ่านหินน้ำหนักประมาณ 300 มิลลิกรัม

3.5.2.3. เปิดวาล์ว by pass พร้อมทั้งปิดวาล์วทั้งด้านบนและด้านล่างของ sample holder ใช้ช้อนตักถ่านหินครั้งละประมาณ 300 มิลลิกรัม บรรจุใน sample holder (ช่องสำหรับบรรจุถ่านหิน)

3.5.2.4. ปิดวาล์ว by pass พร้อมทั้งปิดวาล์วด้านบนและด้านล่างของ sample holder พร้อมกัน เพื่อให้ตัวอย่างถ่านหินตกเข้าเครื่องปฏิกรณ์พร้อมกับก๊าซไนโตรเจนปั๊มน้ำมันซึ่งเมื่อถ่านหินได้รับความร้อนภายในเครื่องปฏิกรณ์ ความชื้นและสารระเหยได้บางส่วนจะระเหยออกมากพร้อมทั้งถ่านชาร์ที่ได้หล่นลงสู่ขวดแก้วเก็บตัวอย่าง

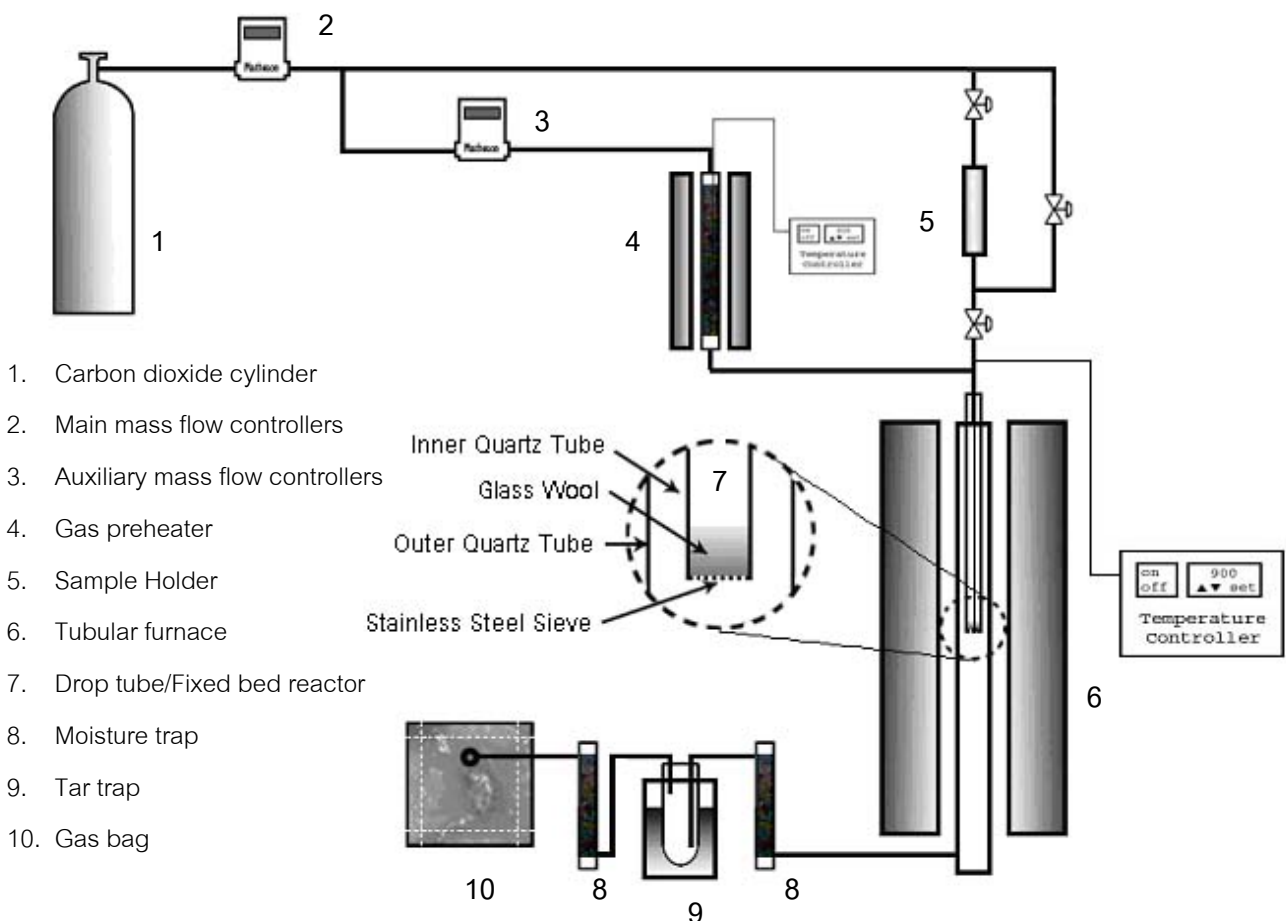
3.5.2.5. ทำขั้นตอน 3.5.2.3 - 3.5.2.4 จนกระทั่งตัวอย่างถ่านหินหมด

3.5.2.6. ขั้นตอนนี้จะดำเนินการโดยอัตโนมัติโดยไม่ต้องมีการ干预 สำหรับการทดลองในขั้นตอนนี้

ต่อไป

3.6. การแก๊สifyถ่านชาร์

3.6.1. อุปกรณ์และเครื่องมือที่ใช้ในการแก๊สifyถ่านชาร์ ใช้อุปกรณ์ในส่วนควบคุมอัตราการไหลของก๊าซ การให้ความร้อนเบื้องต้น และส่วนของ sample holder ชุดเดียวกับการไฟโรไรล์สถ่านหินและปรับปรุงในส่วนของเครื่องปฏิกรณ์ที่ใช้สำหรับแก๊สifyถ่านชาร์ ดังแสดงในรูปที่ 3.2 ประกอบด้วย



รูปที่ 3.2 เครื่องปฏิกรณ์ที่ใช้ในการแก๊สify

3.6.1.1. เครื่องปฏิกรณ์สำหรับแก๊สify (gasify reactor) เป็นท่อควอทซ์ (quartz tube) กลวง ขนาดเส้นผ่านศูนย์กลางภายในออก 1.4 เซนติเมตร หนา 0.2 เซนติเมตร ยาว 70 เซนติเมตร โดยส่วนปลายของท่อจะปิดด้วยไนแก๊ส (glass wool) รวมในท่อควอทซ์ที่ใช้ในการไฟโรไรล์ส

3.6.1.2. ชุดดักความชื้น (moisture trap) เป็นหลอดแก้วขนาดเส้นผ่านศูนย์กลางภายใน 1.5 เซนติเมตร สูง 20 เซนติเมตร ภายในบรรจุซิลิกาเจล

3.6.1.3. ชุดดักน้ำมันtar (tar trap) เป็นหลอดแก้วขนาดเส้นผ่านศูนย์กลางภายใน 4 เซนติเมตร สูง 20 เซนติเมตร ด้านบนเจาะช่องสำหรับก๊าซเข้าและออก จุ่มในน้ำแข็งอุณหภูมิประมาณ 5 - 10 องศาเซลเซียส

3.6.1.4. ถุงเก็บก๊าซตัวอย่าง (gas bag) ขนาด 1 ลิตร

3.6.2. วิธีการแยกฝ่ายถ่านชาร์

3.6.2.1. เปิดเตาเผา (tubular furnace) ควบคุมอุณหภูมิที่ 900 องศาเซลเซียส พร้อมทั้งป้อนก๊าซคาร์บอนไดออกไซด์ด้วยอัตราไฟล 660 มิลลิลิตรต่อนาทีที่อุณหภูมิห้อง ซึ่งเป็นปริมาณก๊าซคาร์บอนไดออกไซด์ตัวทำปฏิกิริยามากเกินพอกและปริมาณคาร์บอนในถ่านชาร์เป็นตัวทำปฏิกิริยาจำกัด เพื่อไม่讓อากาศภายในเครื่องปฏิกรณ์และระบบให้อุ่นในบรรยายกาศของก๊าซคาร์บอนไดออกไซด์ รองรับระบบเข้าสู่สถานะคงตัว ประมาณ 1 ชั่วโมง ตรวจวัดโดยวัดก๊าซที่ออกจากระบบด้วยเครื่องแก๊สโคลร์มาโทกราฟ

3.6.2.2. ชั่งถ่านชาร์น้ำหนักประมาณ 100 มิลลิกรัม บรรจุใน sample holder โดยวิธีการเดียวกันกับในขั้นตอนการไฟโรไลส์

3.6.2.3. ปิดวาล์ว by pass พร้อมทั้งปิดวาล์วด้านบนและด้านล่างของ sample holder พร้อมกัน เพื่อให้ตัวอย่างถ่านชาร์ตกเข้าเครื่องปฏิกรณ์พร้อมกับก๊าซคาร์บอนไดออกไซด์ จนนั้นจับเวลาแยกฝ่าย และเก็บผลิตภัณฑ์ก๊าซทุกๆ 1 นาที ครั้งละ 1 นาที จนกว่าจะไม่มีก๊าซคาร์บอนมอนอกไซด์เกิดขึ้น

3.6.2.4. วิเคราะห์ก๊าซคาร์บอนมอนอกไซด์ และก๊าซคาร์บอนไดออกไซด์จากผลิตภัณฑ์ก๊าซที่ได้ด้วยเครื่องแก๊สโคลร์มาโทกราฟ

3.7. การตรวจสอบก๊าซด้วยเครื่องแก๊สโคลร์มาโทกราฟ

ภาวะในการตรวจสอบก๊าซ

- ก๊าซตัวพา : ก๊าซไนโตรเจน อัตราการไฟล 30 มิลลิลิตรต่อนาที
- อุณหภูมิอินเจคเตอร์ : 60 องศาเซลเซียส
- อุณหภูมิดีเทคเตอร์ : 250 องศาเซลเซียส
- อุณหภูมิคอลัมน์ : 130 องศาเซลเซียส
- ชินิดคอลัมน์ : packed column ขนาด 10 เมตร x 0.3175 เซนติเมตร บรรจุด้วย Carbosphere - Carbon Molecular Sieve (Carbosperere 80/100)
- ดีเทคเตอร์ : ชินิด flame ionization detector (FID) ที่มี methanizer เป็นส่วนประกอบ
- ปริมาตรที่ฉีด : 50 ไมโครลิตร

โดยตัวอย่างโคลร์มาโทกราฟและวิธีการคำนวณก๊าซมาตรฐานแสดงในภาคผนวก ค1.

3.8. ตัวแปรที่ทำการศึกษา

1. ศักดิ์ของถ่านหิน คือ ลิกไนต์และชับบิทมินัส
2. ขนาดอนุภาคถ่านหิน (particle size) คือ <75 และ $150 - 250 \mu\text{m}$ ไมโครเมตร
3. อุณหภูมิพิโรไรล์ส (pyrolysis temperature) ตั้งแต่ $500 - 900$ องศาเซลเซียส
4. อุณหภูมิแก๊สฟาย (gasification temperature) ตั้งแต่ $900 - 1,100$ องศาเซลเซียส
5. สารอนินทรีย์ในถ่านหิน (mineral matters)

โดยมีภาวะการทดลองแสดงดังตารางที่ 3.1

ตารางที่ 3.1 ภาวะการทดลอง

Sample	Pyrolysis temperature (°C)	Particle Size					
		S ($<75 \mu\text{m}$)			L ($150 - 250 \mu\text{m}$)		
		Gasification temperature (°C)		Gasification temperature (°C)	900	1,000	1,100
		900	1,000	1,100	900	1,000	1,100
Ban Pu coal (lignite)	500	y_{1111}, y_{1112}	y_{2111}, y_{2112}	y_{3111}, y_{3112}	y_{1121}, y_{1122}	y_{2121}, y_{2122}	y_{3121}, y_{3122}
	700	y_{1211}, y_{1212}	y_{2211}, y_{2212}	y_{3211}, y_{3212}	y_{1221}, y_{1222}	y_{2221}, y_{2222}	y_{3221}, y_{3222}
	900	y_{1311}, y_{1312}	y_{2311}, y_{2312}	y_{3311}, y_{3312}	y_{1321}, y_{1322}	y_{2321}, y_{2322}	y_{3321}, y_{3322}
Lampang coal (subbituminous)	500	y_{1111}, y_{1112}	y_{2111}, y_{2112}	y_{3111}, y_{3112}	y_{1121}, y_{1122}	y_{2121}, y_{2122}	y_{3121}, y_{3122}
	700	y_{1211}, y_{1212}	y_{2211}, y_{2212}	y_{3211}, y_{3212}	y_{1221}, y_{1222}	y_{2221}, y_{2222}	y_{3221}, y_{3222}
	900	y_{1311}, y_{1312}	y_{2311}, y_{2312}	y_{3311}, y_{3312}	y_{1321}, y_{1322}	y_{2321}, y_{2322}	y_{3321}, y_{3322}

เมื่อ y_{abcd} หมายถึง ความสัมพันธ์ระหว่างปริมาณเก้าอี้กับอนุมอนอกไซด์ที่เกิดขึ้นกับเวลา เมื่อแก๊สฟายตัวอย่างถ่านชาร์ไดฯ

- a หมายถึง อุณหภูมิแก๊สฟาย $900, 1,000$ และ $1,100$ องศาเซลเซียส
- b หมายถึง อุณหภูมิพิโรไรล์ส $500, 700$ และ 900 องศาเซลเซียส
- c หมายถึง ขนาดอนุภาคถ่านหิน <75 และ $150 - 250 \mu\text{m}$ ไมโครเมตร
- d หมายถึง จำนวนครั้งที่ทำการทดลอง

บทที่ 4

ผลการทดลอง

4.1. สัญลักษณ์ที่ใช้

เนื่องจากตัวอย่างที่ใช้มีการทดลองหลายภาวะ จึงนำรหัสย่อมาใช้เพื่อความสะดวกใน การเรียก ดังแสดงในตารางที่ 4.1 ด้าน

ตารางที่ 4.1 รหัสย่อของตัวอย่างในการทดลองต่างๆ

ประเภท	รหัส	ความหมาย
ถ่านหินดิบ	BP (ASTM)	ถ่านหินบ้านปู ขนาด <250 ไมโครเมตร
	BPS	ถ่านหินบ้านปู ขนาด <75 ไมโครเมตร
	BPL	ถ่านหินบ้านปู ขนาด 150 - 250 ไมโครเมตร
	LP (ASTM)	ถ่านหินลำปาง ขนาด <250 ไมโครเมตร
	LPS	ถ่านหินลำปาง ขนาด <75 ไมโครเมตร
	LPL	ถ่านหินลำปาง ขนาด 150 - 250 ไมโครเมตร
ถ่านหินที่ล้างสารอนินทรีย์แล้ว	DBP	ถ่านหินบ้านปูที่ล้างสารอนินทรีย์แล้ว
	DLP	ถ่านหินลำปางที่ล้างสารอนินทรีย์แล้ว
ถ่านชาร์	CBPS	ถ่านชาร์บ้านปู ขนาด <75 ไมโครเมตร
	CBPL	ถ่านชาร์บ้านปู ขนาด 150 - 250 ไมโครเมตร
	CLPS	ถ่านชาร์ลำปาง ขนาด <75 ไมโครเมตร
	CLPL	ถ่านชาร์ลำปาง ขนาด 150 - 250 ไมโครเมตร
ถ่านชาร์ที่ล้างสารอนินทรีย์แล้ว	DCBP	ถ่านชาร์บ้านปูที่ล้างสารอนินทรีย์แล้ว

ด้านหลังของอักษรย่อเหล่านี้บ่งบอกภาวะที่ทำการศึกษา เช่น

CBPS500 หมายถึง ถ่านชาร์ที่ได้จากการไฟฟ้าโอลส์ถ่านหินบ้านปูขนาด <75 ไมโครเมตร ที่อุณหภูมิ 500 องศาเซลเซียส
CBPS500,1,000 หมายถึง ถ่านชาร์จากถ่านหินบ้านปูขนาด <75 ไมโครเมตร ที่อุณหภูมิไฟฟ้าโอลส์ 500 องศาเซลเซียส และแกซิฟายที่อุณหภูมิ 1,000 องศาเซลเซียส

4.2. ผลการวิเคราะห์สมบัติต่างๆ ของถ่านหิน

4.2.1. ผลการวิเคราะห์ถ่านหินแบบประมาณ (Proximate Analysis)

4.2.1.1. ผลการวิเคราะห์แบบประมาณโดยวิธีมาตราฐาน ASTM D3172 - 3175

การวิเคราะห์แบบประมาณเป็นการวิเคราะห์ในขั้นแรกเพื่อศึกษาสมบัติของถ่านหินในงานวิจัย น้ำเชื้อถ่านหินจาก 2 แหล่ง คือ ถ่านหินบ้านบู แหล่งล๊ จังหวัดลำพูน และถ่านหินลำปาง แหล่งลำปาง จังหวัดลำปาง ซึ่งมีสมบัติแสดงดังตารางที่ 4.2

4.2.1.2. ผลการวิเคราะห์แบบประมาณโดยใช้เครื่องวิเคราะห์ทางความร้อน

ผลการวิเคราะห์แบบประมาณโดยใช้เครื่องวิเคราะห์ทางความร้อน แสดงในตารางที่ 4.3 ทั้งนี้ การวิเคราะห์ทางความร้อนเป็นเทคนิคใหม่ที่ได้รับความนิยมมาใช้แทนวิธีการวิเคราะห์แบบประมาณ ตามวิธีมาตราฐาน ASTM โดยใช้เครื่องมือ Thermo gravimetric analyzer (TGA) ซึ่งให้ความร้อนแก่ ถ่านหินตัวอย่าง จนกระทั่งน้ำหนักที่เปลี่ยนแปลงไปคงที่ภายใต้ภาวะที่กำหนด มีข้อดี คือ ใช้น้ำหนัก ตัวอย่างถ่านหินน้อยกว่าและเวลาในการทดสอบเร็วกว่าการวิเคราะห์ถ่านหินตามวิธีมาตราฐาน ASTM ปัจจัยที่มีผลต่อการวิเคราะห์โดยใช้เครื่องวิเคราะห์ทางความร้อน คือ อัตราการให้ความร้อน เวลาที่ให้ ความร้อนที่อุณหภูมิคงที่ และอุณหภูมิสุดท้าย ในกราฟลดลงนี้ได้ใช้วิธีลองผิด ลองถูก (trial and error) เพื่อหาภาวะที่เหมาะสมในการวิเคราะห์แบบประมาณของถ่านหิน โดยพิจารณา ผลการวิเคราะห์ที่ได้ให้อยู่ในช่วงความแตกต่างของการตรวจสอบต่างห้องปฏิบัติการตามมาตราฐาน ASTM ดังแสดงในภาคผนวก ข1 สำหรับโปรแกรมการวิเคราะห์แบบประมาณโดยใช้เครื่องวิเคราะห์ ทางความร้อนที่เหมาะสมที่ใช้ในงานวิจัยนี้ แสดงในตารางที่ 4.4

4.2.1.3. การเปรียบเทียบผลการวิเคราะห์แบบประมาณระหว่างวิธีมาตราฐาน ASTM กับ การใช้เครื่องวิเคราะห์ทางความร้อน

เมื่อเปรียบเทียบผลการวิเคราะห์แบบประมาณระหว่างวิธีมาตราฐาน ASTM กับการใช้เครื่อง วิเคราะห์ทางความร้อน ดังแสดงในตารางที่ 4.5 พบว่า ผลการวิเคราะห์มีความแตกต่างกันอยู่บ้าง แต่เมื่อเทียบกับความแตกต่างของกราฟทดสอบต่างห้องปฏิบัติการกัน พบร่วมกัน ความแตกต่างนี้อยู่ใน เกณฑ์ที่สามารถยอมรับได้ ยกเว้นร้อยละความซึ้นและร้อยละสาระเหยบงตัวอย่างแตกต่างกันมาก ทั้งนี้อาจเป็นเพราะว่าการวิเคราะห์ถ่านหินทั้งสองวิธีไม่ได้ทำในช่วงเวลาเดียวกันและในระหว่างนั้น ตัวอย่างถ่านหินที่เก็บไว้มีการเปลี่ยนแปลงความซึ้นและสาระเหยบง ถึงแม้จะเก็บไว้ในภาชนะที่มี ฝาปิดแน่นในหม้อดูดความซึ้นแล้วก็ตาม นอกจากนั้นการทดลองต่างห้องก็อาจมีผลมาจากความซึ้น ของบรรยาการที่แตกต่างกันในแต่ละวันอีกด้วย เพื่อพิจารณาขั้ดเจนซึ้นได้นำเสนอสมบัติต่างๆ มาคำนวณ โดยหักค่าความซึ้นและถ้าออก ดังแสดงตารางที่ 4.6 และ 4.7 พบว่า ค่าความแตกต่างของสมบัติ ดังกล่าวขั้ดเจนซึ้นและความแตกต่างนี้อยู่ในเกณฑ์ที่สามารถยอมรับได้ เนื่องจากการวิเคราะห์ แบบประมาณโดยใช้เครื่องวิเคราะห์ทางความร้อนใช้ตัวอย่างถ่านหินปริมาณน้อยและใช้เวลาวิเคราะห์ สั้น ตลอดจนให้ผลการวิเคราะห์ใกล้เคียงกับการวิเคราะห์ตามมาตราฐาน ASTM จึงเลือกนำมาใช้ใน งานวิจัยนี้

ตารางที่ 4.2 ผลการวิเคราะห์ถ่านหินบ้านปูและลำปางแบบประมาณตามวิธีมาตรฐาน ASTM D3172 - 3175

Sample	As received basis				Dry basis			Dry, ash - free basis	
	Moisture	Ash	Volatile Matter	Fixed Carbon	Ash	Volatile Matter	Fixed Carbon	Volatile Matter	Fixed Carbon
	(% w/w)	(% w/w)	(% w/w)	(% w/w)	(% w/w)	(% w/w)	(% w/w)	(% w/w)	(% w/w)
BP (ASTM)	3.77 ± 0.1	18.13 ± 0.09	38.07 ± 0.39	40.04 ± 0.36	18.84 ± 0.09	39.56 ± 0.4	41.6 ± 0.38	48.74 ± 0.5	51.26 ± 0.47
BPS	2.94 ± 0.57	15.37 ± 0.08	43.69 ± 0.14	38 ± 0.63	15.84 ± 0.08	45.01 ± 0.14	39.15 ± 0.65	53.48 ± 0.17	46.52 ± 0.78
BPL	3.54 ± 0.38	9.92 ± 0.05	41.61 ± 0.07	44.93 ± 0.38	10.28 ± 0.05	43.14 ± 0.07	46.58 ± 0.39	48.08 ± 0.08	51.92 ± 0.44
LP (ASTM)	2.29 ± 1.79	12.3 ± 0.06	40.6 ± 2.42	44.81 ± 0.71	12.59 ± 0.06	41.55 ± 2.48	45.86 ± 0.73	47.54 ± 2.83	52.46 ± 0.83
LPS	1.37 ± 0.13	10.41 ± 0.05	41.67 ± 0.1	46.55 ± 0.15	10.55 ± 0.05	42.25 ± 0.11	47.2 ± 0.15	47.23 ± 0.12	52.77 ± 0.17
LPL	3.69 ± 0.32	6.81 ± 0.23	43.25 ± 0.62	46.26 ± 1.14	7.07 ± 0.24	44.9 ± 0.64	48.03 ± 1.19	48.32 ± 0.69	51.68 ± 1.28

หมายเหตุ : ตามมาตรฐาน ASTM D3172 – 3175 กำหนดให้

Moisture มีค่า reproducibility เท่ากับ 0.3 - 0.5 % และ ค่า repeatability เท่ากับ 0.2 - 0.3 %

Volatile matter มีค่า reproducibility เท่ากับ 1.0 - 2.0 % และ ค่า repeatability เท่ากับ 0.5 - 1.0 %

Ash มีค่า reproducibility เท่ากับ 0.3 - 1.0 % และ ค่า repeatability เท่ากับ 0.2 - 0.5 %

ตารางที่ 4.3 ผลการวิเคราะห์ถ่านหินบ้านๆ และลำปางแบบประมาณ โดยใช้เครื่องวิเคราะห์ทางความร้อน

Sample	As received basis				Dry basis				Dry, ash - free basis	
	Moisture	Ash	Volatile Matter	Fixed Carbon	Ash	Volatile Matter	Fixed Carbon	Volatile Matter	Fixed Carbon	
	(% w/w)	(% w/w)	(% w/w)	(% w/w)	(% w/w)	(% w/w)	(% w/w)	(% w/w)	(% w/w)	
BP (ASTM)	7.41 ± 0.04	18.16 ± 0.06	36.92 ± 0.13	37.51 ± 0.15	19.61 ± 0.06	39.88 ± 0.13	40.51 ± 0.18	49.61 ± 0.19	50.39 ± 0.19	
BPS	7.05 ± 0.34	15.21 ± 0.01	38.65 ± 0.23	39.09 ± 0.09	16.36 ± 0.04	41.58 ± 0.1	42.06 ± 0.06	49.71 ± 0.09	50.29 ± 0.09	
BPL	6.91 ± 0.25	9.55 ± 0.41	38.85 ± 0.44	44.69 ± 0.21	10.26 ± 0.46	41.73 ± 0.36	48.01 ± 0.1	46.51 ± 0.16	53.49 ± 0.16	
LP (ASTM)	6.82 ± 0.5	12.77 ± 0.68	38.78 ± 0.24	41.63 ± 0.43	13.7 ± 0.66	41.62 ± 0.04	44.68 ± 0.7	48.22 ± 0.41	51.78 ± 0.41	
LPS	5.92 ± 0.25	9.69 ± 0.99	42.32 ± 0.79	42.06 ± 0.05	10.3 ± 1.02	44.99 ± 0.96	44.71 ± 0.06	50.15 ± 0.5	49.85 ± 0.5	
LPL	5.63 ± 0.16	6.98 ± 0.6	40.98 ± 0.04	46.42 ± 0.4	7.39 ± 0.62	43.42 ± 0.11	49.19 ± 0.51	46.89 ± 0.19	53.11 ± 0.19	

ตารางที่ 4.4 โปรแกรมการวิเคราะห์แบบประมาณโดยใช้เครื่องวิเคราะห์ทางความร้อน

Step	Start temperature	Limit temperature	Heating rate	Holding time	Gas
	(°C)	(°C)	(°C/min.)	(min.)	
1	30	130	20	15	N ₂
2	130	950	250	3	N ₂
3	950	750	110	45	Air

4.2.2. ผลการวิเคราะห์ถ่านหินแบบแยกธาตุ (Ultimate Analysis)

การวิเคราะห์แบบแยกธาตุเป็นการวิเคราะห์อย่างละเอียดโดยวิเคราะห์ธาตุสำคัญที่มีในถ่านหิน คือ คาร์บอน ไนโตรเจน ไฮโดรเจน กำมะถันและออกซิเจน จากผลการวิเคราะห์ด้วยเครื่อง CHNS/O analyzer ได้ผลการวิเคราะห์แสดงดังตารางที่ 4.8

ตารางที่ 4.5 การเปรียบเทียบผลการวิเคราะห์ถ่านหินบ้านปูและลำปางแบบประมาณ (ถ่านหินฝังแห้ง) ระหว่างวิธีมาตรฐาน ASTM กับการใช้เครื่องวิเคราะห์ทางความร้อน

Sample	ASTM D3172 - 3175				thermogravimetric (TGA)				Difference			
	Moisture (% w/w)	Ash (% w/w)	Volatile Matter (% w/w)	Fixed Carbon (% w/w)	Moisture (% w/w)	Ash (% w/w)	Volatile Matter (% w/w)	Fixed Carbon (% w/w)	Moisture (% w/w)	Ash (% w/w)	Volatile Matter (% w/w)	Fixed Carbon (% w/w)
	BP (ASTM)	3.77 ± 0.1	18.13 ± 0.09	38.07 ± 0.39	40.04 ± 0.36	7.41 ± 0.04	18.16 ± 0.06	36.92 ± 0.13	37.51 ± 0.15	-3.64	-0.03	1.15
BPS	2.94 ± 0.57	15.37 ± 0.08	43.69 ± 0.14	38 ± 0.63	7.05 ± 0.34	15.21 ± 0.01	38.65 ± 0.23	39.09 ± 0.09	-4.11	0.17	5.04	-1.09
BPL	3.54 ± 0.38	9.92 ± 0.05	41.61 ± 0.07	44.93 ± 0.38	6.91 ± 0.25	9.55 ± 0.41	38.85 ± 0.44	44.69 ± 0.21	-3.37	0.37	2.76	0.24
LP (ASTM)	2.29 ± 1.79	12.3 ± 0.06	40.6 ± 2.42	44.81 ± 0.71	6.82 ± 0.5	12.77 ± 0.68	38.78 ± 0.24	41.63 ± 0.43	-4.53	-0.47	1.83	3.18
LPS	1.37 ± 0.13	10.41 ± 0.05	41.67 ± 0.1	46.55 ± 0.15	5.92 ± 0.25	9.69 ± 0.99	42.32 ± 0.79	42.06 ± 0.05	-4.55	0.71	-0.65	4.49
LPL	3.69 ± 0.32	6.81 ± 0.23	43.25 ± 0.62	46.26 ± 1.14	5.63 ± 0.16	6.98 ± 0.6	40.98 ± 0.04	46.42 ± 0.4	-1.94	-0.16	2.27	-0.16

ตารางที่ 4.6 การเปรียบเทียบผลการวิเคราะห์ถ่านหินบ้านปูและลำปางแบบประมาณ (ถ่านหินแท้) ระหว่างวิธีมาตรฐาน ASTM กับการใช้เครื่องวิเคราะห์ทางความร้อน

Sample	ASTM D3172 - 3175			thermogravimetric (TGA)			Difference		
	Ash	Volatile Matter	Fixed Carbon	Ash	Volatile Matter	Fixed Carbon	Ash	Volatile Matter	Fixed Carbon
	(% w/w)	(% w/w)	(% w/w)	(% w/w)	(% w/w)	(% w/w)	(% w/w)	(% w/w)	(% w/w)
BP (ASTM)	18.84 ± 0.09	39.56 ± 0.4	41.6 ± 0.38	19.61 ± 0.06	39.88 ± 0.13	40.51 ± 0.18	-0.77	-0.32	1.09
BPS	15.84 ± 0.08	45.01 ± 0.14	39.15 ± 0.65	16.36 ± 0.04	41.58 ± 0.1	42.06 ± 0.06	-0.52	3.43	-2.91
BPL	10.28 ± 0.05	43.14 ± 0.07	46.58 ± 0.39	10.26 ± 0.46	41.73 ± 0.36	48.01 ± 0.1	0.02	1.41	-1.43
LP (ASTM)	12.59 ± 0.06	41.55 ± 2.48	45.86 ± 0.73	13.7 ± 0.66	41.62 ± 0.04	44.68 ± 0.7	-1.12	-0.06	1.18
LPS	10.55 ± 0.05	42.25 ± 0.11	47.2 ± 0.15	10.3 ± 1.02	44.99 ± 0.96	44.71 ± 0.06	0.25	-2.74	2.49
LPL	7.07 ± 0.24	44.9 ± 0.64	48.03 ± 1.19	7.39 ± 0.62	43.42 ± 0.11	49.19 ± 0.51	-0.32	1.48	-1.16

ตารางที่ 4.7 การเปรียบเทียบผลการวิเคราะห์ถ่านหินบ้านปูและลำปางแบบประมาณ
(ถ่านหินแห้ง, ไม่รวมเด็ก) ระหว่างวิธีมาตรฐาน ASTM กับการใช้เครื่องวิเคราะห์ทางความร้อน

Sample	ASTM D3172 - 3175		thermogravimetric (TGA)		Difference	
	Volatile Matter	Fixed Carbon	Volatile Matter	Fixed Carbon	Volatile Matter	Fixed Carbon
	(% w/w)	(% w/w)	(% w/w)	(% w/w)	(% w/w)	(% w/w)
BP(ASTM)	48.74 ± 0.5	51.26 ± 0.47	49.61 ± 0.19	50.39 ± 0.19	-0.87	0.87
BPS	53.48 ± 0.17	46.52 ± 0.78	49.71 ± 0.09	50.29 ± 0.09	3.77	-3.77
BPL	48.08 ± 0.08	51.92 ± 0.44	46.51 ± 0.16	53.49 ± 0.16	1.58	-1.58
LP(ASTM)	47.54 ± 2.83	52.46 ± 0.83	48.22 ± 0.41	51.78 ± 0.41	-0.69	0.69
LPS	47.23 ± 0.12	52.77 ± 0.17	50.15 ± 0.5	49.85 ± 0.5	-2.92	2.92
LPL	48.32 ± 0.69	51.68 ± 1.28	46.89 ± 0.19	53.11 ± 0.19	1.43	-1.43

ตารางที่ 4.8 ผลการวิเคราะห์ถ่านหินบ้านปูและลำปางแบบแยกธาตุ (ถ่านหินแห้ง)

Sample	Carbon	Hydrogen	Nitrogen	Sulfur	Oxygen	Ash	Total
	(% w/w)	(% w/w)	(% w/w)	(% w/w)	(% w/w)	(% w/w)	
BP (ASTM)	42.75	4.37	0.66	2.54	30.84	18.84	100.00
LP (ASTM)	48.40	4.68	0.57	1.85	31.91	12.59	100.00

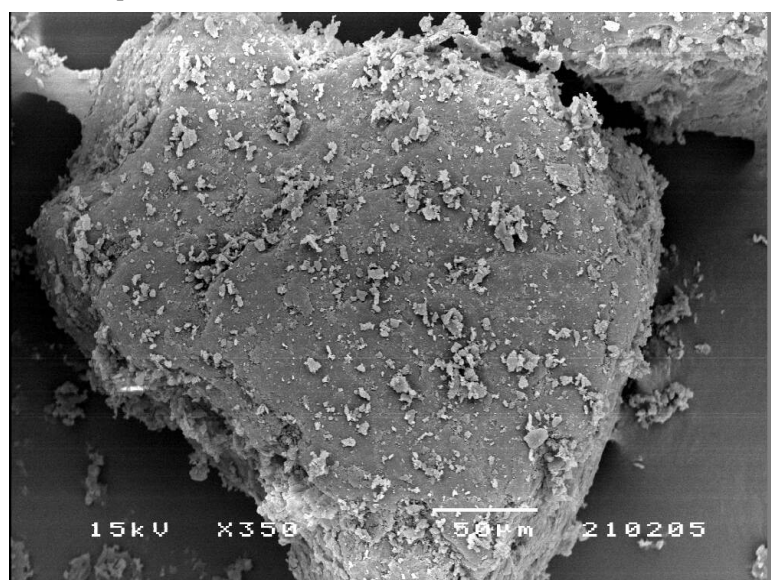
4.2.3. ผลการวิเคราะห์ปริมาณกำมะถันและค่าความร้อน (% Sulfur and Heating Value)

ค่าความร้อนของถ่านหินเป็นสมบัติที่สำคัญที่สุดของเชื้อเพลิง ซึ่งได้จากการทดลองในบอมบ์แคลดอร์มิเตอร์ (Bomb Calorimeter) และปริมาณกำมะถันก็เช่นเดียวกัน พบว่า ถ่านหินแห้งลี (ถ่านหินแห้ง) มีกำมะถันร้อยละ 2.44 และค่าความร้อน 4,581 กิโลแคลลอรีต่อ กิโลกรัม สำหรับถ่านหินแห้งลำปาง (ถ่านหินแห้ง) มีค่าความร้อน 5,309 กิโลแคลลอรีต่อ กิโลกรัม และกำมะถันร้อยละ 1.81 เมื่อคำนวนหักปริมาณแร่ธาตุเพื่อเทียบศักดิ์ของถ่านหินตามข้อกำหนดมาตรฐาน ASTM D388 แล้ว พบว่า ถ่านหินแห้งลี มีค่าความร้อน 5,709 กิโลแคลลอรีต่อ กิโลกรัมของถ่านหินรวมความชื้น ปราศจากแร่ธาตุ ซึ่งสามารถเทียบได้เป็นศักดิ์ลิกไนต์ เอ และถ่านหินแห้งลำปาง มีค่าความร้อน 6,192 กิโลแคลลอรีต่อ กิโลกรัมของถ่านหินรวมความชื้นปราศจากแร่ธาตุเทียบได้เป็นศักดิ์ซับบิทูมิเนส บี

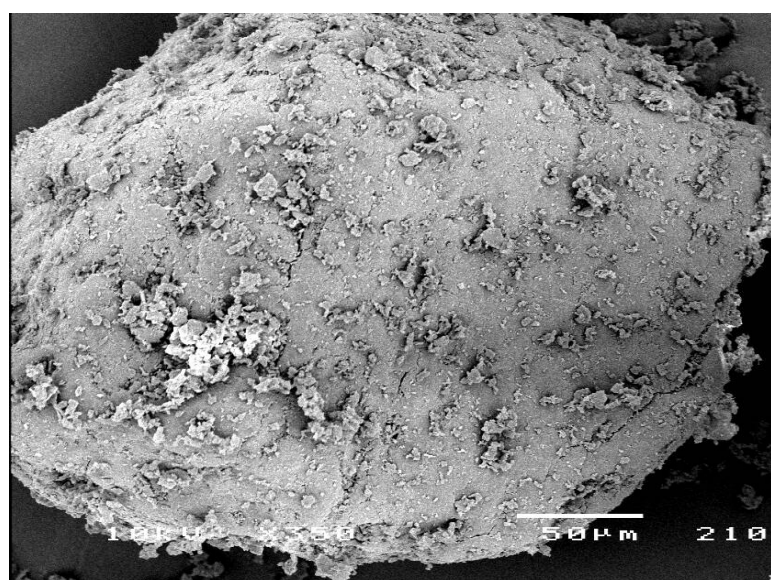
4.2.4. ผลการวิเคราะห์ปริมาณพื้นที่ผิวจำเพาะด้วยวิธี BET

ผลการวิเคราะห์ปริมาณพื้นที่ผิวจำเพาะของถ่านหินแหล่งลี้ (BP) และถ่านหินแหล่งลำปาง (LP) มีค่าเท่ากับ 17.26 และ 25 ตารางเมตรต่อกรัม ตามลำดับ

4.2.5. ผลการวิเคราะห์ลักษณะโครงสร้างภายในของถ่านหินแหล่งลี้ (BP) และถ่านหินแหล่งลำปาง (LP) ด้วยเครื่อง SEM แสดงดังรูปที่ 4.1



ก ถ่านหินบ้านนุ่ง แหล่งลี้ (BP)



ข ถ่านหินลำปาง แหล่งลำปาง (LP)

รูปที่ 4.1 ลักษณะพื้นผิวของถ่านหิน

4.2.6. ผลการวิเคราะห์ปริมาณสารอนินทรีย์ในถ้าถ่านหิน

ผลการวิเคราะห์ปริมาณสารอนินทรีย์ในถ้าถ่านหินบ้านปู แหล่งลี๊ (BP) และถ่านหินลำปาง แหล่งลำปาง (LP) ด้วยเทคนิค X-ray fluorescence spectrometry (XRF) แสดงในตารางที่ 4.9

ตารางที่ 4.9 ผลการวิเคราะห์ปริมาณสารอนินทรีย์ในถ้าถ่านหินด้วยเทคนิค XRF

Basis: 100 g of ash.

Elemental Oxide	Mwt	Ash composition (%wt)		Ash composition (mole)	
		BP	LP	BP	LP
Na ₂ O	62	0.81	0.79	0.013	0.013
MgO	40.3	2.67	2.28	0.043	0.037
Al ₂ O ₃	102	21.11	20.05	0.340	0.323
SiO ₂	60.1	35.72	38.03	0.576	0.613
P ₂ O ₅	142	0.06	0.03	0.001	0.001
SO ₃	80.1	14.85	13.84	0.240	0.223
K ₂ O	94.2	1.17	1.58	0.019	0.025
CaO	56.1	7.69	7.17	0.124	0.116
TiO ₂	79.9	0.34	0.32	0.006	0.005
Fe ₂ O ₃	160	15.19	15.43	0.245	0.249
Total		99.60	99.50		

จากตารางที่ 4.9 พบว่า ถ้าถ่านหินทั้งสองแหล่งส่วนใหญ่มีสารอนินทรีย์จำกัด Al₂O₃, SiO₂, SO₃, CaO และ Fe₂O₃ เป็นองค์ประกอบ เมื่อพิจารณาเปรียบเทียบปริมาณสารอนินทรีย์ที่เป็นองค์ประกอบในถ่านหินทั้งสองแหล่ง จึงคำนวณเทียบปริมาณสารอนินทรีย์ในถ่านหิน 100 กรัมเท่ากัน แสดงดังตารางที่ 4.10 พบว่า ถ่านหินบ้านปูซึ่งเป็นถ่านหินศักดิ์ต่ำกว่าและมีปริมาณสารอนินทรีย์เป็นองค์ประกอบมากกว่าถ่านหินลำปาง

ตารางที่ 4.10 ผลการวิเคราะห์ปริมาณสารอินทรีย์ในถ่านหินด้วยเทคนิค XRF

Basis: 100 g of coal.

Elemental Oxide	Mwt	Ash composition (%wt)		Ash composition (mole)	
		BP	LP	BP	LP
Na ₂ O	62	0.153	0.099	0.002	0.002
MgO	40.3	0.503	0.287	0.008	0.005
Al ₂ O ₃	102	3.976	2.524	0.064	0.041
SiO ₂	60.1	6.728	4.787	0.109	0.077
P ₂ O ₅	142	0.011	0.004	0.000	0.000
SO ₃	80.1	2.797	1.742	0.045	0.028
K ₂ O	94.2	0.221	0.198	0.004	0.003
CaO	56.1	1.448	0.903	0.023	0.015
TiO ₂	79.9	0.065	0.040	0.001	0.001
Fe ₂ O ₃	160	2.861	1.942	0.046	0.031
Total		18.761	12.525		

4.2.7. เปรียบเทียบสมบัติของถ่านหินบ้านปูระห่วงถ่านหินที่ผ่านการล้างและไม่ล้างสารอินทรีย์

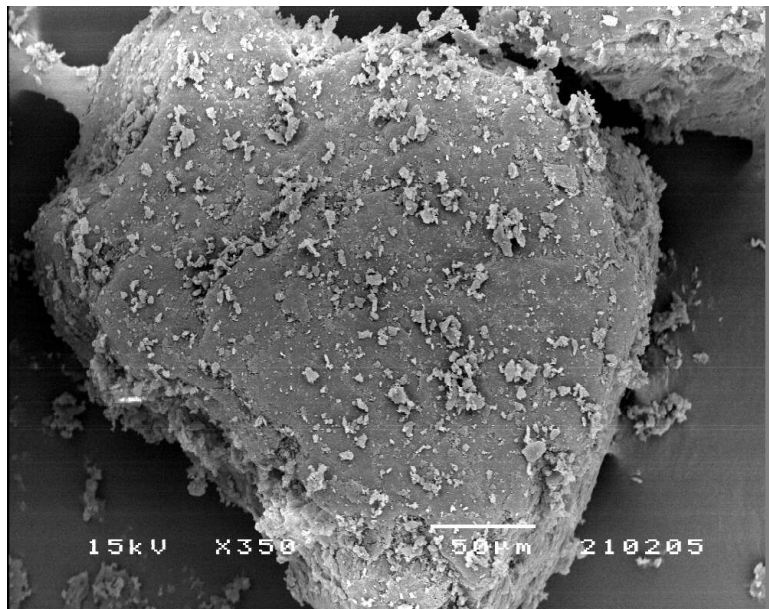
เพื่อให้เห็นถึงความแตกต่างของการล้างสารอินทรีย์ที่เป็นองค์ประกอบในถ่านหินอย่างชัดเจน จึงนำเฉพาะถ่านหินบ้านปูระห่วงขนาด 150 - 250 ไมโครเมตรมาล้างสารอินทรีย์ด้วยสารละลายกรดไฮโดรคลอริก และผลการเปรียบเทียบสมบัติของถ่านหินบ้านปูระห่วงขนาด 150 - 250 ไมโครเมตร ระหว่างถ่านหินที่ผ่านการล้างและไม่ล้างสารอินทรีย์แสดงในตารางที่ 4.11 พบว่า เมื่อล้างสารอินทรีย์ในถ่านหินด้วยกรดไฮโดรคลอริกตามวิธีดังกล่าวสามารถลดปริมาณถ่านหินได้โดยไอกอนของไฮโดรเจนในกรดไฮโดรคลอริกเข้าแทนที่ประจุบวกซึ่งเป็นสารอินทรีย์ในถ่านหินและสามารถลดลงถึงร้อยละ 53.82 และรูปที่ 4.2 แสดงลักษณะพื้นผิวของถ่านหินบ้านปูระห่วงขนาด 150 - 250 ไมโครเมตร ที่ผ่านการล้างและไม่ล้างสารอินทรีย์ พบร่วมกับรูปที่ 4.2 แสดงลักษณะพื้นผิวของถ่านหินบ้านปูระห่วงขนาด 150 - 250 ไมโครเมตร ที่ผ่านการล้างและไม่ล้างสารอินทรีย์ พบว่า พื้นผิวภายนอกของถ่านหินบ้านปูระห่วงที่ผ่านการล้างสารอินทรีย์มีลักษณะเรียบกว่าและไม่มีสารอินทรีย์เกาะที่พื้นผิวมากเท่ากับของถ่านหินบ้านปูระห่วงที่ไม่ผ่านการล้างสารอินทรีย์

ตารางที่ 4.11 ผลการเปรียบเทียบสมบัติของถ่านหินบ้านปูระหว่างถ่านหินที่ผ่านการล้างและไม่ล้างสารอนินทรี

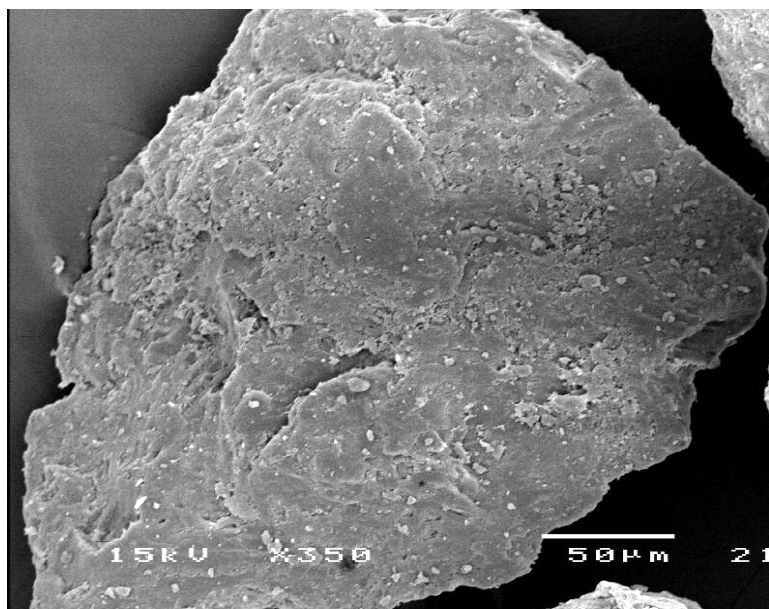
	BP	DBP
Proximate analysis (wt% dry basis)		
Ash	18.84	8.70
Volatile matter	39.56	42.97
Fixed carbon	41.60	48.33
Total	100.00	100.00
Q_v (MJ/kg)	29.10	N/D
Ultimate analysis (wt% dry basis)		
C	42.75	51.23
H	4.37	4.04
N	0.66	0.89
S	2.54	35.14*
O	30.84	
Ash	18.84	8.70
Total	100.00	100.00
Ash composition (%wt dry basis)		
Na_2O	0.81	0.18
MgO	2.67	0.82
Al_2O_3	21.11	28.72
SiO_2	35.72	56.38
P_2O_5	0.06	0.04
SO_3	14.85	0.22
K_2O	1.17	1.79
CaO	7.69	0.28
TiO_2	0.34	0.44
Fe_2O_3	15.19	10.99
Total	99.60	99.86

N/D is not determined

* Sulfur and Oxygen



ก ถ่านหินบ้านปูที่ไม่ผ่านการล้างสารอนินทรีย์



ข ถ่านหินบ้านปูที่ผ่านการล้างสารอนินทรีย์

รูปที่ 4.2 ลักษณะพื้นผิวของถ่านหินบ้านปูขนาด 150 - 250 ไมโครเมตร

4.3. ผลการวิเคราะห์สมบัติต่างๆ ของถ่านชาร์

4.3.1. ผลการวิเคราะห์ถ่านชาร์แบบประมาณ (Proximate Analysis) โดยเทคนิคทางความร้อน

ผลการวิเคราะห์แบบประมาณของถ่านชาร์บ้านปูและลำปางที่ผ่านการไฟโรไลส์ถ่านหินที่อุณหภูมิต่างๆ แสดงในตารางที่ 4.12

4.3.2. ผลการวิเคราะห์ถ่านชาร์แบบแยกธาตุ (Ultimate Analysis)

ผลการวิเคราะห์แบบแยกธาตุของถ่านชาร์บ้านปูและลำปางที่ผ่านการไฟโรไลส์ถ่านหินที่อุณหภูมิต่างๆ แสดงในตารางที่ 4.13

4.3.3. ผลการวิเคราะห์ปริมาณฟืนที่ผิวจำเพาะด้วยวิธี BET

ผลการวิเคราะห์ปริมาณฟืนที่ผิวจำเพาะของถ่านชาร์บ้านปูและลำปางที่ผ่านการไฟโรไลส์ถ่านหินที่อุณหภูมิต่างๆ แสดงในตารางที่ 4.14

4.3.4. ผลการวิเคราะห์ลักษณะโครงสร้างภายในอกของถ่านชาร์

ผลการวิเคราะห์ลักษณะโครงสร้างภายในอกของถ่านชาร์บ้านปูและลำปางที่ผ่านการไฟโรไลส์ถ่านหินที่อุณหภูมิต่างๆ ด้วยเครื่อง SEM แสดงดังรูปที่ 4.3 - 4.4

4.4. ผลการแกซifyถ่านชาร์

นำถ่านชาร์ที่สังเคราะห์จากการไฟโรไลส์ถ่านหินบ้านปูและลำปาง ขนาด <75 และ $150 - 250$ ไมโครเมตร ที่อุณหภูมิ $500, 700$ และ 900 องศาเซลเซียส รวมเหล่งละ 36 ตัวอย่างมาทำปฏิกิริยาแกซifyโดยกําช��าร์บอนไดออกไซด์ที่อุณหภูมิ $900, 1,000$ และ $1,100$ องศาเซลเซียส และเก็บผลิตภัณฑ์กําชที่เวลาต่างๆ จากนั้นวิเคราะห์ผลิตภัณฑ์กําชที่ได้ด้วยเครื่องแก๊สโครมาโทกราฟโดยมีสมมติฐานว่าเกิดปฏิกิริยานูดูอาร์ดเพียงปฏิกิริยาเดียวและเกิดผลิตภัณฑ์เป็นกําชคาร์บอนมอนอกไซด์เพียงชนิดเดียวดังแสดงในสมการที่ 4.1 ซึ่งสามารถยืนยันได้ด้วยตัวอย่างโครมาโทแกรมจากการวิเคราะห์กําชที่ออกจากเครื่องปฏิกรณ์ดังแสดงในภาคผนวก ค1.1.



จากความสัมพันธ์ระหว่างปริมาณกําชคาร์บอนมอนอกไซด์ที่เกิดขึ้นกับเวลา สามารถนำมาคำนวณหาค่าร้อยละการเปลี่ยน (% conversion) ของถ่านชาร์ได้ดังแสดงต่อไปนี้การคำนวณในภาคผนวก ค2.

4.4.1. อิทธิพลของอุณหภูมิไฟโรไลส์ต่ออัตราการแกซifyถ่านชาร์

อุณหภูมิที่ใช้ไฟโรไลส์ถ่านหินแตกต่างกันจะส่งผลให้ถ่านชาร์ที่ได้มีสมบัติแตกต่างกันดังแสดงในตารางที่ 4.12 - 4.14 ซึ่งส่งผลโดยตรงต่ออัตราการแกซifyถ่านชาร์บ้านปูและลำปางที่อุณหภูมิต่างๆ ดังแสดงในรูปที่ 4.5 - 4.7 และ 4.8 - 4.10 ตามลำดับ พบว่า อัตราการแกซifyถ่านชาร์ แปรผันกับอุณหภูมิไฟโรไลส์ที่ใช้สังเคราะห์ถ่านชาร์ โดยถ่านชาร์ที่ได้จากอุณหภูมิไฟโรไลส์ 500 องศาเซลเซียส จะถูกแกซifyด้วยอัตราที่เร็วกว่าถ่านชาร์ที่ได้จากอุณหภูมิไฟโรไลส์ 700 และ 900 องศาเซลเซียส ตามลำดับ และอัตราการแกซifyถ่านชาร์จะสูงขึ้นแปรผันตามอุณหภูมิแกซifyที่เพิ่มสูงขึ้นจาก $900 - 1,100$ องศาเซลเซียส

ตารางที่ 4.12 แสดงผลการวิเคราะห์ถ่าน化าร์แบบประมาณ

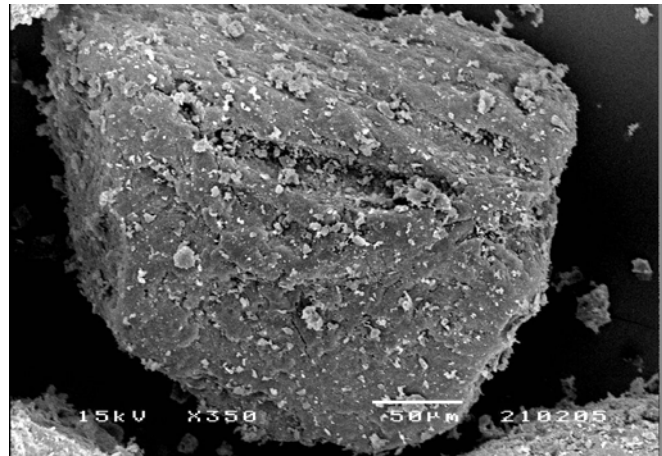
Sample	As received basis				Dry basis			Dry, ash - free basis	
	Moisture (% w/w)	Ash (% w/w)	Volatile Matter (% w/w)	Fixed Carbon (% w/w)	Ash (% w/w)	Volatile Matter (% w/w)	Fixed Carbon (% w/w)	Volatile Matter (% w/w)	Fixed Carbon (% w/w)
	CBPS500	2.97 ± 0.19	15.85 ± 1.49	34.56 ± 0.15	46.63 ± 1.52	16.33 ± 1.57	35.62 ± 0.09	48.05 ± 1.48	42.58 ± 0.69
CBPS700	3.56 ± 0.26	20.01 ± 0.3	24.07 ± 3.24	52.35 ± 2.68	20.75 ± 0.36	24.96 ± 3.29	54.29 ± 2.93	31.49 ± 4.01	68.51 ± 4.01
CBPS900	2.91 ± 0.1	22.16 ± 0.36	18.12 ± 0.66	56.81 ± 0.4	22.82 ± 0.35	18.66 ± 0.7	58.52 ± 0.35	24.17 ± 0.79	75.83 ± 0.79
CBPL500	3.92 ± 0.78	8.35 ± 0.58	40.29 ± 0.69	47.44 ± 0.67	8.7 ± 0.68	41.93 ± 0.38	49.37 ± 0.3	45.92 ± 0.08	54.08 ± 0.08
CBPL700	3.46 ± 1.02	12.95 ± 2.11	27.89 ± 6.17	55.7 ± 3.03	13.43 ± 2.33	28.85 ± 6.09	57.72 ± 3.75	33.25 ± 6.13	66.75 ± 6.13
CBPL900	2.22 ± 0.18	14.81 ± 0.07	20.14 ± 0.5	62.83 ± 0.25	15.14 ± 0.1	20.6 ± 0.47	64.26 ± 0.37	24.27 ± 0.52	75.73 ± 0.52
CLPS500	3.91 ± 0.94	11.79 ± 0.6	34.94 ± 0.99	49.35 ± 0.65	12.27 ± 0.5	36.36 ± 0.68	51.37 ± 1.18	41.45 ± 1.01	58.55 ± 1.01
CLPS700	4.14 ± 0.37	12.63 ± 0.48	27.38 ± 4.28	55.85 ± 4.39	13.17 ± 0.45	28.55 ± 4.36	58.28 ± 4.8	32.89 ± 5.19	67.11 ± 5.19
CLPS900	3.6 ± 0.58	14.43 ± 0.65	19.17 ± 0.9	62.8 ± 0.34	14.97 ± 0.77	19.89 ± 0.81	65.14 ± 0.04	23.38 ± 0.74	76.62 ± 0.74
CLPL500	4.33 ± 1.82	6.08 ± 1.96	41.67 ± 0.98	47.91 ± 0.85	6.34 ± 1.92	43.58 ± 1.86	50.08 ± 0.07	46.52 ± 1.03	53.48 ± 1.03
CLPL700	3.01 ± 0.19	6.19 ± 1.11	34.26 ± 1.28	56.54 ± 0.36	6.38 ± 1.13	35.32 ± 1.39	58.29 ± 0.25	37.72 ± 1.02	62.28 ± 1.02
CLPL900	3.33 ± 0.3	10.04 ± 2.45	19.83 ± 0.68	66.8 ± 2.07	10.39 ± 2.57	20.51 ± 0.64	69.1 ± 1.93	22.89 ± 0.06	77.11 ± 0.06

ตารางที่ 4.13 ผลการวิเคราะห์ถ่านชาร์แบบแยกธาตุ (ถ่านชาร์แห้ง)

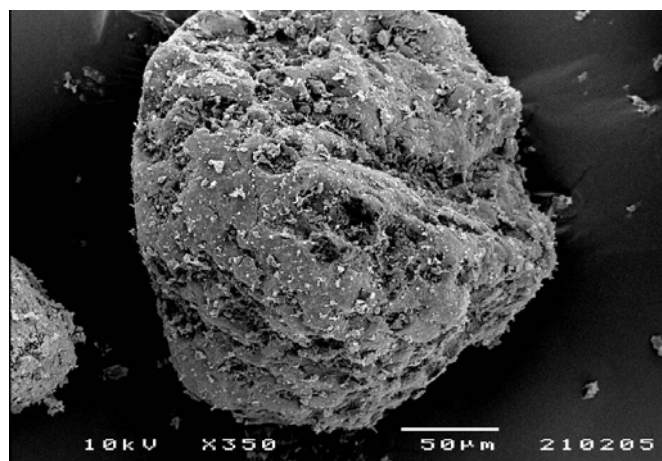
Sample	Carbon (% w/w)	Hydrogen (% w/w)	Nitrogen (% w/w)	Sulfur+Oxygen (% w/w)	Ash (% w/w)
CBPS500	48.75 ± 1.43	2.25 ± 0.06	0.85 ± 0.04	31.81 ± 0.11	16.33 ± 1.57
CBPS700	49.36 ± 1.02	1.88 ± 0.03	0.77 ± 0	27.23 ± 0.62	20.75 ± 0.36
CBPS900	49.94 ± 0.35	1.03 ± 0.44	0.82 ± 0.01	25.35 ± 0.2	22.86 ± 0.29
CBPL500	53.53 ± 0.88	4.56 ± 0.06	0.87 ± 0.04	32.34 ± 0.3	8.7 ± 0.68
CBPL700	57.37 ± 0.63	3.42 ± 0.01	0.71 ± 0.22	25.07 ± 1.5	13.43 ± 2.33
CBPL900	54.57 ± 0.46	2.42 ± 0.37	1.07 ± 0.07	26.8 ± 0.86	15.14 ± 0.1
CLPS500	55.45 ± 0.69	2.91 ± 0.01	1.1 ± 0.24	28.27 ± 0.05	12.27 ± 0.5
CLPS700	58.66 ± 0.37	2.59 ± 0.25	0.85 ± 0.02	24.73 ± 0.16	13.17 ± 0.45
CLPS900	59.51 ± 1.41	1.04 ± 0.39	1.09 ± 0.15	23.39 ± 0.41	14.97 ± 0.77
CLPL500	57.88 ± 0.81	4.92 ± 0.93	0.99 ± 0.15	29.88 ± 0.03	6.34 ± 1.92
CLPL700	64.43 ± 0.73	3.4 ± 0.12	0.72 ± 0.04	25.06 ± 0.24	6.38 ± 1.13
CLPL900	61.7 ± 2.01	2.41 ± 0.16	1.2 ± 0.01	24.29 ± 0.4	10.39 ± 2.57

ตารางที่ 4.14 ผลการวิเคราะห์ปริมาณพื้นที่ผิวจำเพาะของถ่านชาร์

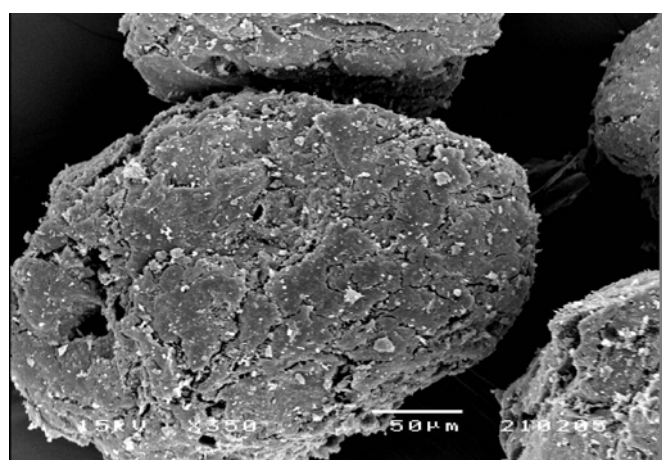
Sample	Particle size (μm)	Pyrolysis temperature (°C)	Specific surface area (m^2/g)
CBP	< 75	500	14.09 ± 12.67
		700	270.55 ± 0
		900	171.94 ± 141.65
CBP	150 - 250	500	33.93 ± 13.6
		700	294.74 ± 0
		900	213.78 ± 24.15
CLP	< 75	500	96.78 ± 13.31
		700	263.06 ± 0
		900	276.79 ± 1.34
CLP	150 - 250	500	36.41 ± 7.82
		700	227.47 ± 0
		900	210.81 ± 29.12



ก อุณหภูมิไฟโรไลส์ 500 องศาเซลเซียส

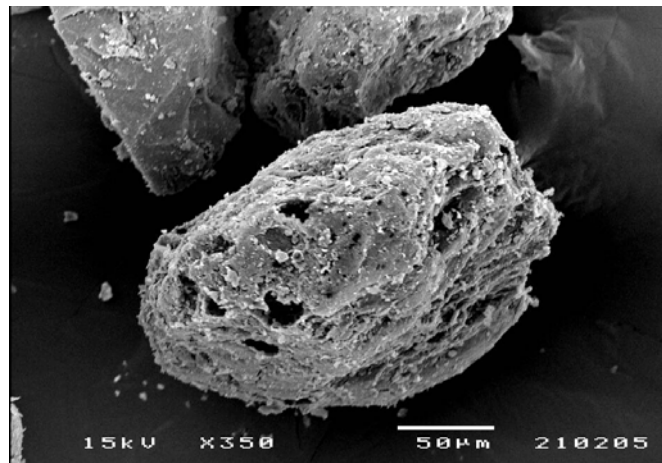


ข อุณหภูมิไฟโรไลส์ 700 องศาเซลเซียส

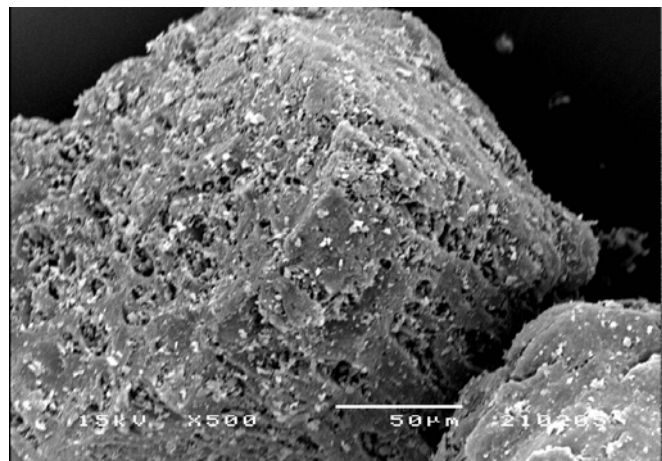


ค อุณหภูมิไฟโรไลส์ 900 องศาเซลเซียส

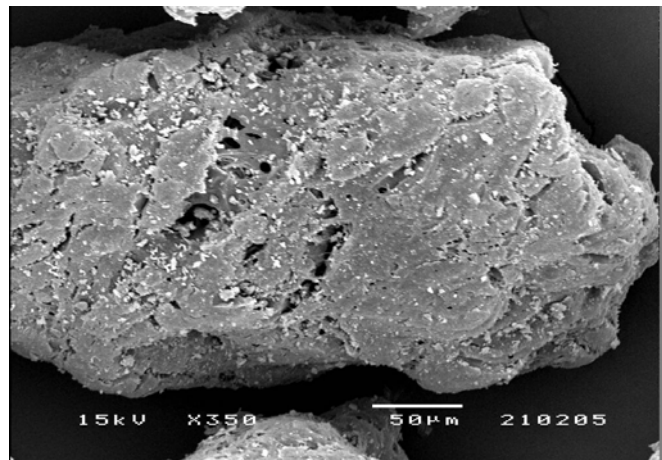
รูปที่ 4.3 ลักษณะพื้นผิวของถ่านcharบ้านปูขนาด 150 - 250 ไมโครเมตร ที่อุณหภูมิไฟโรไลส์ต่างๆ



ก อุณหภูมิโพลีเอล์ส 500 องศาเซลเซียส

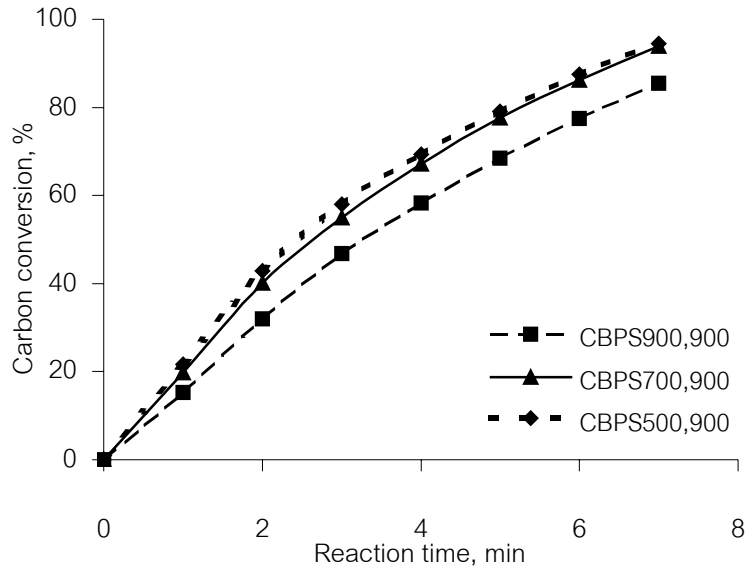


ข อุณหภูมิโพลีเอล์ส 700 องศาเซลเซียส

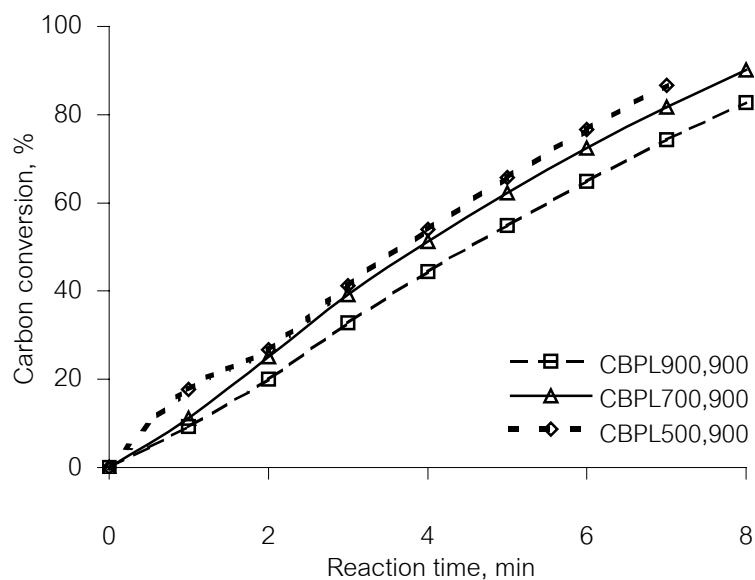


ค อุณหภูมิโพลีเอล์ส 900 องศาเซลเซียส

รูปที่ 4.4 ลักษณะพื้นผิวของถ่านชาร์ต์สำหรับขนาด 150 - 250 ไมโครเมตร ที่อุณหภูมิโพลีเอล์สต่างๆ

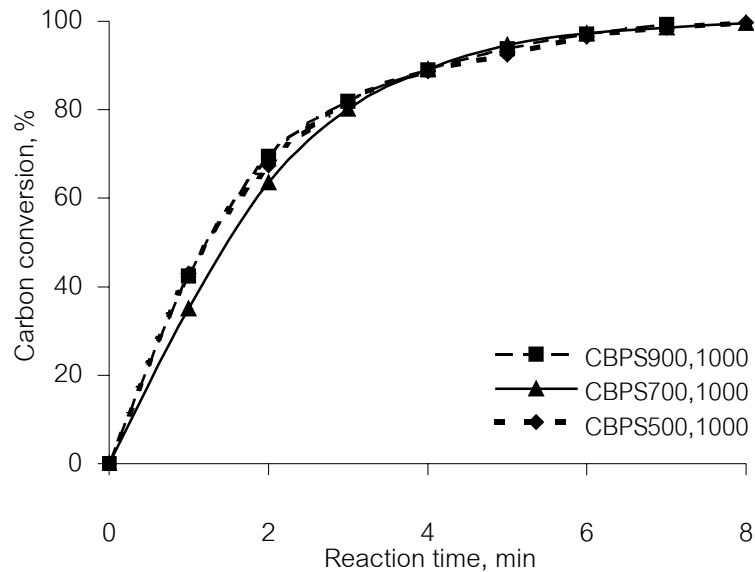


ก ถ่านชาร์บขนาด <75 ไมโครเมตร

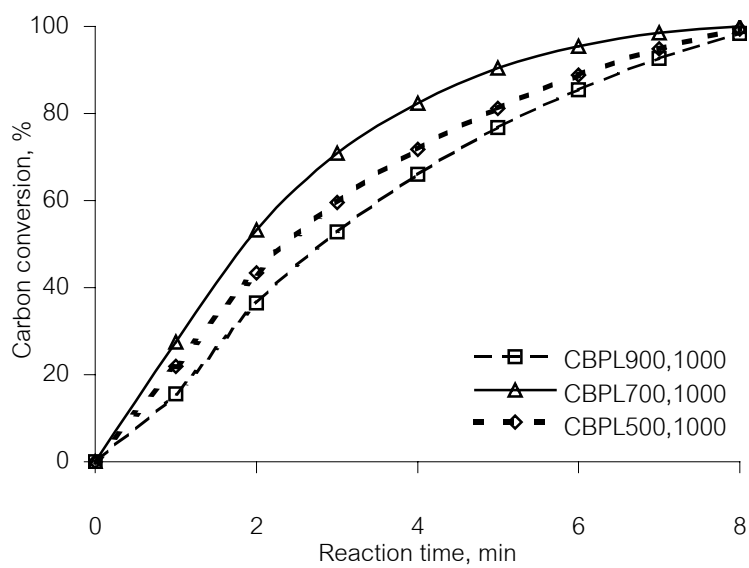


ข ถ่านชาร์บขนาด 150 - 250 ไมโครเมตร

รูปที่ 4.5 ความสัมพันธ์ระหว่างร้อยละการเปลี่ยนของถ่านชาร์บ้านปู กับเวลา ที่อุณหภูมิไโพโรไลส์ต่างๆ และอุณหภูมิแกซิฟาย 900 องศาเซลเซียส

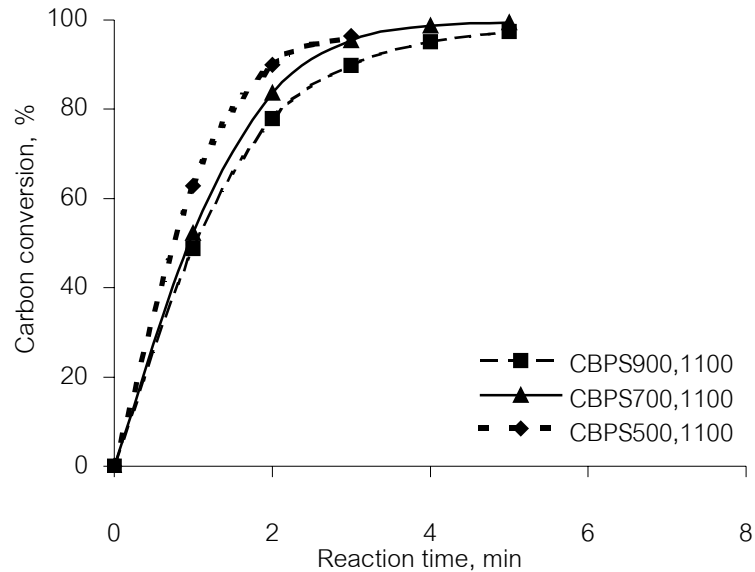


ก ถ่านชาร์ชนาด <75 ไมโครเมตร

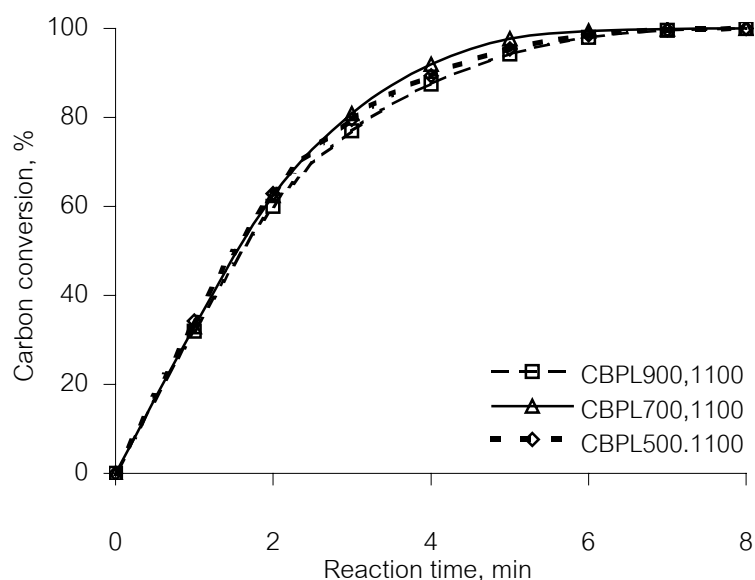


ฯ ถ่านชาร์ชนาด 150 - 250 ไมโครเมตร

รูปที่ 4.6 ความสัมพันธ์ระหว่างร้อยละการเปลี่ยนของถ่านชาร์ชบ้านปูกับเวลา ที่อุณหภูมิไฟโรไลส์ต่างๆ และอุณหภูมิแก๊สฟาย 1,000 องศาเซลเซียส

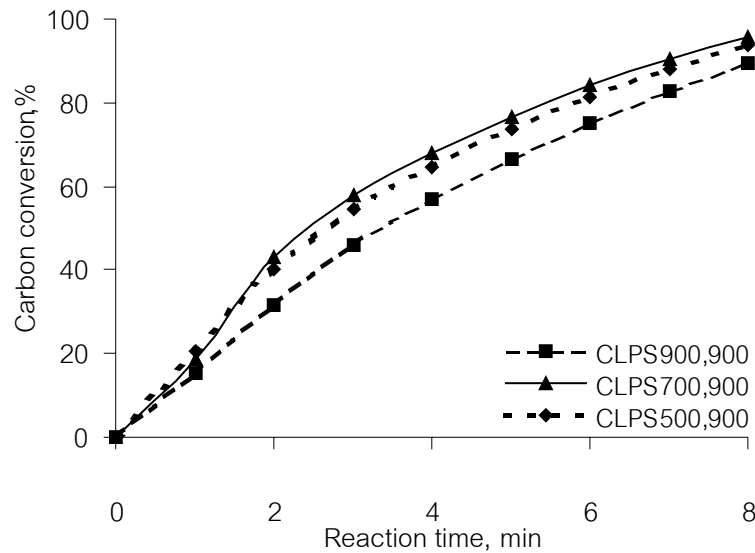


ก ถ่านชาร์ชนาด <75 ไมโครเมตร

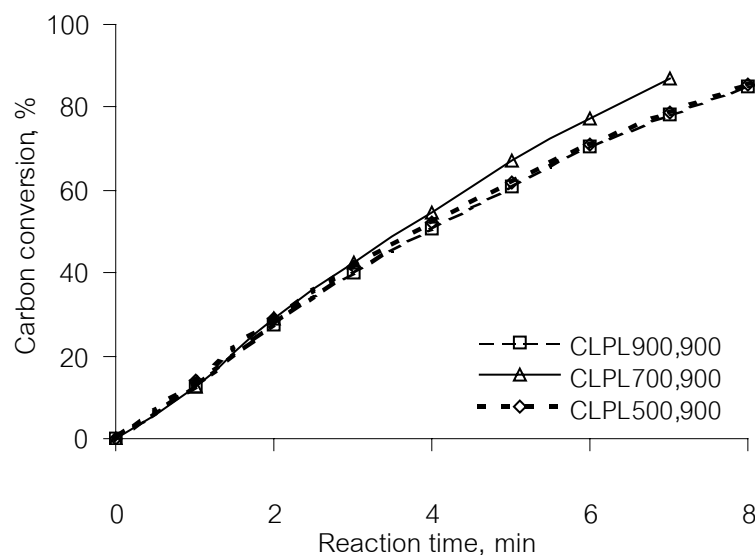


ข ถ่านชาร์ชนาด 150 - 250 ไมโครเมตร

รูปที่ 4.7 ความสัมพันธ์ระหว่างร้อยละการเปลี่ยนของถ่านชาร์ชนานาปุ่กับเวลา ที่อุณหภูมิไฟโรไลส์ต่างๆ และอุณหภูมิแกซิฟาย 1,100 องศาเซลเซียส

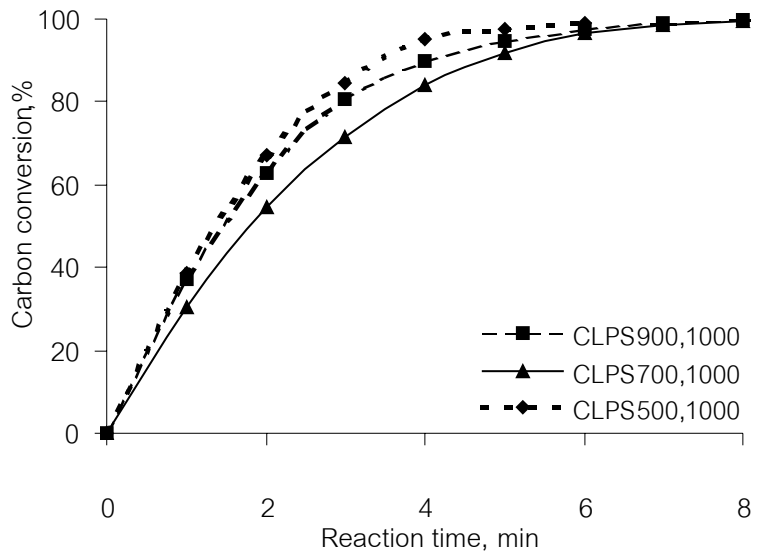


ก ถ่านชาร์จนาด <75 °C ไมโครเมตร

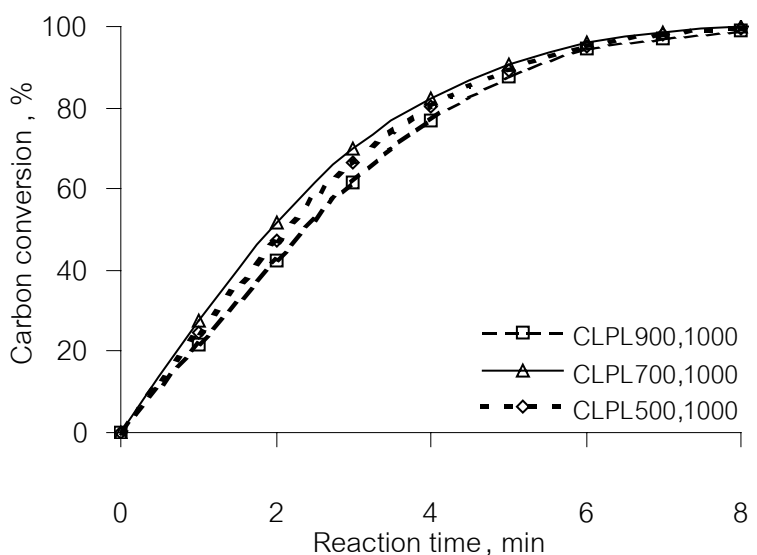


ข ถ่านชาร์จนาด 150 - 250 °C ไมโครเมตร

รูปที่ 4.8 ความสัมพันธ์ระหว่างร้อยละการเปลี่ยนของถ่านชาร์จปางกับเวลา ที่อุณหภูมิไฟโรไลส์ต่างๆ และอุณหภูมิแก๊สฟาย 900 องศาเซลเซียส

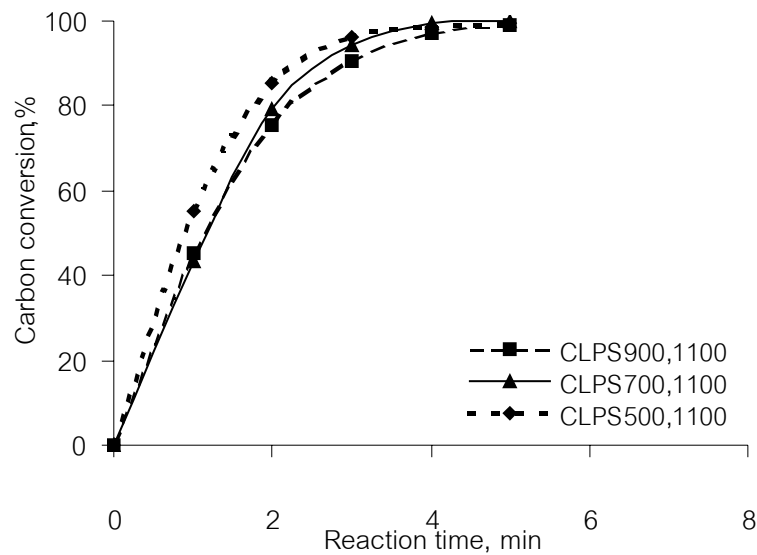


ก ถ่านชาร์จนาด <75 °C ไมโครเมตร

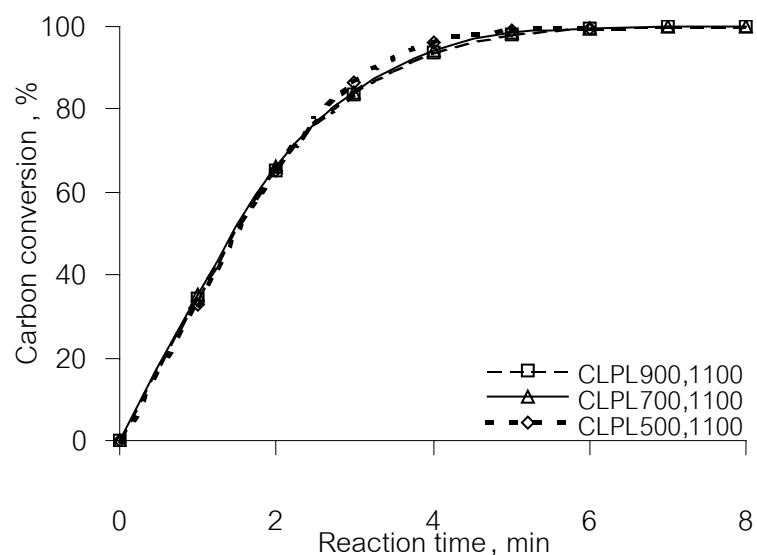


ข ถ่านชาร์จนาด 150 - 250 °C ไมโครเมตร

รูปที่ 4.9 ความสัมพันธ์ระหว่างร้อยละการเปลี่ยนของถ่านชาร์จปางกับเวลา ที่อุณหภูมิไฟโรไลส์ต่างๆ และอุณหภูมิแก๊สฟาย 1,000 องศาเซลเซียส



ก ถ่านชาร์จนาด <75 มิโครเมตร



ข ถ่านชาร์จนาด 150 - 250 มิโครเมตร

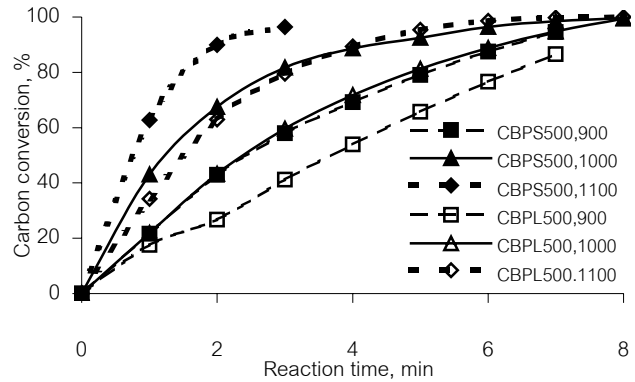
รูปที่ 4.10 ความสัมพันธ์ระหว่างร้อยละการเปลี่ยนของถ่านชาร์จปางกับเวลา ที่อุณหภูมิไพริลีส์ ต่างๆ และอุณหภูมิแก๊สฟาย 1,100 องศาเซลเซียส

4.4.2. อิทธิพลของขนาดอนุภาคถ่านชาร์ต่ออัตราการแกซิฟายถ่านชาร์

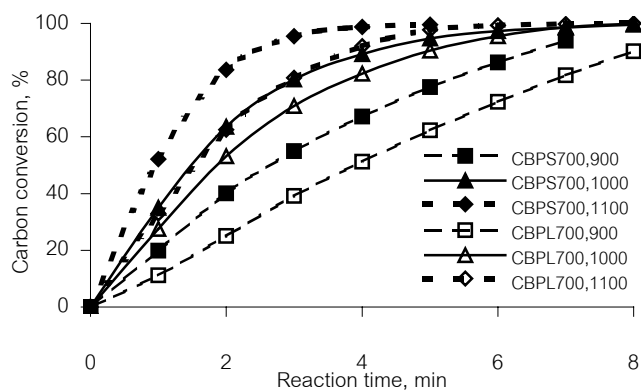
ในการศึกษาอิทธิพลของขนาดอนุภาคถ่านชาร์ต่ออัตราการแกซิฟาย สามารถพิจารณาได้จากความสัมพันธ์ระหว่างร้อยละการเปลี่ยนของถ่านชาร์บ้านปูและลำปางกับเวลา ที่อุณหภูมิต่างๆ ดังแสดงในรูปที่ 4.11 - 4.12 โดยเปรียบเทียบอัตราแกซิฟายถ่านชาร์ที่มีขนาดอนุภาคแตกต่างกันพบว่า อุณหภูมิแกซิฟายในช่วง 900 - 1,100 องศาเซลเซียส ถ่านชาร์บ้านปูและลำปางขนาดอนุภาค <75 ไมโครเมตร มีอัตราแกซิฟายสูงกว่าขนาดอนุภาค 150 - 250 ไมโครเมตร โดยอัตราการแกซิฟายจะสูงขึ้นตามอุณหภูมิแกซิฟายที่สูงขึ้นด้วยเห็นกัน ทั้งนี้เนื่องมาจากถ่านชาร์ขนาดเล็กนอกจากจะมีพื้นที่ผิวนุภาคสูงกว่าแล้วยังมีปริมาณสารอนินทรีย์มากกว่าถ่านชาร์ขนาดใหญ่ (ตารางที่ 4.13) จึงส่งผลให้ถ่านชาร์ขนาดเล็กมีอัตราการแกซิฟายสูงกว่าถ่านชาร์ขนาดใหญ่ โดยผลการทดลองที่ได้นี้ชัดແย়งกับงานวิจัยของ Ye D.P. และคณะ [16] ที่กล่าวว่า ขนาดอนุภาคไม่ส่งผลต่ออัตราการแกซิฟายถ่านชาร์

4.4.3. อิทธิพลของสารอนินทรีย์ต่ออัตราแกซิฟายถ่านชาร์

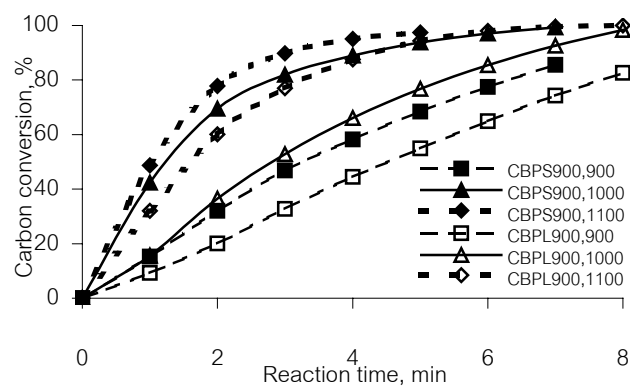
ในการศึกษาอิทธิพลของสารอนินทรีย์ต่ออัตราการแกซิฟายถ่านชาร์ จะพิจารณาความสัมพันธ์ระหว่างร้อยละการเปลี่ยนของถ่านชาร์กับเวลา โดยเปรียบเทียบอัตราการแกซิฟายถ่านชาร์ขนาดอนุภาค 150 - 250 ไมโครเมตร ที่ผ่านการล้างและไม่ล้างสารอนินทรีย์ที่อุณหภูมิแกซิฟาย 900 - 1,100 องศาเซลเซียส ได้ผลแสดงดังรูปที่ 4.13 - 4.15 พบว่า อัตราการแกซิฟายถ่านชาร์ที่ผ่านการล้างสารอนินทรีย์จะต่ำกว่าถ่านชาร์ที่ไม่ผ่านการล้างมาก ซึ่งสอดคล้องกับงานวิจัยอื่นที่ทำการศึกษาผลของสารอนินทรีย์ต่ออัตราการแกซิฟาย [12, 13, 16, 18, 35] และจากผลการวิเคราะห์ปริมาณสารอนินทรีย์ (ตารางที่ 4.11) เห็นได้ว่า ถ่านชาร์ที่ผ่านการล้างสารอนินทรีย์มีปริมาณสารประกอบออกไซด์ของธาตุที่ทำหน้าที่เป็นตัวกระตุ้นปฏิกิริยา เช่น Na, Mg, Ca และ Fe ลดลงอย่างเห็นได้ชัด โดยสามารถจัดออกได้ถึงร้อยละ 89.77, 85.79, 98.30 และ 66.57 ตามลำดับ ในขณะเดียวกันการล้างด้วยกรดไฮโดรคลอริกไม่สามารถจัดสารประกอบออกไซด์ของธาตุ Al และ Si ซึ่งมีผลหน่วงปฏิกิริยาได้



ก อุณหภูมิโพลีเมส์ 500 องศาเซลเซียส

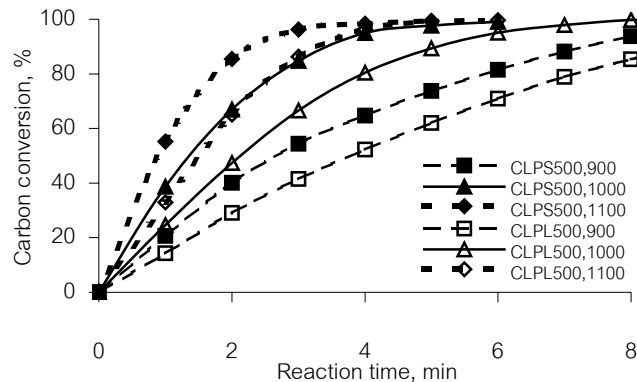


ข อุณหภูมิโพลีเมส์ 700 องศาเซลเซียส

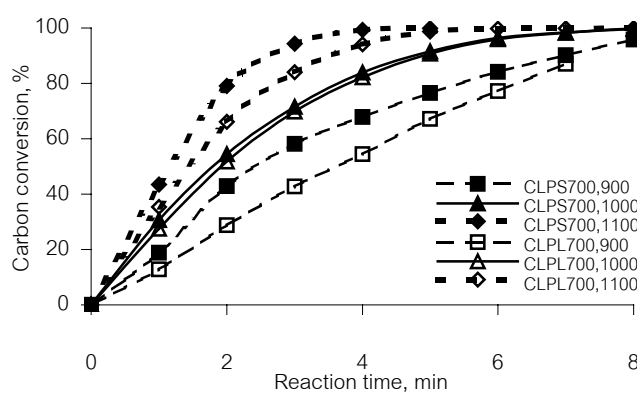


ค อุณหภูมิโพลีเมส์ 900 องศาเซลเซียส

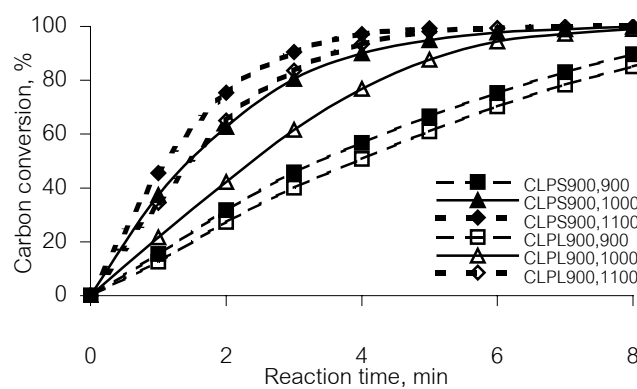
รูปที่ 4.11 ความสัมพันธ์ของอัตราเปลี่ยนของถ่าน化水บ้านปู่กับเวลา ที่อุณหภูมิแก๊สฟายต่างๆ



ก อุณหภูมิโพลีเมอร์ 500 องศาเซลเซียส

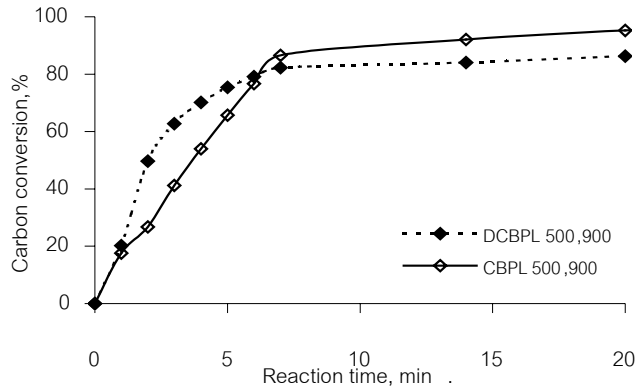


ข อุณหภูมิโพลีเมอร์ 700 องศาเซลเซียส

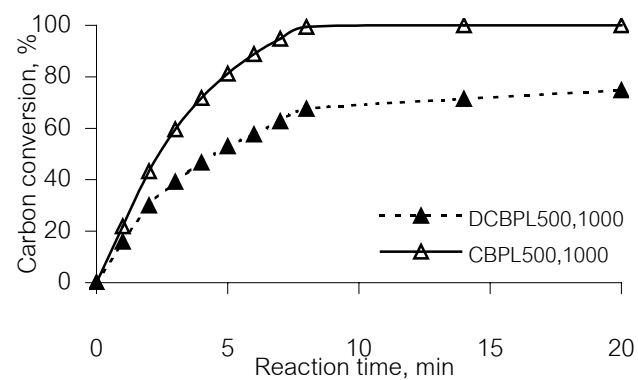


ค อุณหภูมิโพลีเมอร์ 900 องศาเซลเซียส

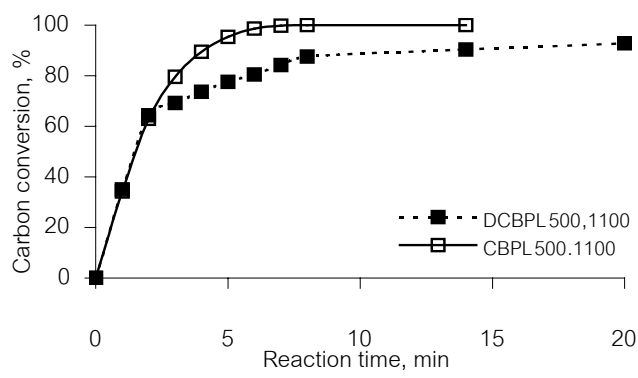
รูปที่ 4.12 ความสัมพันธ์ของอุณหภูมิและเวลาเปลี่ยนของถ่านชาร์จกับเวลาที่อุณหภูมิแกซิฟายต่างๆ



ก อุณหภูมิแก๊สไนท์ 900 องศาเซลเซียส

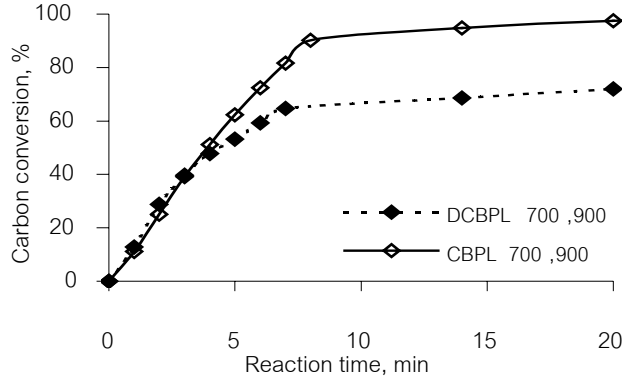


ข อุณหภูมิแก๊สไนท์ 1,000 องศาเซลเซียส

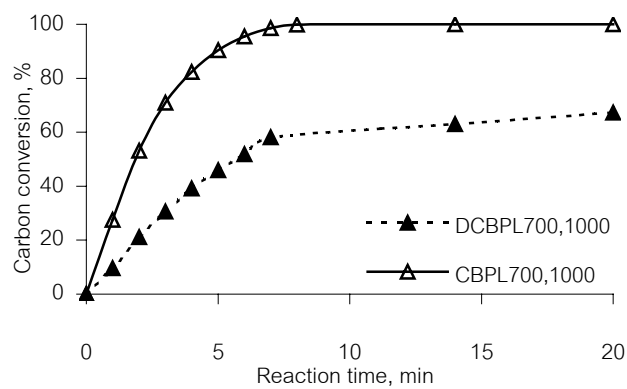


ค อุณหภูมิแก๊สไนท์ 1,100 องศาเซลเซียส

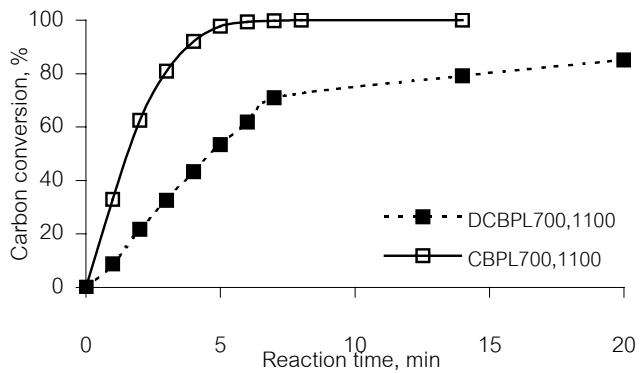
รูปที่ 4.13 ความสัมพันธ์ระหว่างร้อยละการเปลี่ยนของต่านชาร์บ้านปูอุณหภูมิไฟโรไลส์ 500 องศาเซลเซียสที่ผ่านการล้างและไม่ล้างสารอนินทรีกับเวลา ที่อุณหภูมิแก๊สไนท์ต่างๆ



ก อุณหภูมิแก๊สฟาย 900 องศาเซลเซียส

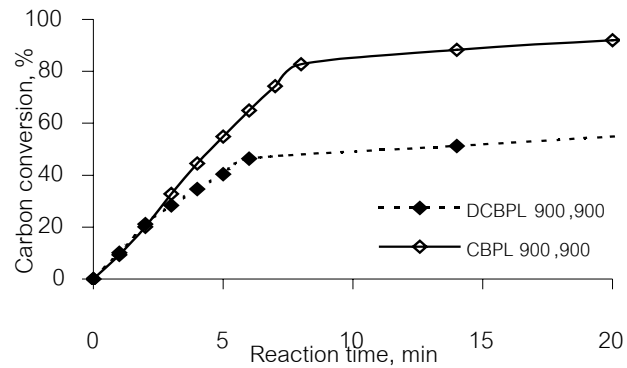


ข อุณหภูมิแก๊สฟาย 1,000 องศาเซลเซียส

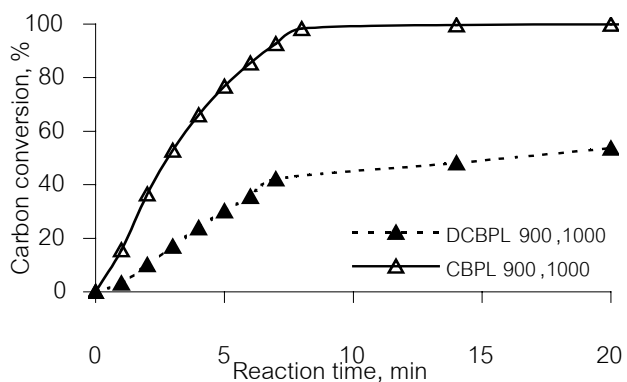


ค อุณหภูมิแก๊สฟาย 1,100 องศาเซลเซียส

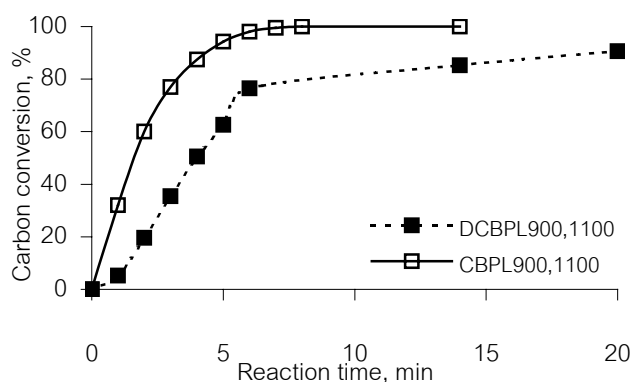
รูปที่ 4.14 ความสัมพันธ์ระหว่างร้อยละการเปลี่ยนของถ่านชาร์บ้านปูอุณหภูมิไพล์ส 700 องศาเซลเซียสที่ผ่านการล้างและไม่ล้างสารอนินทรีกับเวลา ที่อุณหภูมิแก๊สฟายต่างๆ



ก อุณหภูมิแก๊สฟาย 900 องศาเซลเซียส



ข อุณหภูมิแก๊สฟาย 1,000 องศาเซลเซียส



ค อุณหภูมิแก๊สฟาย 1,100 องศาเซลเซียส

รูปที่ 4.15 ความสัมพันธ์ระหว่างร้อยละการเปลี่ยนของต่านชาร์บันปูอุณหภูมิไฟโรไลส์ 900 องศาเซลเซียสที่ผ่านการล้างและไม่ล้างสารอนินทรีกับเวลา ที่อุณหภูมิแก๊สฟายต่างๆ

4.5. ความว่องไวในการแก๊สify

การเปรียบเทียบความว่องไวในการแก๊สifyถ่านชาร์ทอุณหภูมิแก๊สify 900, 1,000 และ 1,100 องศาเซลเซียสนั้น จะพิจารณาในเทอม Reactivity index (R_s) คำนวณตามสมการที่ 2.7

$$R_s = 0.5 / \tau_{0.5} \quad (2.7)$$

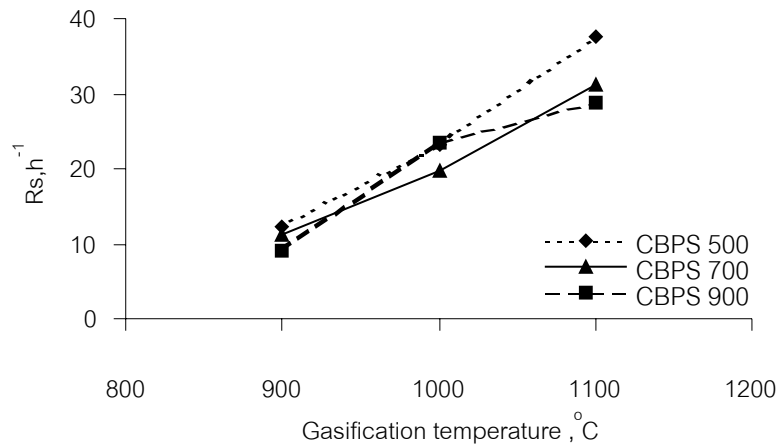
ซึ่งเปรียบเทียบเวลาที่ถ่านชาร์ทมีร้อยละการเปลี่ยนเท่ากับ 50 โดยถ่านชาร์ทที่ใช้เวลาน้อยกว่าหรือ มีความว่องไวในการแก๊สifyมาก จะมีค่า Reactivity index (R_s) สูง ได้ผลแสดงดังตารางที่ 4.15

ตารางที่ 4.15 ค่า Reactivity index (R_s) ของถ่านชาร์ทบ้านปูและลำปาง

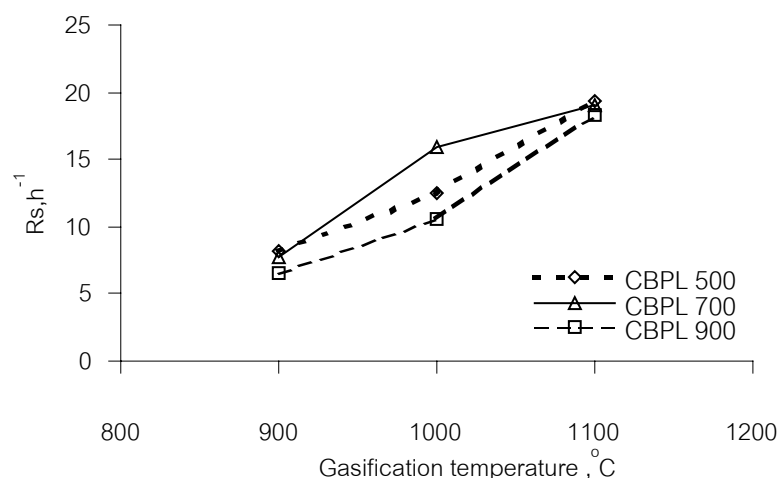
Sample	Particle size (μm)	Pyrolysis temperature ($^\circ\text{C}$)	$R_s = 0.5 / \tau_{0.5} (\text{h}^{-1})$		
			Gasification temperature ($^\circ\text{C}$)	900	1,000
CBP	< 75	500	12.1	23.3	37.7
		700	11.2	19.7	31.3
		900	9.1	23.4	28.8
CBP	150 - 250	500	8.1	12.4	19.4
		700	7.7	16.0	19.0
		900	6.6	10.6	18.3
CLP	< 75	500	11.1	21.4	33.1
		700	12.2	16.5	25.4
		900	8.9	20.0	26.1
CLP	150 - 250	500	7.9	14.0	19.6
		700	8.3	15.6	20.3
		900	7.6	12.5	19.9

4.5.1. อิทธิพลของอุณหภูมิไฟโรไลส์ต่อความไวของไวนของถ่านชาร์

ความสัมพันธ์ระหว่างค่า Reactivity index (R_s) กับอุณหภูมิแก๊สฟายถ่านชาร์บ้านปู และลำปางที่อุณหภูมิไฟโรไลส์ 500, 700 และ 900 องศาเซลเซียส ดังแสดงในรูปที่ 4.16 และ 4.17

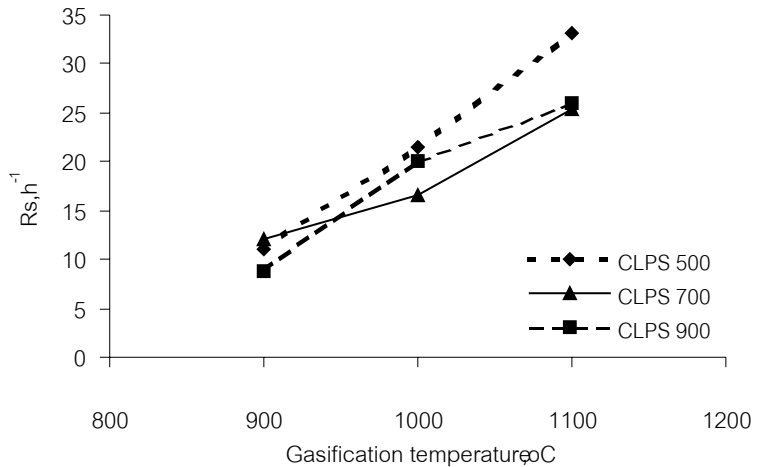
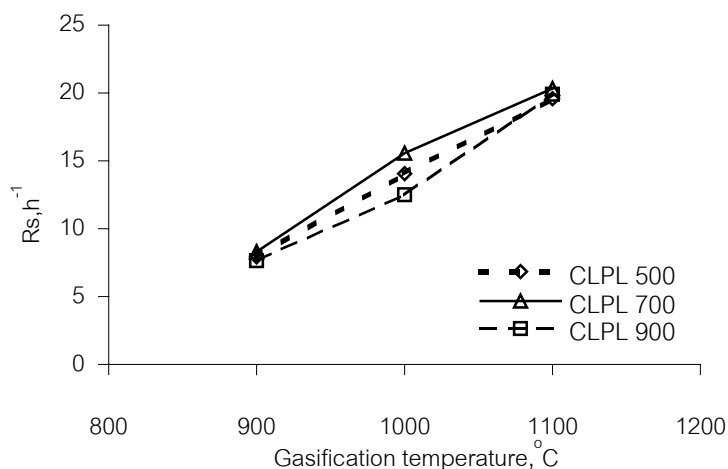


ก ถ่านชาร์ขนาด <75 ไมโครเมตร



ข ถ่านชาร์ขนาด 150 - 250 ไมโครเมตร

รูปที่ 4.16 ความสัมพันธ์ระหว่างค่า Reactivity index (R_s) กับอุณหภูมิแก๊สฟายถ่านชาร์บ้านปูที่ อุณหภูมิไฟโรไลส์ต่างๆ

ก ถ่านชาร์ขนาด $< 75 \mu\text{m}$ ไมโครเมตรข ถ่านชาร์ขนาด 150 - 250 μm ไมโครเมตร

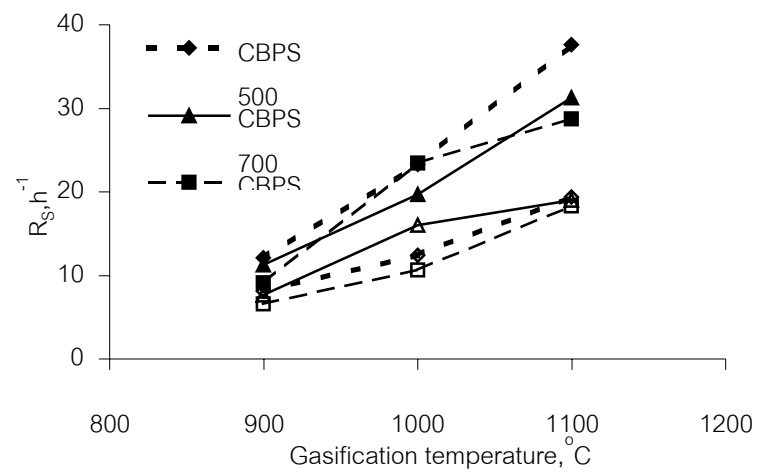
รูปที่ 4.17 ความสัมพันธ์ระหว่างค่า Reactivity index (R_s) กับอุณหภูมิแก๊สฟายถ่านชาร์จำปาง
ที่อุณหภูมิไฟโรไลส์ต่างๆ

พบว่า อุณหภูมิแก๊สฟายระหว่าง 900 - 1,100 องศาเซลเซียส ถ่านชาร์บ้านบูท อุณหภูมิไฟโรไลส์ 500 องศาเซลเซียส มีความกว้างไวในการแก๊สฟายมากกว่าถ่านชาร์ที่อุณหภูมิไฟโรไลส์ 700 และ 900 องศาเซลเซียส ตามลำดับ โดยจะเห็นผลได้อย่างชัดเจนจากค่า Reactivity index ของถ่านชาร์ขนาด $< 75 \mu\text{m}$ ที่มีค่าอยู่ในช่วง 12.1 - 37.7, 11.3 - 31.3 และ 9.2 - 28.8 ต่อชั่วโมง ที่อุณหภูมิไฟโรไลส์ 500, 700 และ 900 องศาเซลเซียส ตามลำดับ ทั้งนี้อาจเนื่องมาจากการที่ อุณหภูมิ 500 องศาเซลเซียส การสลายโครงสร้างของถ่านหินยังไม่สมบูรณ์ทำให้ถ่านชาร์ที่ได้มี ปริมาณสารระเหยสูง ดังแสดงในตารางที่ 4.12 ส่งผลให้อัตราการแก๊สฟายเร็วกว่า โดยเฉพาะในระยะเริ่มต้นซึ่งสังเกตได้จากความชันของความสัมพันธ์ระหว่างร้อยละการเปลี่ยนของถ่านชาร์กับเวลาดังรูปที่ 4.5 - 4.7 และ 4.8 - 4.10 และที่อุณหภูมิไฟโรไลส์สูงขึ้น ควรบอนในถ่านชาร์เกิดการเปลี่ยนแปลง

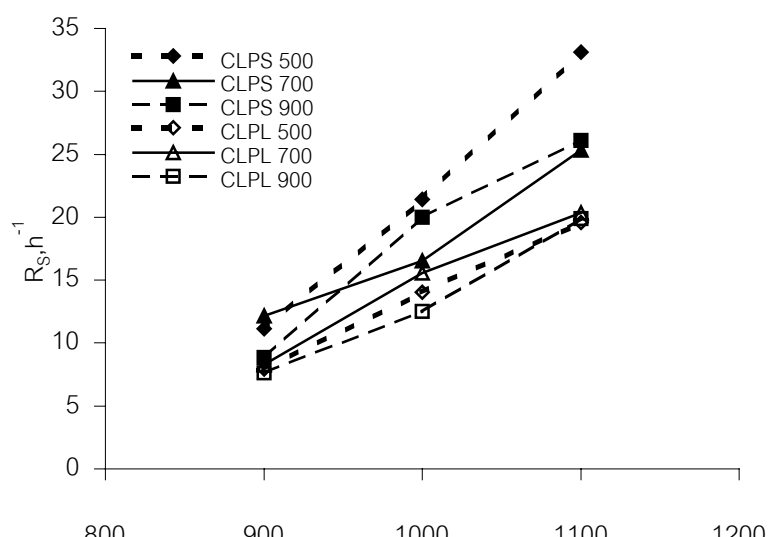
โครงการจัดเรียงตัวที่เสถียรขึ้นและอาจสูญเสียบริเวณที่ว่องไวไปในระหว่างนั้น จึงส่งผลให้ความว่องไวลดลง [34] สำหรับความว่องไวในการแกซิฟายถ่านชาร์ลำปางที่อุณหภูมิไฟโรไลส์ต่างๆ ก็ให้ผลเช่นเดียวกัน

4.5.2. อิทธิพลของขนาดอนุภาคต่อความว่องไวของถ่านชาร์

อิทธิพลของขนาดอนุภาคถ่านชาร์ต่อความว่องไวในการแกซิฟายที่ภาวะต่างๆ จะพิจารณาจากความสัมพันธ์ระหว่างค่า Reactivity index (R_s) ของถ่านชาร์บ้านปูและลำปางขนาดแตกต่างกันกับอุณหภูมิแกซิฟายดังแสดงในรูปที่ 4.18



ก ถ่านชาร์บ้านปู



ข ถ่านชาร์ลำปาง

รูปที่ 4.18 ความสัมพันธ์ระหว่างค่า Reactivity index (R_s) กับอุณหภูมิแกซิฟายถ่านชาร์ที่ภาวะต่างๆ

พบว่า อุณหภูมิแก๊สฟายในช่วง 900 - 1,100 องศาเซลเซียส ถ่านชาร์บ้านปูขนาด <75 และ 150 - 250 ไมโครเมตร มีค่า Reactivity index อยู่ในช่วง 9.2 - 37.7 และ 6.6 - 19.4 ต่อชั่วโมง ตามลำดับ และถ่านชาร์ล้ำปางขนาด <75 และ 150 - 250 ไมโครเมตร มีค่า Reactivity index อยู่ในช่วง 8.9 - 33.1 และ 7.7 - 20.4 ต่อชั่วโมง ตามลำดับ โดยจะมีค่าเพิ่มขึ้นตามอุณหภูมิแก๊สฟายที่สูงขึ้น ดังนั้นจึงสามารถสรุปได้ว่า ถ่านชาร์บ้านปูและล้ำปางขนาดเด็ก (<75 ไมโครเมตร) มีความว่องไวในการแก๊สฟายมากกว่าถ่านชาร์ขนาดใหญ่ (150 - 250 ไมโครเมตร) สัมพันธ์กับอัตราแก๊สฟาย เนื่องมาจากการถ่านชาร์ขนาดเล็กมีปริมาณสารอนินทรีย์มากกว่าถ่านชาร์ขนาดใหญ่ ดังแสดงในตารางที่ 4.13 จึงส่งผลให้ถ่านชาร์ขนาดเล็กมีความว่องไวในปฏิกิริยาแก๊สฟายมากกว่า

เมื่อเปรียบเทียบความว่องไวของถ่านชาร์จากถ่านหินทั้งสองแหล่งดังแสดงในรูปที่ 4.19 พบว่า สำหรับถ่านชาร์ขนาด <75 ไมโครเมตร ถ่านชาร์บ้านปูมีความว่องไวในปฏิกิริยาแก๊สฟายมากกว่า ถ่านชาร์ล้ำปาง โดยมีค่า Reactivity index อยู่ในช่วง 9.2 - 37.7 และ 8.9 - 33.1 ต่อชั่วโมง ตามลำดับ เนื่องจากถ่านชาร์บ้านปูมีปริมาณสารอนินทรีย์มากกว่าถ่านชาร์ล้ำปาง โดยเฉพาะปริมาณธาตุ Na, Mg, Ca ที่มีผลในการกรະตุนปฏิกิริยา แต่ผลการกรະตุนนี้ส่งผลไม่ชัดเจนนัก สำหรับถ่านชาร์ขนาด 150 - 250 ไมโครเมตร และจากค่า Reactivity index ของถ่านชาร์บ้านปูและล้ำปางที่อยู่ในช่วง 6.6 - 19.7 และ 7.7 - 20.4 ต่อชั่วโมง ตามลำดับ จะเห็นว่า ถ่านชาร์ล้ำปางมีความว่องไวมากกว่า ถ่านชาร์บ้านปูเล็กน้อย

4.5.3. อิทธิพลของสารอนินทรีย์ต่อความว่องไวของถ่านชาร์

ในการศึกษาอิทธิพลของสารอนินทรีย์ต่อความว่องไวของถ่านชาร์บ้านปูขนาด 150 - 250 ไมโครเมตร ที่ผ่านการล้างและไม่ล้างสารอนินทรีย์ มาทำปฏิกิริยาแก๊สฟายด้วยก๊าซคาร์บอนไดออกไซด์ ที่อุณหภูมิ 900 - 1,100 องศาเซลเซียส ซึ่งได้ค่า Reactivity index (R_s) ของถ่านชาร์แสดงดังตารางที่ 4.16 และความสัมพันธ์ระหว่างค่า Reactivity index (R_s) กับอุณหภูมิแก๊สฟายถ่านชาร์ต่างๆ แสดงดังรูปที่ 4.20 พบว่า ที่อุณหภูมิแก๊สฟายเดียวกัน ถ่านชาร์ที่ผ่านการล้างสารอนินทรีย์จะมีความว่องไวต่ำกว่าถ่านชาร์ที่ไม่ผ่านการล้างอย่างชัดเจน และถ่านชาร์จะมีความว่องไวสูงขึ้นเมื่ออุณหภูมิแก๊สฟายสูงขึ้น โดยมีค่า Reactivity index อยู่ในช่วง 1.9 - 19.8 ต่อชั่วโมง และจากรูปที่ 4.20 ก จะสังเกตเห็นว่า ที่อุณหภูมิแก๊สฟาย 900 องศาเซลเซียส ถ่านชาร์ที่ผ่านการล้างสารอนินทรีย์ อุณหภูมิไฟโรไลส์ 500 องศาเซลเซียส มีความว่องไวสูงกว่าถ่านชาร์ที่ไม่ผ่านการล้างสารอนินทรีย์แตกต่างจากถ่านชาร์ที่ไฟโรไลส์ที่อุณหภูมิ 700 และ 900 องศาเซลเซียส คาดว่าเป็นผลมาจากการความผิดพลาดในการทดลองขณะเก็บผลิตภัณฑ์ก๊าซไปเคราะห์

ตารางที่ 4.16 ค่า Reactivity index (R_s) ของถ่านชาร์บ้านปูที่ผ่านการล้างและไม่ล้างสารอนินทรีย์

Sample	Particle size (μm)	Pyrolysis temperature ($^\circ\text{C}$)	$R_s = 0.5/\tau_{0.5} (\text{h}^{-1})$		
			Gasification temperature ($^\circ\text{C}$)	900	1,000
CBP DCBP	150 - 250	500	8.1	12.4	19.4
			14.8	6.6	19.8
CBP DCBP	150 - 250	700	7.7	16.0	19.0
			6.8	5.3	6.4
CBP DCBP	150 - 250	900	6.6	10.6	18.3
			2.5	1.9	7.6

4.6. จนผลศาสตร์ของการแก๊สify [16,20,32]

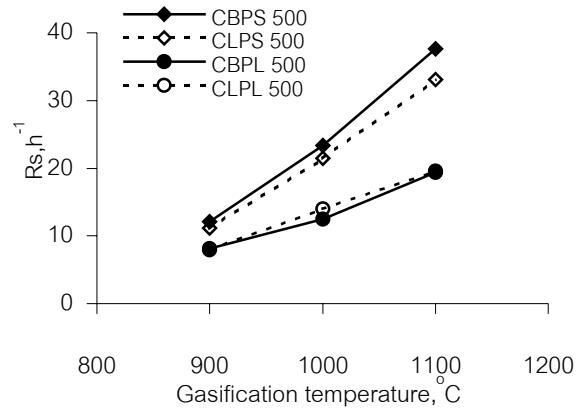
การศึกษาทางด้านจนผลศาสตร์ของการแก๊สifyถ่านชาร์บ้านปูและลำปางที่อุณหภูมิต่างๆ ของงานวิจัยนี้ได้ทดสอบแบบจำลองทั้งสองแบบจำลอง คือ แบบจำลองไฮโมเจนียส์ (Homogeneous model) และแบบจำลองแกนกลางหดตัว (Shrinking-core model) ซึ่งมีสมการอัตราการเกิดปฏิกิริยาแสดงดังสมการที่ 2.1 และ 2.2 ตามลำดับ

$$\frac{dX}{dt} = k(1-X) \quad (2.1)$$

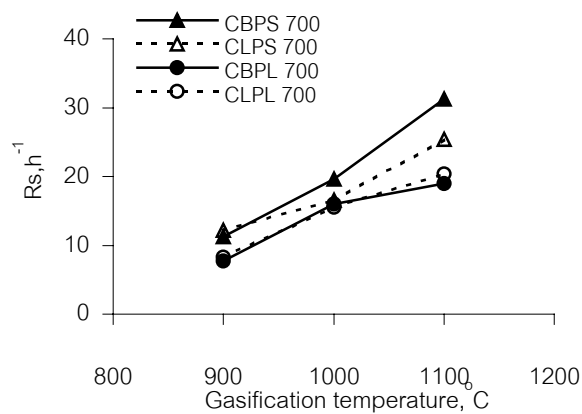
$$\frac{dX}{dt} = k(1-X)^{\frac{2}{3}} \quad (2.2)$$

ผลการแก๊สifyถ่านชาร์ดังแสดงผลการทดสอบในภาคผนวก ค3. พบว่า แบบจำลองแกนกลางหดตัว (Shrinking - core model) สามารถอธิบายผลการทดลองที่ได้จากการแก๊สifyถ่านชาร์ที่อุณหภูมิต่างๆ ได้ดีที่สุด ดังนั้น ในงานวิจัยนี้ จึงเลือกใช้แบบจำลองแกนกลางหดตัวมาอธิบายผลการแก๊สifyถ่านชาร์บ้านปูและลำปางที่อุณหภูมิต่างๆ

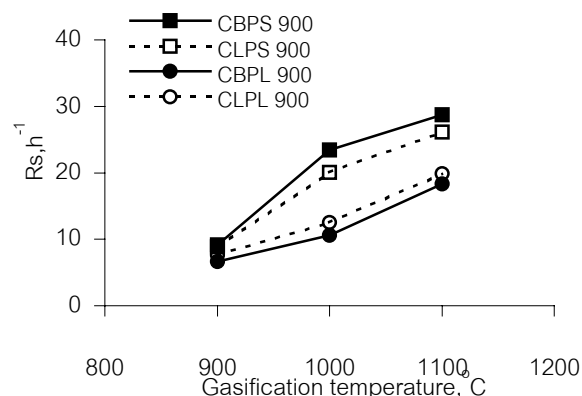
โดยสามารถหาค่าคงที่ปฏิกิริยา (apparent reaction rate coefficient, k) ได้จากความชันของความสัมพันธ์ระหว่าง $(1 - (1-X)^{\frac{2}{3}})$ กับเวลา ดังแสดงตัวอย่างการคำนวณในภาคผนวก ค4. และค่าคงที่ปฏิกิริยานี้สามารถอธิบายได้จากสมการของอาเรเนียส (Arrhenius's equation) ซึ่งค่าพลังงานحرรต์ (activation energy) และค่าคงที่ (pre - exponential factor) ของปฏิกิริยาแก๊สifyจะหาได้จากการความชันและจุดตัดแกนของกราฟระหว่าง $\ln(k)$ กับ $1/T$ ดังแสดงในตารางที่ 4.17 ถึง 4.19



ก อุณหภูมิไฟโรไอล์ส 500 องศาเซลเซียส

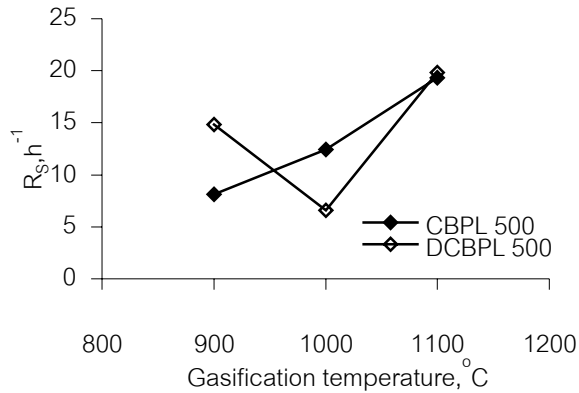


ข อุณหภูมิไฟโรไอล์ส 700 องศาเซลเซียส

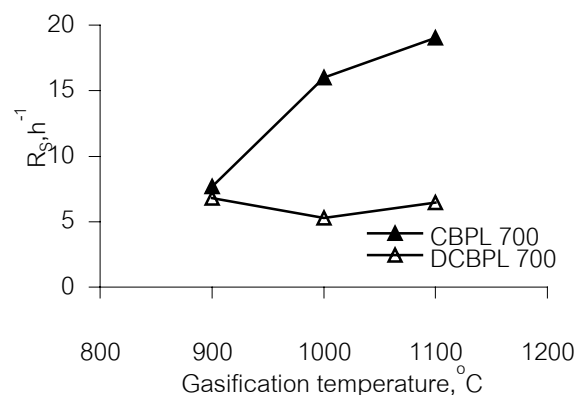


ค อุณหภูมิไฟโรไอล์ส 900 องศาเซลเซียส

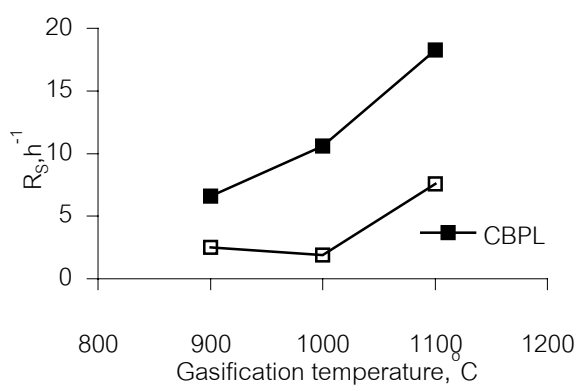
รูปที่ 4.19 ความสัมพันธ์ระหว่างค่า Reactivity index (R_s) กับอุณหภูมิแก๊สฟายถ่านชาร์บ้านปูและลำปาง



ก อุณหภูมิไฟโรไอล์ส 500 องศาเซลเซียส



ข อุณหภูมิไฟโรไอล์ส 700 องศาเซลเซียส



ค อุณหภูมิไฟโรไอล์ส 900 องศาเซลเซียส

รูปที่ 4.20 ความสัมพันธ์ระหว่างค่า Reactivity index (R_s) กับอุณหภูมิแก๊สฟายถ่านชาร์บ้านๆ ขนาด 150 - 250 ไมโครเมตร ที่ผ่านการล้างและไม่ล้างสารอนินทรี

ตารางที่ 4.17 ค่าคงที่ปฏิกิริยาและค่าพลังงานحرดตันการแกซิฟายของถ่านชาร์บ้านๆ

Sample	Particle size (μm)	Pyrolysis temperature	Gasification temperature	k (min^{-1})	E_a (kJ/mol)	A (min^{-1})
		($^{\circ}\text{C}$)	($^{\circ}\text{C}$)			
CBP	< 75	500	900	0.25		
			1,000	0.34	69	276
			1,100	0.72		
CBP	< 75	700	900	0.25		
			1,000	0.34	55	66
			1,100	0.56		
CBP	< 75	900	900	0.20		
			1,000	0.36	59	89
			1,100	0.47		
CBP	150 - 250	500	900	0.19		
			1,000	0.28	44	18
			1,100	0.37		
CBP	150 - 250	700	900	0.18		
			1,000	0.33	51	37
			1,100	0.39		
CBP	150 - 250	900	900	0.15		
			1,000	0.25	59	64
			1,100	0.36		

จากตารางที่ 4.17 จะเห็นว่า ที่อุณหภูมิแกซิฟายระหว่าง 900 - 1,100 องศาเซลเซียส ค่าคงที่ปฏิกิริยาแกซิฟายของถ่านชาร์จะสูงขึ้นตามอุณหภูมิแกซิฟายสอดคล้องกับ กฎของอาร์เรเนย์สและที่อุณหภูมิแกซิฟายเดียวกัน ค่าคงที่ปฏิกิริยาแกซิฟายของถ่านชาร์ขนาดเล็ก (<75 ไมโครเมตร) มีค่าสูงกว่าถ่านชาร์ขนาดใหญ่ โดยมีค่าออยู่ในช่วง 0.20 - 0.72 และ 0.15 - 0.39 ต่อนาที ตามลำดับ เนื่องจากถ่านชาร์ขนาดเล็กมีปริมาณสารอนินทรีย์ที่ส่งผลกระตุ้นปฏิกิริยาแกซิฟายมากกว่าถ่านชาร์ขนาดใหญ่ดังแสดงในตารางที่ 4.10 แต่เมื่อพิจารณาค่าพลังงานحرดตันปฏิกิริยาของถ่านชาร์ที่สังเคราะห์จากอุณหภูมิไฟโรไลส์เดียวกัน พบร่วมกัน ที่อุณหภูมิแกซิฟายเดียวกัน ถ่านชาร์ขนาดเล็กมีค่าพลังงานحرดตันสูงกว่าถ่านชาร์ขนาดใหญ่ โดยมีค่าออยู่ในช่วง 55 - 69 และ 44 - 59 กิโลจูลต่้อมล ตามลำดับ

ตารางที่ 4.18 ค่าคงที่ปฏิกิริยาและค่าพลังงานกระตุ้นการแกซิฟายของถ่านชาร์บ้านปูที่ผ่านการล้างสารอนินทรีย์แล้ว

Sample	Particle size (μm)	Pyrolysis temperature	Gasification temperature	k (min^{-1})	E_a (kJ/mol)	A (min^{-1})
		($^{\circ}\text{C}$)	($^{\circ}\text{C}$)			
DCBP	150 - 250	500	900	0.01		
			1,000	0.02	57	4
			1,100	0.03		
DCBP	150 - 250	700	900	0.01		
			1,000	0.02	77	33
			1,100	0.05		
DCBP	150 - 250	900	900	0.02		
			1,000	0.02	73	24
			1,100	0.05		

จากตารางที่ 4.18 จะเห็นว่า ที่อุณหภูมิแกซิฟายระหว่าง 900 - 1,100 องศาเซลเซียส ค่าคงที่ปฏิกิริยาของถ่านชาร์บ้านปูที่ผ่านการล้างสารอนินทรีย์แล้วมีค่าต่ำกว่าถ่านชาร์ที่ไม่ผ่านการล้างสารอนินทรีย์อย่างชัดเจน โดยมีค่าอยู่ในช่วง 0.01 - 0.05 ต่อนาที และเมื่อพิจารณาค่าพลังงานกระตุ้นพบว่า ค่าพลังงานกระตุ้นของปฏิกิริยาแกซิฟายถ่านชาร์บ้านปูที่ผ่านการล้างสารอนินทรีย์แล้วอยู่ในช่วง 57 - 77 กิโลจูลต่อโมล ซึ่งสูงกว่าค่าพลังงานกระตุ้นของถ่านชาร์ที่ไม่ผ่านการล้างสารอนินทรีย์ โดยค่าพลังงานกระตุ้นนี้จะมีค่าเปลี่ยนแปลงไปตามชนิดของถ่านชาร์ และการล้างสารอนินทรีย์

เมื่อเปรียบเทียบค่าคงที่ปฏิกิริยาระหว่างถ่านชาร์บ้านปูและลำปาง พบว่า ที่อุณหภูมิแกซิฟายเดียวกัน ค่าคงที่ปฏิกิริยาแกซิฟายของถ่านชาร์บ้านปูมีค่าสูงกว่าของถ่านชาร์ลำปางดังตารางที่ 4.19 ซึ่งสอดคล้องกับอัตราเร็วในการแกซิฟายถ่านชาร์บ้านปูที่สูงกว่าถ่านชาร์ลำปาง ทั้งนี้เนื่องมาจากการล้างบ้านปูมีปริมาณสารอนินทรีย์ที่เป็นองค์ประกอบมากกว่าถ่านชาร์ลำปาง นอกจากนี้ยังพบว่าถ่านชาร์บ้านปูมีค่าพลังงานกระตุ้นของปฏิกิริยาแกซิฟายใกล้เคียงกับของถ่านชาร์ลำปาง โดยมีค่าอยู่ในช่วง 44 - 69 และ 51 - 66 กิโลจูลต่อโมล ตามลำดับ

ตารางที่ 4.19 ค่าคงที่ปฏิกิริยาและค่าพลังงานحرะตุ้นการแก๊สifyของถ่านชาร์ลำปาง

Sample	Particle size (μm)	Pyrolysis temperature		Gasification temperature	k (min^{-1})	E_a (kJ/mol)	A (min^{-1})
		($^{\circ}\text{C}$)	($^{\circ}\text{C}$)				
CLP	< 75	500	900	1,000	0.22	63	144
			1,100	0.43	0.56		
			900	1,000	0.24		
CLP	< 75	700	1,100	1,000	0.33	59	94
			900	0.57	0.33		
			900	1,000	0.19		
CLP	< 75	900	1,100	1,000	0.35	66	174
			900	0.51	0.35		
			900	1,000	0.18		
CLP	150 - 250	500	1,100	1,000	0.32	64	123
			900	0.46	0.32		
			900	1,000	0.19		
CLP	150 - 250	700	1,100	1,000	0.33	51	36
			900	0.41	0.33		
			900	1,000	0.18		
CLP	150 - 250	900	1,100	1,000	0.30	54	46
			900	0.40	0.30		
			900	1,000	0.18		

เมื่อเปรียบเทียบค่าพลังงานحرะตุ้นที่ได้จากการวิจัยนี้กับงานวิจัยที่ผ่านมาแสดงดังตารางที่ 4.20 พบว่า ค่าพลังงานحرะตุ้นที่ได้จากการวิจัยนี้ใกล้เคียงกับงานของ Ahn D.H. และคณะ [14] ที่มีค่าเท่ากับ 71.5 กิโลจูลต่อโมล ซึ่งใช้ถ่านหินศักดิ์ชั้นบิทูมินัส เช่นเดียวกับงานวิจัยนี้ แต่มีค่าต่ำกว่า งานวิจัยอื่นๆ ทั้งนี้อาจเนื่องมาจากการถ่านหินที่นำมาศึกษาในงานวิจัยนี้เป็นถ่านหินศักดิ์ต่ำซึ่ง มีสารอนินทรีย์ที่ทำหน้าที่เป็นตัวเร่งปฏิกิริยาบิมานมาก ส่งผลให้ปฏิกิริยาแก๊สifyถ่านชาร์เกิดได้ ง่ายและเร็วขึ้น จึงทำให้ค่าพลังงานحرะตุ้นที่ได้ต่ำกว่างานวิจัยอื่นๆ ที่กล่าวมา

ตารางที่ 4.20 เปรียบเทียบค่าพลังงานกระตุ้นจากการวิจัยนี้กับงานวิจัยที่ผ่านมา [10,13,14,19,24]

Source	Sample	Reactor	Gasification condition	Activation energy (kJ/mol)
Dutta et al. [14]	Chars from 6 kinds of coal	-	Atmospheric pressure	247.94
Kwon et al. [14]	Various ranks of coals (lignite to semianthracite) Based on the non - reactive core model	-	-	79.07 - 155.64
Kasaoka et al. [14]	Chars from 23 kinds of coal	-	-	196 - 310
Kajitani et al. [19]	Australian NL bituminous coal char (high fuel ratio and high ash melting point) Chinese S bituminous coal char (low fuel ratio and low ash melting point) Based on the random pore model	Pressurized drop tube furnace (PDTF)	< 1,200 °C >1,200 °C 1,200 - 1,400 °C	283 163 261
Liu et al. [10]	Coal char	Fluidized bed reactor	1,000 - 1,500 °C	95 - 174
Ye et al. [13]	South Australian lignite coal char	Single-particle reactor	714 - 892 °C	91
Ahn et al. [14]	Indonesian subbituminous coal char	Drop tube furnace	900 - 1400 °C	71.5
Bunluesiruang S. [24]	Thai coal chars	Thermo gravimetric analyzer (TGA)	600 - 850 °C	98.84 - 110.78
This work	Ban Pu lignite coal char Lampang subbituminous coal char	Drop tube furnace	900 - 1,100 °C	44 - 69 51 - 66

บทที่ 5

วิจารณ์ สรุปผลการทดลอง และข้อเสนอแนะ

วัตถุประสงค์ของงานวิจัยนี้ เพื่อศึกษาสมบัติของถ่านชาร์ต่อจลนพลาสติกของปฏิกิริยาแกซิฟาย โดยศึกษาถ่านหินจาก 2 แหล่ง คือ ถ่านหินบ้านปู แหล่งลี จังหวัดลำพูน และถ่านหินลำปาง แหล่งลำปาง จังหวัดลำปาง แบ่งการทดลองเป็น 2 ขั้นตอน คือ ขั้นตอนแรกเป็นการไฟโรไลส์ถ่านหิน ศึกษาผลของอุณหภูมิ ขนาดอนุภาคและแร่ธาตุในถ่านหินที่ส่งผลต่อสมบัติถ่านชาร์ที่ได้ และขั้นตอนที่สอง นำถ่านชาร์ที่ได้มาทำปฏิกิริยาแกซิฟายด้วยคาร์บอนไดออกไซด์ ที่อุณหภูมิตั้งแต่ 900 ถึง 1,100 องศาเซลเซียส

5.1. สมบัติเบื้องต้นของถ่านหิน

การวิเคราะห์แบบประมาณเป็นการวิเคราะห์ขั้นแรก เพื่อศึกษาสมบัติของถ่านหินดังแสดงในตารางที่ 4.2 พบว่า ถ่านหินทั้งสองแหล่งมีสมบัติใกล้เคียงกัน คือ ปริมาณความชื้นอยู่ในช่วงร้อยละ 3.77 ± 0.1 ถึง 2.29 ± 1.79 โดยน้ำหนัก (ถ่านหินผึ้งแห้ง) ซึ่งถือว่าค่อนข้างต่ำ ปริมาณเด้าอยู่ในช่วงร้อยละ 18.13 ± 0.09 ถึง 12.3 ± 0.06 โดยน้ำหนัก (ถ่านหินผึ้งแห้ง) และปริมาณสารระเหยอยู่ในช่วงร้อยละ 38.07 ± 0.39 ถึง 40.6 ± 2.42 โดยน้ำหนัก (ถ่านหินผึ้งแห้ง) เมื่อหักลบค่าความชื้น เหล้าและสารระเหยออกจะได้ค่าคาร์บอนคงตัวซึ่งเป็นค่าที่ปั่งถึงคุณภาพของถ่านหินอยู่ในช่วง 40.04 ± 0.36 ถึง 44.81 ± 0.71 โดยน้ำหนัก (ถ่านหินผึ้งแห้ง) หากพิจารณาค่าความร้อนของถ่านหินทั้งสองแหล่ง พบว่า ถ่านหินบ้านปู แหล่งลี มีค่าความร้อน $5,709$ กิโลแคลอรี่ต่อกิโลกรัมของถ่านหินรวมความชื้น ปราศจากแร่ธาตุ สามารถเทียบได้เป็นศักดิ์ลิกไนต์ เอ และถ่านหินลำปาง แหล่งลำปาง มีค่าความร้อน $6,192$ กิโลแคลอรี่ต่อกิโลกรัมของถ่านหินรวมความชื้นปราศจากแร่ธาตุเทียบได้เป็นศักดิ์ชับบิทูมินัส บี และเมื่อเปรียบเทียบสมบัติของถ่านหินที่มีขนาดต่างกัน พบร่วมถ่านหินขนาดเล็ก (<75 ไมโครเมตร) มีปริมาณเด้ามากกว่าถ่านหินขนาดใหญ่ ($150 - 250$ ไมโครเมตร) ชัดเจน แต่สมบัติอื่นไม่แตกต่างกันมากนัก ทั้งนี้เนื่องมาจากการแรงยึดเหนี่ยวระหว่างสารประกอบอนินทรีย์ในโครงสร้างถ่านหินไม่แข็งแรง และเมื่อผ่านกระบวนการกรุดแบ่งถ่านหินจึงแตกหักออกง่ายทำให้ถ่านหินขนาดเล็กมีสารประกอบอนินทรีย์มากกว่า

ผลการวิเคราะห์แบบแยกธาตุตารางที่ 4.8 ชี้แจงถึงองค์ประกอบที่สำคัญในถ่านหิน ที่มีความแตกต่างกันซึ่งมีผลต่อการแกซิฟายอย่างมาก โดยเฉพาะร้อยละคาร์บอนที่สัมพันธ์กับคาร์บอนในถ่านชาร์ต พบร่วมถ่านหินไม่รวมความชื้นและถ่านหินลำปางมีร้อยละ

คาร์บอนมากกว่าถ่านหินบ้านปู โดยมีค่าร้อยละ 48.40 และ 42.75 โดยน้ำหนัก (ถ่านหินแห้ง) ตามลำดับ สำหรับองค์ประกอบอื่นมีปริมาณใกล้เคียงกัน

เมื่อพิจารณาผลการวิเคราะห์ปริมาณพื้นที่ผิวจำเพาะด้วยวิธี BET ของถ่านหินแหล่งลี้ (BP) และถ่านหินแหล่งลำปาง (LP) ซึ่งมีค่าเท่ากับ 17.26 และ 25 ตารางเมตรต่อกรัม ตามลำดับ ร่วมกับ ลักษณะโครงสร้างภายนอกของถ่านหินทั้งสองแหล่งแสดงดังรูปที่ 4.1 พบว่า ถ่านหินทั้งสองแหล่งมี ลักษณะโครงสร้างพื้นผิวภายนอกคล้ายกัน ซึ่งสอดคล้องกับค่าปริมาณพื้นที่ผิวจำเพาะที่ต่างกันเพียง เล็กน้อยเท่านั้น

จากผลการวิเคราะห์ปริมาณธาตุในถ่านหินทั้งสองแหล่ง ดังแสดงในตารางที่ 4.9 และ 4.10 พบว่า ถ่านหินบ้านปูซึ่งเป็นถ่านหินศักดิ์ต่ำกว่ามีปริมาณสารอนินทรีย์เป็นองค์ประกอบมากกว่า ถ่านหินลำปางและองค์ประกอบส่วนใหญ่จะเป็นสารอนินทรีย์จำพวก Al_2O_3 , SiO_2 , SO_3 , CaO และ Fe_2O_3 และสารอนินทรีย์จำพวก Na_2O , MgO , P_2O_5 , K_2O และ TiO_2 เป็นส่วนน้อย โดยถ่านหิน ทั้งสองแหล่งมีปริมาณของธาตุ Si และ Al สูงใกล้เคียงกัน คาดว่าธาตุทั้ง 2 ชนิดนี้อยู่ร่วมกันใน รูปของ Kaolin ($\text{Al}_2\text{O}_3 \cdot 2\text{SiO}_2 \cdot x\text{H}_2\text{O}$) ธาตุ Ca มักอยู่ในรูปของแคลไซด์ (CaCO_3) และธาตุ Fe อยู่ใน รูปของไฟโรต์ (FeS_2)

เมื่อเปรียบเทียบผลการล้างถ่านหินด้วยกรดไฮโดรคลอริกตามวิธีดังที่กล่าวในหัวข้อ 3.3 แสดงในตารางที่ 4.11 พบว่า การล้างสารอนินทรีย์สามารถลดปริมาณเหล้าลงได้ถึงร้อยละ 53.82 เมื่อคำนวณเปรียบเทียบสารอนินทรีย์ที่เป็นองค์ประกอบในถ่านหิน 100 กรัมเท่ากันระหว่างถ่านหิน บ้านปูที่ผ่านการล้างและไม่ล้างสารอนินทรีย์ดังแสดงในภาคผนวก ค 5 พบว่า กรดไฮโดรคลอริก มีประสิทธิภาพในการล้างสารอนินทรีย์แต่ละชนิดได้แตกต่างกัน สารอนินทรีย์ที่ถูกล้างออกได้มาก คือ Na_2O , MgO , SO_3 , CaO , K_2O และ Fe_2O_3 เนื่องจากธาตุเหล่านี้มักอยู่ในรูปของสารประกอบ คาร์บอนซิลในโครงสร้างอินทรีย์ถ่านหิน และแคลเซียมมักอยู่ในรูปของแคลไซด์หรือยิปซัม ซึ่งละลายได้ ในกรดไฮโดรคลอริก นอกจากนี้ยังพบว่า การล้างสารอนินทรีย์ออก ยังคงให้ร้อยละสารระเหย และคาร์บอนคงตัวเพิ่มขึ้นซึ่งเป็นผลมาจากการบูรณะเดาที่ลดน้อยลง และลักษณะพื้นผิวของถ่านหิน ที่ผ่านและไม่ผ่านการล้างสารอนินทรีย์ไม่แตกต่างกันมากนักดังรูปที่ 4.2 แสดงให้เห็นว่าการล้าง สารอนินทรีย์ด้วยกรดไฮโดรคลอริกไม่ส่งผลให้พื้นผิวภายนอกของถ่านหินเปลี่ยนแปลงไปมากนัก

5.2. สมบัติของถ่านชาร์

ถ่านชาร์ที่ได้จากการไฟฟ้าไอลส์ถ่านหินทั้งสองแหล่งมีลักษณะทางกายภาพเหมือนกัน คือ เป็นผงถ่านละเอียดสีดำ แต่ถ่านชาร์ที่ได้มีคุณภาพดีขึ้นเปรียบพันตามอุณหภูมิที่เพิ่มมากขึ้นตั้งแสดงใน ตารางที่ 4.12 คือ ปริมาณสารระเหยลดลงในช่วงร้อยละ 45.92 ± 0.08 ถึง 24.17 ± 0.79 โดยน้ำหนัก

(ถ่านหินแห้ง, ไม่ร่วมเด็ก) ปริมาณคาร์บอนคงตัวเพิ่มขึ้นในช่วงร้อยละ 54.08 ± 0.08 ถึง 75.83 ± 0.79 โดยน้ำหนัก (ถ่านหินแห้ง, ไม่ร่วมเด็ก) สำหรับถ่านชาร์บ้านปู ส่วนถ่านชาร์ลำปางจะมีปริมาณสารระเหยลดลงในช่วงร้อยละ 46.52 ± 1.03 ถึง 22.89 ± 0.06 โดยน้ำหนัก (ถ่านหินแห้ง, ไม่ร่วมเด็ก) ปริมาณคาร์บอนคงตัวเพิ่มขึ้นในช่วงร้อยละ 53.48 ± 1.03 ถึง 77.11 ± 0.06 โดยน้ำหนัก (ถ่านหินแห้ง, ไม่ร่วมเด็ก) เท่านั้น เมื่อเปรียบเทียบสมบัติของถ่านชาร์ที่ได้จากการไฟโรไลส์ถ่านหินที่มีขนาดต่างกัน ทั้งสองแหล่งและคำนวณหักปริมาณความชื้นแล้วถ้าออกแล้ว พบร่ว่า ถ่านหินขนาดเล็ก (<75 ไมโครเมตร) มีปริมาณสารระเหยน้อยกว่าถ่านหินขนาดใหญ่ ($150 - 250$ ไมโครเมตร) ที่ทุกอุณหภูมิไฟโรไลส์ ดังแสดงในตารางที่ 4.12

เมื่อพิจารณาผลการวิเคราะห์แบบแยกฐานะของถ่านชาร์จากถ่านหินทั้งสองแหล่งที่แสดงในตารางที่ 4.13 พบร่ว่า ถ่านชาร์มีปริมาณคาร์บอนและเต้ามากกว่าถ่านหินเริ่มต้นและแปรผันตามอุณหภูมิ โดยถ่านหินบ้านปูมีปริมาณคาร์บอนร้อยละ 42.75 โดยน้ำหนัก (ถ่านหินแห้ง) เมื่อผ่านการไฟโรไลส์ที่อุณหภูมิ 500 ถึง 900 องศาเซลเซียสแล้วปริมาณคาร์บอนจะมีค่าเพิ่มขึ้นเป็นร้อยละ 48.75 ± 1.43 ถึง 57.37 ± 0.63 โดยน้ำหนัก (ถ่านหินแห้ง) และถ่านหินลำปางมีปริมาณคาร์บอนร้อยละ 48.40 โดยน้ำหนัก (ถ่านหินแห้ง) เมื่อผ่านการไฟโรไลส์แล้วปริมาณคาร์บอนจะมีค่าเพิ่มขึ้นเป็นร้อยละ 55.45 ± 0.69 ถึง 64.43 ± 0.73 โดยน้ำหนัก (ถ่านหินแห้ง) แต่ปริมาณไฮโดรเจนในไฮโดรเจน ออกซิเจนและกำมะถันลดลง แสดงว่าการไฟโรไลส์ถ่านหินสามารถจัดองค์ประกอบเหล่านี้ระหว่างออกจากการหินในรูปของก๊าซไฮโดรเจนชัลไฟฟ์ ก๊าซแอมโมเนียมและอื่นๆ

สำหรับผลการวิเคราะห์ปริมาณพื้นที่ผิวจำเพาะของถ่านชาร์ที่ได้จากการไฟโรไลส์ถ่านหินบ้านปูและลำปาง ซึ่งมีค่า 17.26 และ 25 ตารางเมตรต่อกิโลกรัม ตามลำดับ ที่อุณหภูมิ $500 - 900$ องศาเซลเซียส ดังแสดงในตารางที่ 4.14 พบร่ว่า ปริมาณพื้นที่ผิวจำเพาะเพิ่มขึ้น เมื่ออุณหภูมิไฟโรไลส์สูงขึ้นสอดคล้องกับภาพถ่ายลักษณะโครงสร้างภายในของถ่านชาร์ด้วยเครื่อง SEM ดังแสดงในรูปที่ 4.3 - 4.4 เนื่องจาก เมื่ออุณหภูมิสูงขึ้น ถ่านหินเกิดการสลายตัว ความชื้นและสารระเหยได้สลายตัวออกจากอนุภาคถ่านหินมากขึ้น ทำให้อนุภาคของถ่านชาร์มีรูพรุนมากขึ้นจึงมีพื้นที่ผิวจำเพาะเพิ่มขึ้น แต่อย่างไรก็ตาม ค่าปริมาณพื้นที่ผิวจำเพาะดังกล่าวมีความแปรปรวนสูง ทั้งนี้เนื่องมาจากการวิเคราะห์หาปริมาณพื้นที่ผิวจำเพาะโดยวิธีดูดซับด้วยก๊าซในไฮโดรเจน (N_2 adsorption) ต้องทำในบรรยากาศที่เป็นสูญญากาศ ปริมาณน้ำมันทาร์ที่อยู่ในตัวอย่างถ่านชาร์อาจระเหยออกจากอนุภาคถ่านชาร์ด้วยซึ่งส่งผลต่อการคำนวณปริมาณพื้นที่ผิวจำเพาะ จึงอาจทำให้ผลการวิเคราะห์ที่ได้ผลลัพธ์

5.3. การแก๊สไฟยถ่านชาร์

ในการศึกษาสมบัติของถ่านชาร์ต่อจลนผลศาสตร์ของการแก๊สไฟยนั้นนำถ่านชาร์ที่มีสมบัติแตกต่างกันมาทำปฏิกิริยาแก๊สไฟยในเครื่องปฏิกิริยแบบ DT/FBR ด้วยก้าชคาร์บอนไดออกไซด์ที่อุณหภูมิ 900, 1,000 และ 1,100 องศาเซลเซียส โดยมีสมมติฐานว่าเกิดปฏิกิริยานุดูราดเพียงปฏิกิริยาเดียวจึงเกิดผลิตภัณฑ์ก้าชชนิดเดียว คือก้าชคาร์บอนอนออกไซด์ ดังแสดงในสมการที่ 4.1



5.4. อิทธิพลของอุณหภูมิไฟโรไอลส์ถ่านหินต่อกความว่องไวของถ่านชาร์

อุณหภูมิที่ใช้ในการไฟโรไอลส์ถ่านหินจะส่งผลต่อสมบัติของถ่านชาร์ที่ได้ซึ่งส่งผลโดยตรงต่อกความว่องไวในการทำปฏิกิริยาต่อไป ในงานวิจัยนี้จะพิจารณาอัตราเร็วและความว่องไวของถ่านชาร์ต่อปฏิกิริยาแก๊สไฟยด้วยก้าชคาร์บอนไดออกไซด์ เมื่อพิจารณาความสัมพันธ์ระหว่างร้อยละการเปลี่ยนของถ่านชาร์บ้านปูและลำปางกับเวลา ที่อุณหภูมิไฟโรไอลส์แตกต่างกันดังแสดงในรูปที่ 4.5 - 4.7 และ 4.8 - 4.10 ร่วมกับความสัมพันธ์ของค่า Reactivity index (R_s) กับอุณหภูมิแก๊สไฟย ดังแสดงในรูปที่ 4.16 - 4.17 พบว่า อัตราการแก๊สไฟยและความว่องไวต่อปฏิกิริยาแก๊สไฟยด้วยก้าชคาร์บอนไดออกไซด์ของถ่านชาร์บ้านปูและลำปางกับเวลา ที่อุณหภูมิไฟโรไอลส์ที่ใช้สั่งเคราะห์ถ่านชาร์โดยถ่านชาร์ที่ได้จากอุณหภูมิไฟโรไอลส์ 500 องศาเซลเซียส จะมีอัตราการแก๊สไฟยสูงกว่าถ่านชาร์ที่ได้จากอุณหภูมิไฟโรไอลส์ 700 และ 900 องศาเซลเซียส ตามลำดับ

5.5. อิทธิพลของขนาดอนุภาคถ่านชาร์ต่อกความว่องไวของถ่านชาร์

เมื่อพิจารณาเปรียบเทียบความสัมพันธ์ร้อยละการเปลี่ยนของของถ่านชาร์บ้านปูและลำปางกับเวลา และค่า Reactivity index (R_s) ของการแก๊สไฟยถ่านชาร์ที่อุณหภูมิต่างๆ ระหว่างอนุภาคขนาด <75 และ $150 - 250$ ไมโครเมตรัดังแสดงในรูปที่ 4.11 - 4.12 และ 4.18 พบว่า ที่อุณหภูมิแก๊สไฟยระหว่าง 900 - 1,100 องศาเซลเซียส ถ่านชาร์บ้านปูและลำปางขนาดเล็ก (<75 ไมโครเมตร) มีความว่องไวในการแก๊สไฟยมากกว่าถ่านชาร์ขนาดใหญ่ ($150 - 250$ ไมโครเมตร) และเมื่อเปรียบเทียบความว่องไวของถ่านชาร์จากถ่านหินทั้งสองแหล่งดังแสดงในรูปที่ 4.19 พบว่า ถ่านชาร์จากถ่านหินทั้งสองแหล่งมีความว่องไวใกล้เคียงกัน แต่สำหรับถ่านชาร์ขนาด <75 ไมโครเมตรถ่านชาร์บ้านปูมีความว่องไวในปฏิกิริยาแก๊สไฟยมากกว่าถ่านชาร์ลำปางเล็กน้อย ทั้งนี้อาจเนื่องมาจากสารอนินทรีย์ในถ่านหินต่างแหล่งกันมีปริมาณแตกต่างกัน

5.6. อิทธิพลของสารอนินทรีย์ต่อความว่องไวของถ่านชาร์

อิทธิพลของสารอนินทรีย์ในถ่านชาร์ต่อความว่องไวในปฏิกิริยาแกซิฟายด้วยก้าช かるบอนไดออกไซด์จะพิจารณาเบรี่ยบเทียบความสัมพันธ์ของร้อยละการเปลี่ยนถ่านชาร์กับเวลาของถ่านชาร์บ้านปูขนาด 150 - 250 ไมโครเมตร ที่ผ่านการล้างและไม่ล้างสารอนินทรีย์ ดังแสดงในรูปที่ 4.13 - 4.15 พบว่า ถ่านชาร์ที่ผ่านการล้างสารอนินทรีย์จะมีความว่องไวต่ำกว่าถ่านชาร์ที่ไม่ผ่านการล้างมาก โดยมีค่า Reactivity index (R_s) อยู่ในช่วง 1.87 - 19.84 ต่อชั่วโมง แสดงให้เห็นว่า การล้างสารอนินทรีย์ออกจากถ่านชาร์นั้นส่งผลต่อความว่องไวในการแกซิฟายมาก โดยโลหะที่ทำหน้าที่เป็นตัวกระตุ้นในปฏิกิริยาแกซิฟายかるบอน [13, 16, 17, 24, 35] เช่น Na, Mg, Ca, Fe ถูกขจัดออกจากบ้านปู ถ่านชาร์ดังแสดงในตารางที่ 4.11 ซึ่งส่งผลให้ความว่องไวลดลงอย่างเห็นได้ชัด

5.7. ความสัมพันธ์ระหว่างความว่องไวกับสมบัติของถ่านชาร์

เมื่อพิจารณาสมบัติของถ่านชาร์ต่อความว่องไวในการแกซิฟายที่อุณหภูมิต่างๆ ของงานวิจัยนี้ พบว่า ผลกระทบตุ้นปฏิกิริยาของสารอนินทรีย์ที่มีอยู่ในถ่านชาร์ส่งผลต่อความว่องไวในการแกซิฟายอย่างชัดเจน สอดคล้องกับงานวิจัยของ Ochoa J. และคณะ [35] แต่ความสัมพันธ์ระหว่างความว่องไวกับสมบัติทางกายภาพ (textural properties) ของถ่านชาร์ เช่น ปริมาณかるบอน ไฮโดรเจน หรือพื้นที่ผิว ไม่ชัดเจนมากนัก สอดคล้องกับงานวิจัยของ Arenillas A. และคณะ [36] โดยพบว่า ความว่องไวของถ่านชาร์ไม่ขึ้นกับสมบัติทางกายภาพ แต่จะขึ้นกับสมบัติทางเคมี (chemical properties) คือ บริมาณและการกระจายตัวของบริเวณที่ว่องไว (active site)

5.8. จนผลศาสตร์ของการแกซิฟาย

จากผลการทดสอบแบบจำลองทางจนผลศาสตร์ดังแสดงในภาคผนวก ค3 พบว่า แบบจำลองแกนกลางหดตัว (Shrinking-core model) ซึ่งเป็นแบบจำลองพื้นฐานและเหมาะสมสำหรับอธิบายความสัมพันธ์ระหว่างร้อยละการเปลี่ยนของถ่านชาร์กับเวลาได้ดีที่สุด และจากการคำนวณค่าคงที่ปฏิกิริยาและพลังงานกระตุ้นดังแสดงในตารางที่ 4.17 - 4.19 พบว่า ที่อุณหภูมิแกซิฟายระหว่าง 900 - 1,100 องศาเซลเซียส ค่าพลังงานกระตุ้นของปฏิกิริยาแกซิฟายถ่านชาร์บ้านปู และลำปางอยู่ในช่วง 44 - 69 และ 51 - 66 กิโลจูลต่อมอล ตามลำดับ และค่าพลังงานกระตุ้นของปฏิกิริยาแกซิฟายถ่านชาร์บ้านปูที่ผ่านการล้างสารอนินทรีย์แล้วอยู่ในช่วง 57 - 77 กิโลจูลต่อมอล โดยค่าพลังงานกระตุ้นจะเปลี่ยนแปลงไปตามชนิดของถ่านชาร์และ การล้างสารอนินทรีย์ และเมื่อเบรี่ยบเทียบค่าพลังงานกระตุ้นที่ได้กับงานวิจัยที่ผ่านมา ดังแสดงในตารางที่ 4.20 พบว่า ค่าพลังงานกระตุ้นที่ได้จากการวิจัยนี้ใกล้เคียงกับงานของ Ahn D.H. และคณะ [14] ที่มีค่าเท่ากับ 71.5 กิโลจูลต่อมอล ซึ่งใช้ถ่านหินศักดิ์ชับบิทูมินัส แต่มีค่าต่ำกว่างานวิจัยอื่นๆ ที่กล่าวมา

5.9. ข้อเสนอแนะ

1. ระบบการไฟโรไอลส์อย่างรวดเร็ว (rapid pyrolysis) มีความสำคัญในด้านของการกำจัดของภาระภายในเครื่องปฏิกรณ์ผลิตก๊าซเชื้อเพลิง ซึ่งข้อมูลที่ได้จากการไฟโรไอลส์อย่างรวดเร็วนี้จะเป็นประโยชน์ต่อการออกแบบและกำหนดภาระการดำเนินงาน ดังนั้นควรศึกษาระบบการไฟโรไอลส์อย่างรวดเร็วในเครื่องปฏิกรณ์ชนิดอื่น เช่น เครื่องปฏิกรณ์แบบฟลูอิเดอร์เบด เป็นต้น
2. ในระบบการไฟโรไอลส์อย่างรวดเร็ว นอกจากการศึกษาถึงปริมาณและคุณภาพของถ่านชาร์ทที่ได้แล้ว สมบัติของผลิตภัณฑ์ก๊าซและของเหลวที่เป็นสิ่งที่นำสนับสนุนศึกษาเพิ่มเติมต่อไป
3. ปัจจัยที่ส่งผลกระทบต่อความว่องไวของถ่านชาร์ท นอกจากภาระการไฟโรไอลส์ถ่านหินแล้ว สมบัติของถ่านหินเริ่มต้นก็เป็นสิ่งสำคัญที่บ่งชี้ถึงความว่องไวของถ่านชาร์ทที่ได้ เช่น ชนิดและปริมาณสารอนินทรีย์ที่เป็นองค์ประกอบในถ่าน เป็นต้น ผลของสารอนินทรีย์อาจศึกษาโดยใช้วิธีแต่ละขั้นตอน การล้างสารอนินทรีย์ออกจากถ่านหินด้วยสารละลายกรดต่างชนิดกัน
4. ในการศึกษาจนผลศาสตร์ของปฏิกิริยาแก๊สฟาย นอกจากอุณหภูมิขณะแก๊สฟายแล้ว ยังมีตัวแปรต่างๆ ที่สำคัญต่อปฏิกิริยาที่นำศึกษาเพิ่มเติมอีกมาก เช่น ผลของความดันย่อยของก๊าซที่เข้าทำปฏิกิริยา อุณหภูมิและความดันรวมของระบบที่สูงขึ้น รวมถึงชนิดของเครื่องปฏิกรณ์ที่ใช้ด้วย

5.10. ข้อสังเกตเพื่อปรับปรุง

1. สำหรับการวิเคราะห์แบบประมาณโดยการใช้เครื่องวิเคราะห์ทางความร้อน ค่าที่ยอมรับได้เมื่อเปรียบเทียบกับการวิเคราะห์ตามมาตรฐานอเมริกัน ยังมีความแตกต่างกันอยู่บ้าง ดังนั้นควรทำการปรับปรุงการทดลองให้ได้ผลใกล้เคียงกันมากขึ้น โดยอาจจะปรับปรุงในส่วนโปรแกรมการวิเคราะห์ เช่น อุณหภูมิสุดท้าย เวลา อัตราการให้ความร้อนและบรรยายกาศที่ใช้ เพื่อหาภาวะที่เหมาะสมที่สุดสำหรับเครื่องวิเคราะห์ทางความร้อน และเพื่อป้องกันการผิดพลาดของผลการวิเคราะห์ ควรทำการทดลองเปรียบเทียบทองแต่ละตัวอย่าง ระหว่างการวิเคราะห์ทางความร้อน กับการวิเคราะห์ตามมาตรฐานอเมริกัน ภายใต้เงื่อนไขเดียวกัน

2. ระบบป้อนตัวอย่างถ่านหิน/ถ่านชาร์ท เนื่องจากในการทดลองนี้ยังมีความคลาดเคลื่อนของน้ำหนักตัวอย่างถ่านหิน/ถ่านชาร์ท ในแต่ละครั้งของการป้อน ดังนั้นจึงควรปรับปรุงระบบการป้อนโดยอาจใช้เป็นระบบฟลูอิเดอร์เบด หรือระบบการป้อนแบบสกรู (screw feeder) ที่มีความละเอียดและแม่นยำสูง และยังสามารถปรับปรุงเป็นระบบการป้อนแบบต่อเนื่อง เพื่อป้องกันอาการปนเปื้อนจากภายนอกอีกด้วย

3. เนื่องจากเครื่องปฏิกรณ์ที่ใช้ในการทดลองนี้ ไม่สามารถเก็บตัวอย่างถ่านชาร์ที่ผ่านการแกซิฟายที่เวลาต่างๆ ได้ ดังนั้นจึงควรออกแบบหรือปรับปรุงให้สามารถเก็บตัวอย่างที่เวลาต่างๆ ได้ โดยการติดตั้ง sampling probe เพื่อเป็นประโยชน์ในการศึกษาและติดตามการเปลี่ยนแปลงไปของตัวอย่างที่นำมาแกซิฟาย เช่น การติดตามในด้านรูปร่างลักษณะที่เปลี่ยนแปลงไป (morphology change) และเพื่อความแม่นยำในการศึกษาด้านจนผลศาสตร์ของการแกซิฟายต่อไป

4. การควบคุมอุณหภูมิภายในเครื่องปฏิกรณ์ให้คงที่ อาจใช้อุปกรณ์การให้ความร้อนที่มีการเปล่งระบบควบคุมอุณหภูมิเป็นส่วนๆ เพื่อรักษาอุณหภูมิให้คงที่ตลอดความยาวของเครื่องปฏิกรณ์

5. ระบบการกำจัดก๊าซพิษและน้ำมันทาร์ เนื่องจากในการทดลองนี้ยังมีปัญหาเกี่ยวกับการกำจัดก๊าซพิษและน้ำมันทาร์จากการไฟโรไอลส์ถ่านหิน ดังนั้นจึงควรปรับปรุงระบบกำจัดให้มีประสิทธิภาพมากขึ้น เช่น อาจติดตั้งไฮคลอน อุปกรณ์ดักจับหรือกรองก๊าซพิษ

6. ระบบหล่อเย็นอุปกรณ์เก็บตัวอย่างถ่านชาร์ ควรควบคุมอุณหภูมิในระบบหล่อเย็นให้ต่ำคงที่ตลอดทั้งการทดลอง เพื่อยับยั้งการเกิดปฏิกิริยาต่อของถ่านชาร์ ในช่วงเวลาเดียวกันโดยตลอด

7. ในกรณีเคราะห์ก๊าซที่ได้จากการทดลองควรต่อท่อทางออกของก๊าซเข้าโดยตรงกับระบบที่ใช้ในการวิเคราะห์ ทั้งนี้เพื่อความแม่นยำในการวิเคราะห์และป้องกันการปนเปื้อนจากอากาศภายนอก หรือหากต้องใช้อุปกรณ์เก็บก๊าซ ควรระมัดระวังในการเก็บ เพื่อป้องกันก๊าซรั่วออก และก๊าซปนเปื้อนจากอากาศภายนอก นอกจากนี้ ยังต้องบันทึกอุณหภูมิและความดันขณะทำการทดลองอีกด้วย

รายการอ้างอิง

1. Energy Policy and Planning Office Ministry of Energy. Energy Database [Online]. April 2005. Available from: <http://www.eppo.go.th> [2005, April 20].
2. กัญจนा บุณยเกียรติ. เชื้อเพลิงและการเผาไหมี. กรุงเทพมหานคร: สำนักพิมพ์แห่งจุฬาลงกรณ์มหาวิทยาลัย, 2544.
3. Probstein, R.F., and Hicks, R.E. Synthetic Fuels. New York: McGraw Hill , 1982.
4. Solomon, P.R.; Hamblen, D.G.; Carangelo, R.M.; Serio, M.A.; and Deshpande, G.V. General model of coal devolatilization. Energy Fuels. 2 (1988): 405.
5. Speight, G. Chemistry and Technology of Coal. New York: Marcel Dekker , 1994.
6. Martin, A.E. Chemistry of Coal Utilization. 2nd Supp. Vol. New York: John Wiley & Sons , 1980.
7. ประไยชน์ ศรีสกันธ์. การศึกษาค่ารับอินเช็คขั้นของถ่านหินและผลิตภัณฑ์ วิทยานิพนธ์ปริญญา มหาบัณฑิต, ภาควิชาเคมีเทคนิค บัณฑิตวิทยาลัย จุฬาลงกรณ์มหาวิทยาลัย, 2528.
8. Robert, D.G.; and Harris, D.J. The role of bench-scale reactivity data in the assessment of coal for use in gasification. 12th International Conference on Coal Science, Australia: Cairns, 2003.
9. Hongwei, W.; Gary, B.; Kathy, B.; and Terry, W. An experimental study on the effect of system pressure on char structure of an Australian bituminous coal. Energy & Fuels. 14 (2000): 282 - 290.
10. Liu, H.; Kaneko, M.; Luo, C.; Kato, S.; and Kojima, T. Effect of pyrolysis time on the gasification reactivity of char with CO₂ at elevated temperatures. Fuel. 83 (2004): 1055 - 1061.
11. วิเชียร ดวงจิตธรรม. การค่าวัสดุในเชื้อของถ่านหินในฟลูอิเดอร์เบด วิทยานิพนธ์ปริญญา มหาบัณฑิต, ภาควิชาเคมีเทคนิค บัณฑิตวิทยาลัย จุฬาลงกรณ์มหาวิทยาลัย, 2528.
12. Johnson, J.L. Kinetics of Coal Gasification. New York: John Wiley & Sons , 1979.

13. Ye, D.P.; Agnew, J.B.; and Zhang, D.K. Gasification of a South Australian low-rank coal with carbon dioxide and steam: kinetics and reactivity studies. *Fuel*. 77 (1998): 1209 - 1219.
14. Ahn, D.H.; Gibbs, B.M.; Ko, K.H.; and Kim, J.J.; Gasification kinetics of an Indonesian subbituminous coal-char with CO₂ at elevated pressure. *Fuel*. 80 (2001): 1651 - 1658.
15. Levenspiel, O. *Chemical Reactions Engineering*. New York: John Wiley & Sons , 1999.
16. Sun, Q.; Li, W.; Chen, H.; and Li, B. The CO₂-gasification and kinetics of Shennmu maceral chars with and without catalyst. *Fuel*. 83 (2004): 1787 - 1793.
17. Samaras, P.; Diamadopoulos, E.; and Sakellaropoulos, G.P. The effect of mineral matter and pyrolysis conditions on the gasification of Greek lignite by carbon dioxide. *Fuel*. 75 (1996): 1108 - 1114.
18. Liu, H.; Kaneko, M.; Luo, C.; Kato, S.; and Kojima, T. Mineral reaction and morphology change during gasification of coal in CO₂ at elevated temperatures. *Fuel*. 82 (2003): 523 - 530.
19. Kajitani, S.; Hara, S.; and Matsuda, H. Gasification rate analysis of coal char with a pressurized drop tube furnace. *Fuel*. 82 (2002): 539 - 546.
20. Haykiri-Acma, H.; Ersoy-Mericboyu, A.; and Kucukbayrak, S. Effect of mineral matter on the reactivity of lignite chars. *Energy Conversion and Management*. 42 (2001): 11 - 20.
21. Matsuoka, K.; Akiho, H.; Xu, W.; Gupta, R.; Wall, T.F.; and Tomita, A. The physical character of coal char formed during rapid pyrolysis at high pressure. *Fuel*. 84 (2005): 63 - 69.
22. Sinag, A.; Sinek, K.; Tekes, A.T.; Misirlioglu, Z.; Canel, M.; and Wang, L. Study on CO₂ gasification reactivity of chars obtained from Soma-Isiklar lignite (Turkey) at various coking temperatures. *Chemical Engineering and Processing*. 00 (2003): 1 - 5.

23. บัณฑิต ปีตทวีคงค.ca. กระบวนการแก๊สifyถ่านหินลิกไนท์ในเตาปฏิกรณ์เคมีแบบฟลูอิดซ์ วิทยานิพนธ์ปริญญาดุษฎีบัณฑิต, ภาควิชาชีวกรรมเคมี บัณฑิตวิทยาลัย จุฬาลงกรณ์มหาวิทยาลัย, 2528.
24. สมพร บรรลือศรีเรือง. แก๊สifyเชื้อน้ำของถ่านชาร์ที่ล้างสารอนินทรีย์โดยใช้ตัวเร่งปฏิกิริยาและคาร์บอนเตต. วิทยานิพนธ์ปริญญาดุษฎีบัณฑิต, ภาควิชาเคมีเทคนิค บัณฑิตวิทยาลัย จุฬาลงกรณ์มหาวิทยาลัย, 2537.
25. สุภากรณ์ เศวตาภรณ์ และเครื่อมาส สุภาผล. ความว่องไวต่อปฏิกิริยาของถ่านชาร์จากถ่านหินในประเทศไทย. โครงการเรียนการสอนเพื่อเสริมประสบการณ์, ภาควิชาเคมีเทคนิค คณะวิทยาศาสตร์ จุฬาลงกรณ์มหาวิทยาลัย, 2544.
26. ASTM Standard, D2013 - 86. Preparing Coal Samples for Analysis. American Society for Testing and Materials, U.S.A., 2000.
27. Hayashi, J.; Takahashi, H.; Doi, S.; Kumagai, H.; and Chiba, T. Reactions in Brown Coal Pyrolysis Responsible for Heating Rate Effect on Tar Yield. Energy & Fuels. 14 (2000): 400 - 408.
28. ASTM Standard, D3172 - 89. Proximate Analysis of Coal and Coke. American Society for Testing and Materials, U.S.A., 2000.
29. ASTM Standard, D3176 - 89. Ultimate Analysis of Coal and Coke. American Society for Testing and Materials, U.S.A., 2000.
30. ASTM Standard, D2015 - 91. Gross Calorific Value of Coal and Coke by the Adiabatic Bomb Calorimeter. American Society for Testing and Materials, U.S.A., 2000.
31. ASTM Standard, D3177 - 89. Total Sulfur in the Analysis Sample of Coal and Coke. American Society for Testing and Materials, U.S.A., 2000.
32. ASTM Standard, D4326 - 94. Major and Minor Elements in Coal and Coke Ash By X-Ray Fluorescence. American Society for Testing and Materials, U.S.A., 2000.
33. Ng, S.H.; Fung, D.P.; and Kim, S. Study of the pore structure and reactivity of Canadian coal derived chars. Fuel. 67 (1988): 700 - 706.

34. Cai, H-Y.; Guell, A.J.; Chatzakis, I.N.; Lim, J.-Y.; Dugwell, D.R.; and Kandiyoti, R. Changes in Coal Char Reactivity and Structure with Pyrolysis Conditions: Effect of Temperature, Heating Rate and Pressure. Elsevier Science B.V. (1995).
35. Ochoa, J.; Cassanello, M.C.; Bonelli, P.R.; and Cukierman, A.L. CO₂ gasification of Argentinean coal chars: a kinetic characterization. Fuel Processing Technology. 74 (2001): 161 - 176.
36. Arenillas, A.; Pevida, C.; Rubiera, F.; and Pis, J.J. Comparison between the reactivity of coal and synthetic coal model. Fuel. 82 (2003): 2001 - 2006.
37. Luo, C.; Watanabe, T.; Nakamura, M.; Uemiya, S.; and Kojima, T. Development of FBR measurement of char reactivity to carbon dioxide at elevated temperatures. Fuel. 80 (2001): 233 - 243.

ភាគី

ภาคผนวก ก

วิธีวิเคราะห์

ก1. การวิเคราะห์ถ่านหินแบบประมาณ ตามวิธี ASTM Standard: D3172 - 89

ก1.1. การวิเคราะห์ร้อยละความชื้น (% Moisture) ตามวิธี ASTM Standard: D3173 - 87

อุปกรณ์การทดลอง

1. เตาอบ Drying Oven
2. ครูซิเบิลพอร์ซเลน (Porcelain Crucible)
3. เครื่องซั่งทศนิยม 4 ตำแหน่ง
4. หม้อดูดความชื้น บรรจุซิลิกาเจล (Silica Gel)

สารเคมีที่ใช้

-

วิธีการทดลอง

1. ชั่งน้ำหนักครูซิเบิลพอร์ซเลน แล้วบันทึกน้ำหนัก (ทศนิยม 4 ตำแหน่ง)
2. ตักตัวอย่างถ่านหินหรือถ่านชาาร์ใส่ครูซิเบิลพอร์ซเลน ประมาณ 1 กรัม แล้วชั่งน้ำหนักครูซิเบิลพอร์ซเลน และสารตัวอย่าง (ทศนิยม 4 ตำแหน่ง)
3. นำครูซิเบิลพอร์ซเลนที่บรรจุสารตัวอย่างเข้าเตาอบโดยเปิดฝาที่อุณหภูมิ 104 - 110 องศาเซลเซียส เป็นเวลา 1 ชั่วโมง
4. นำครูซิเบิลพอร์ซเลนที่บรรจุสารตัวอย่างออกจากเตาอบแล้วเก็บในหม้อดูดความชื้นประมาณ 15 นาที
5. ชั่งน้ำหนักครูซิเบิลพอร์ซเลน และสารตัวอย่างหลังอบเสร็จแล้วบันทึกน้ำหนัก (ทศนิยม 4 ตำแหน่ง)

การคำนวณ

$$\% \text{ Moisture} = \frac{\text{น้ำหนักถ่านหินที่หายไป}}{\text{น้ำหนักถ่านหินเริ่มต้น}} \times 100 \quad (\text{ก1.1})$$

ก1.2. การวิเคราะห์ร้อยละสารระเหย (% Volatile Matter) ตามวิธี ASTM Standard: D3175 - 89a

อุปกรณ์การทดลอง

1. เตาเผาแบบท่อ (tubular furnace)
2. ครุภัณฑ์เบลพอร์ซเลน (Porcelain Crucible)
3. เครื่องซึ่งทศนิยม 4 ตำแหน่ง
4. หม้อดูดความชื้น บรรจุซิลิกาเจล (Silica Gel)

สารเคมีที่ใช้

วิธีการทดลอง

1. ขั้งน้ำหนักครุภัณฑ์เบลพอร์ซเลนพร้อมฝา แล้วบันทึกน้ำหนัก (ทศนิยม 4 ตำแหน่ง)
2. ตักตัวอย่างถ่านหินหรือถ่านชาร์ไส่ครุภัณฑ์เบลพอร์ซเลน ประมาณ 1 กรัม แล้วซึ่งน้ำหนักครุภัณฑ์เบลพอร์ซเลน และสารตัวอย่าง (ทศนิยม 4 ตำแหน่ง)
3. นำครุภัณฑ์เบลพอร์ซเลนที่บรรจุสารตัวอย่าง และปิดฝาเรียบร้อยแล้วไปเผาที่ส่วนบนของเตาเผาที่ตั้งอุณหภูมิไว้ 950 องศาเซลเซียส เป็นเวลา 3 นาที เสื่อนลงมาเผาที่ปากเตาเผาอีกเป็นเวลา 6 นาที จากนั้นเสื่อนลงไปเผาที่ตรงกลางเตาเผาเป็นเวลา 6 นาที
4. นำครุภัณฑ์เบลพอร์ซเลนที่บรรจุสารตัวอย่างออกจากเตาเผาแล้วเก็บในหม้อดูดความชื้นประมาณ 15 นาที
5. ขั้งน้ำหนักครุภัณฑ์เบลพอร์ซเลนพร้อมฝาและสารตัวอย่างหลังเผาเสร็จแล้วบันทึกน้ำหนัก (ทศนิยม 4 ตำแหน่ง)

การคำนวณ

$$\% \text{ Volatile Matter} = \frac{\text{น้ำหนักถ่านหินที่หายไป}}{\text{น้ำหนักถ่านหินเริ่มต้น}} \times 100 \quad (\text{ก1.2})$$

ก1.3. การวิเคราะห์อัมโอลส์เต้า (% Ash) ตามวิธี ASTM Standard: D3174 - 89

อุปกรณ์การทดลอง

1. เตาเผา Muffle Furnace
2. ครุภัณฑ์เบลพอร์ซเลน (Porcelain Crucible)
3. เครื่องขึ้นทศนิยม 4 ตำแหน่ง
4. หม้อดูดความชื้น บรรจุซิลิกาเจล (Silica Gel)

สารเคมีที่ใช้

วิธีการทดลอง

1. ขั้งน้ำหนักครุภัณฑ์เบลพอร์ซเลน และบันทึกน้ำหนัก (ทศนิยม 4 ตำแหน่ง)
2. ตักตัวอย่างถ่านหินหรือถ่านชาร์ไส่ครุภัณฑ์เบลพอร์ซเลน ประมาณ 1 กรัม และขั้งน้ำหนักครุภัณฑ์เบลพอร์ซเลน และสารตัวอย่าง (ทศนิยม 4 ตำแหน่ง)
3. นำครุภัณฑ์เบลพอร์ซเลนที่บรรจุสารตัวอย่างเข้าเตาเผาที่ตั้งอุณหภูมิ 750 องศาเซลเซียส เป็นเวลา 3 ชั่วโมง
4. นำครุภัณฑ์เบลพอร์ซเลนที่บรรจุสารตัวอย่างออกจากเตาเผาแล้วเก็บในหม้อดูดความชื้นประมาณ 15 นาที
5. ขั้งน้ำหนักครุภัณฑ์เบลพอร์ซเลนพร้อมฝาและสารตัวอย่างหลังเผาเสร็จแล้วบันทึกน้ำหนัก (ทศนิยม 4 ตำแหน่ง)
6. น้ำหนักตัวอย่างจากขั้ง 5 อีกประมาณ 15 นาทีแล้วจึงขั้งน้ำหนัก จนกว่าทั้งน้ำหนักทั้ง 2 ครั้งต่างกันไม่เกิน 0.001 กรัม

การคำนวณ

$$\% Ash = \frac{\text{น้ำหนักถ่านหินที่เหลืออยู่}}{\text{น้ำหนักถ่านหินเริ่มต้น}} \times 100 \quad (\text{ก1.3})$$

ก1.4. การวิเคราะห์อัมโอลคาร์บอนคงตัว (% Fixed Carbon)

การคำนวณ

$$\% Fixed Carbon = 100 - (\% Moisture) - (\% Volatile Matter) - (\% Ash) \quad (\text{ก1.4})$$

ก2. การวิเคราะห์ค่าความร้อน (Heating Value) และปริมาณซัลเฟอร์ (% Sulfur) ตามวิธี

ASTM Standard: D2015 - 91, 3177 - 89

อุปกรณ์การทดลอง

1. ชุดอุปกรณ์ Bomb Calorimeter
2. เครื่องซั่งทศนิยม 4 ตำแหน่ง
3. บีกเกอร์ขนาด 1,000 มิลลิลิตร
4. บิวเรต (Buret)
5. ปีเพต (Pipet)
6. ขวดรูปชามพู่
7. กรวยแก้ว
8. กระดาษกรองเบอร์ 1 และเบอร์ 42
9. Hot Plate
10. เตาเผา Muffle Furnace
11. ลวด Nickel-Chromium
12. Firing Cotton
13. หม้อดูดความชื้น บรรจุซิลิกาเจล (Silica Gel)

สารเคมีที่ใช้

1. ก้าขอกอกซิเจน
2. สารละลายน้ำ Methyl Orange
3. สารละลายน้ำโซเดียมคาร์บอเนต (Na_2CO_3 0.0709 N)
4. สารละลายน้ำไฮโดรคลอริก ($\text{HCl} : \text{H}_2\text{O} = 1 : 9$ by volume)
5. สารละลายน้ำแม่เหล็ก (BaCl_2 100 g/L)
6. สารละลายน้ำออกไซด์เงิน (AgNO_3 0.43 g/ 100 mL)
7. น้ำกลั่น

วิธีการทดลอง

1. ชั้งตัวอย่างถ่านหินหรือถ่านชาร์ ประมาณ 1 กรัม ใส่ลงในครูซิเบลของชุดอุปกรณ์ Bomb Calorimeter
2. วัดลวดนิเกลโครเมียมยาว 10 เมตร ตามติดกับลวดให้แน่น ให้ปลาย Firing Cotton แตะกับถ่านหินแล้วล็อกให้แน่น แล้วผูก Firing Cotton ติดกับลวดให้แน่น ให้ปลาย Firing Cotton แตะกับถ่านหิน
3. เติมน้ำล้าง Bomb Calorimeter 1 มิลลิเมตร ($\text{MO:H}_2\text{O}$ 1:1,000) ลงใน Oxygen Bomb จากนั้นประกอบชุด Bomb Calorimeter แล้วนำไปอัดก้าซออกซิเจน ความดัน 30 บาร์
4. เติมน้ำกลั่น 2,000 มิลลิลิตรลงใน Vessel และอุ่นให้อุณหภูมิประมาณ 35 องศาเซลเซียส แล้วนำไปตั้งในเครื่องให้แกนข้าง Vessel ลงในล็อกพอดี จากนั้นนำ Oxygen Bomb ใส่ลงใน Vessel
5. ปรับค่าอุณหภูมิของน้ำใน Water jacket ให้ใกล้เคียง Vessel แตกต่างไม่เกิน 0.5 องศาเซลเซียส การปรับโดยปรับปุ่ม Balance จากແນ征服คุณด้านหน้าเครื่อง
6. กด Firing plug เพื่อต่อเข้ากับ Electrode socket บน Oxygen Bomb กด Test ทดสอบโดยไฟ Test จะติด
7. รอนอุณหภูมิใน Water Vessel คงที่จึงกดจุดระเบิดการเผาไฟ บันทึกค่าอุณหภูมิเริ่มต้น และรอนอุณหภูมิเม้าไฟ ได้ค่าสูงสุด บันทึกค่าอุณหภูมิสุดท้าย
8. นำ Oxygen Bomb ออกแล้วค่อยๆ ลดความดันลงจนหมด ล้างภายใน Oxygen Bomb ด้วยน้ำล้าง Bomb Calorimeter หลายครั้ง ลงในขวดรูปชามพู่ขนาด 250 มิลลิลิตร และวัดความยาวลวดที่เหลือจากการเผาไฟ
9. นำสารละลายที่ได้จากข้อ 8 ไปต่อต่อกับสารละลายโซเดียมคาร์บอเนตเข้มข้น 0.0709 N (3.77 g/L) บันทึกปริมาตรของสารละลายที่ใช้
10. ปรับสารละลายที่ได้จากข้อ 9 ให้เป็นกลางด้วยสารละลายแอมโมเนียมไฮดรอกไซด์ (1:10) จากนั้นต้มจนเดือด แล้วกรองด้วยกระดาษกรองเบอร์ 1
11. ล้างตะกอนด้วยน้ำเดือด 5 - 6 ครั้ง
12. เติมสารละลายกรดไฮโดรคลอริก (1:9) 1 มิลลิลิตร ในสารละลายที่ผ่านการกรองแล้ว จากนั้นนำไปคุณให้ร้อน ระหว่างอุ่นให้เติมสารละลายแบบเรียมคลอไรด์ 10 มิลลิลิตร (คนขณะเติม) แล้วอุ่นต่อ 15 นาที
13. ตั้งทิ้งไว้ 1 คืน
14. นำมาอุ่นแล้วนำมากรองด้วยกระดาษกรองเบอร์ 42 (ashless)
15. ล้างตะกอนด้วยน้ำร้อน จนกระทั่งสารละลายที่ผ่านการกรองได้จะไม่เปลี่ยนเป็นสารที่忠 เมื่อทำปฏิกิริยากับสารละลายซิลเวอร์ในเตรต ($0.43 \text{ g} / 100 \text{ mL}$)

16. นำสารที่กรองได้ (แบเรียมชัลเฟต) พร้อมกระดาษกรองไปเผาที่อุณหภูมิ 850 องศาเซลเซียส เป็นเวลา 3 ชั่วโมง (น้ำหนักคงที่)
17. ซึ่งน้ำหนักตะกอนที่เหลืออยู่

การคำนวณ

$$\% \text{ Sulfur} = \frac{13.738 \times \text{น้ำหนักตะกอนหลังเผา}}{\text{น้ำหนักถ่านหินเริ่มต้น}} \quad (\text{ก2.1})$$

$$\text{Heating Value (Cal/g)} = [t(E) - e_1 - e_2 - e_3]/g \quad (\text{ก2.2})$$

โดยที่

$$t = \text{อุณหภูมิที่เพิ่มขึ้น} (^{\circ}\text{C})$$

$$E = \text{Calorimeter energy equivalent} = 2,409 \text{ (Cal}/^{\circ}\text{C)}$$

$$e_1 = 4.783 \text{ (Cal/mL)} \times \text{ปริมาตรของโซเดียมคาร์บอเนต (mL)}$$

$$e_2 = 2.27 \text{ (Cal/cm)} \times \text{ความยาวของลดที่เผาไหม้ไป (cm)}$$

$$e_3 = 13.18 \times \% \text{ Sulfur} \times \text{น้ำหนักถ่านหิน (g)}$$

$$g = \text{น้ำหนักถ่านหิน (g)}$$

$$1.8 \text{ Btu/lb} = 1 \text{ Cal/g}$$

ภาคผนวก ๖

ผลการวิเคราะห์

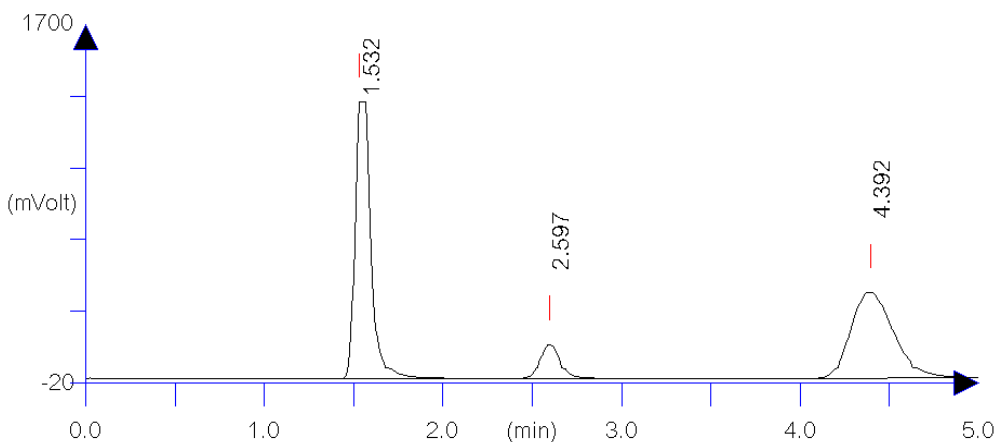
ตารางที่ ๖ ค่าความแตกต่างที่ยอมรับได้ของ การตรวจสอบซ้ำ (repeatability) และการตรวจสอบใหม่ (reproducibility)

สมบัติ	ค่าความแตกต่างที่ยอมรับได้ (%)	
	การตรวจสอบซ้ำ	การตรวจสอบใหม่
ความชื้น		
- ถ่านหินมีความชื้นมากกว่า 5 %	0.3	0.5
- ถ่านหินมีความชื้นน้อยกว่า 5 %	0.2	0.3
สารระเหยได้		
- เชมิแอนทราไซต์	0.5	1.0
- ชับบิทูมนัส	0.7	1.4
- ลิกไนต์	1.0	2.0
เถ้า		
- ไม่มีคาร์บอเนต	0.2	0.3
- มีคาร์บอเนต	0.3	0.5
- มีเถ้ามากกว่า 12 % และมี คาร์บอเนตและไฟไวท์	0.5	1.0

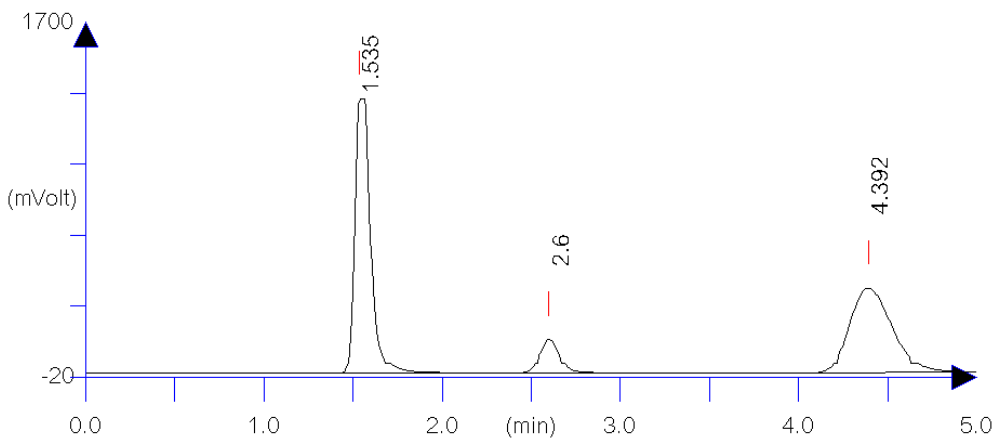
ภาคผนวก ค

ตัวอย่างการคำนวณ

ค1. การคำนวณปริมาณก๊าซคาร์บอนมอนอกไซด์จากการวิเคราะห์ด้วยเครื่องแก๊สโคลมาโทกราฟ
 การคำนวณหาความเข้มข้นของก๊าซที่แท้จริงนั้น จำเป็นต้องเทียบพื้นที่กราฟของสารตัวอย่าง กับกราฟที่ได้จากการฉีดก๊าซมาตรฐานที่รู้ความเข้มข้นขององค์ประกอบแน่นอน บันทึกอุณหภูมิห้องที่ฉีดก๊าซมาตรฐานเป็น 30.4 องศาเซลเซียส จากการฉีดก๊าซมาตรฐาน 2 ครั้ง ได้โคลมาโทแกรมดังแสดงในรูป ค1.1 และ ค1.2 ซึ่งมี retention time และพื้นที่เฉลี่ยดังแสดงในตารางที่ ค1.1



รูปที่ ค1.1 โคลมาโทแกรมที่ได้จากการฉีดก๊าซมาตรฐานครั้งที่ 1



รูปที่ ค1.2 โคลมาโทแกรมที่ได้จากการฉีดก๊าซมาตรฐานครั้งที่ 2

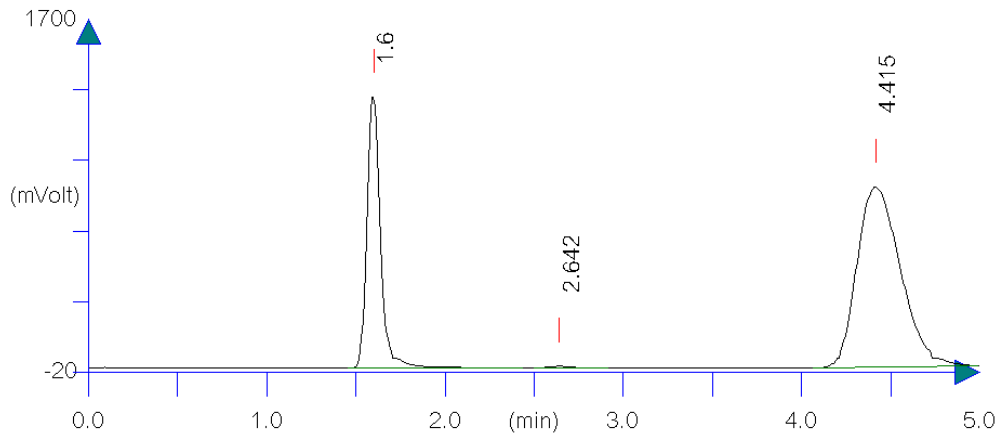
ตารางที่ ค1.1 เวลา retention และพื้นที่ขององค์ประกอบจากการฉีดก๊าซมาตรฐาน 2 ครั้ง

retention time	component	% mole	area	$\mu\text{mole}/\text{area}$
1.57	CO	21.8	8.29E+07	5.28E-09
2.602	CH_4	3.02	1.03E+07	5.89E-09
4.345	CO_2	75.18	6.41E+07	2.35E-08

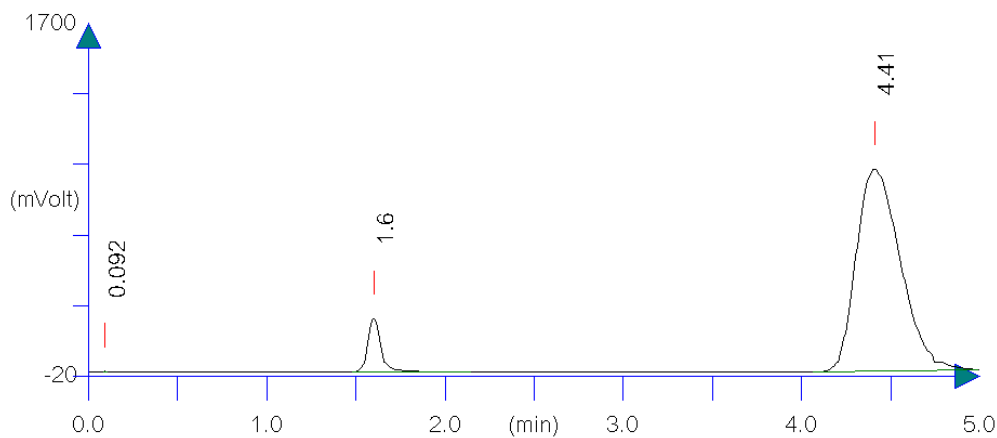
$$\begin{aligned}
 \text{จากปริมาณก๊าซมาตรฐานที่ฉีด } 50 \text{ ไมโครลิตร} &= (50 \text{ ไมโครลิตร})(760 \text{ มิลลิเมตรป্রอท})(273 \text{ เคลวิน}) \\
 &\quad (22.4 \times 10^6 \text{ ไมโครลิตร})(760 \text{ มิลลิเมตรป্রอท})(273 + 30.4 \text{ เคลวิน}) \\
 &= 2.008 \times 10^{-6} \text{ ไมล} \\
 &= 2.008 \text{ ไมโครไมล} \\
 \text{ในก๊าซมาตรฐาน } 2.008 \text{ } \mu\text{mole} \text{ มีค่ารับอนุมอนอกไซด์} &= 2.008 \times 0.218 \text{ ไมโครไมล} \\
 &= 0.44 \text{ ไมโครไมล} \\
 \text{จากการฉีดสารมาตรฐาน 2 ครั้ง มีพื้นที่ของคาร์บอนมอนอกไซด์เฉลี่ยเป็น} & 8.29 \times 10^7 \\
 \text{CF} = 0.44 / (8.29 \times 10^7) &= 5.28 \times 10^{-9} \text{ ไมโครไมลต่อหน่วยพื้นที่}
 \end{aligned}$$

ค1.1. ตัวอย่างการคำนวณความเข้มข้นของก๊าซที่ได้จากการแก๊สify

จากการผลการแก๊สifyถ่านชาร์บันปูนขนาด 150 - 250 ไมโครเมตร อุณหภูมิไฟโรไลส์ 700 องศาเซลเซียส แก๊สifyที่อุณหภูมิ 1,000 องศาเซลเซียส เก็บก๊าซที่เวลา 0 - 1 และ 1 - 2 นาที เวลาเก็บก๊าซ 1 นาที ใช้ถุงเก็บก๊าซขนาด 1 ลิตร ปริมาณที่ฉีด 50 ไมโครลิตร ได้คromaโทแกรมแสดงดังรูปที่ ค1.3 และ ค1.4 ตามลำดับ ค่า retention time และพื้นที่ได้พิคแสดงดังตารางที่ ค1.2



รูปที่ ค 1.3 โครมาโทแกรมที่ได้จากการฉีดก๊าซจากการแก๊สifyที่เวลา 0 - 1 นาที



รูปที่ ค 1.4 โครมาโทแกรมที่ได้จากการฉีดก๊าซจากการแก๊สifyที่เวลา 1 - 2 นาที

ตารางที่ ค 1.2 retention time และพื้นที่ใต้พื้นที่ให้พื้นที่ขององค์ประกอบจากการฉีดก๊าซที่ได้จากการแก๊สifyถ่านชาร์บ้านปูขนาด 150 - 250 ไมโครเมตร อุณหภูมิไฟโรไลส์ 700 องศาเซลเซียส ที่อุณหภูมิ 1,000 องศาเซลเซียส เก็บก๊าซที่เวลา 0 - 1 และ 1 - 2 นาที

retention time	component	Sampling time (min.)			
		Peak area		Amount (μmol)	
		0 - 1	1 - 2	0 - 1	1 - 2
1.6	CO	44442700	41634090	3100	2900
2.642	CH_4	1844864	73938	143	5.74
4.415	CO_2	162707800	167412200	50516	51977

$$\begin{aligned} \text{ก๊าซปริมาตร } 50 \text{ ไมโครลิตร มี CO} &= (5.28E-09)(44442700) \\ &= 0.235 \text{ ไมโครโมล} \end{aligned}$$

$$\begin{aligned} \text{ก๊าซปริมาตร } 660,000 \text{ ไมโครลิตร มี CO} &= (0.235)(660,000) / (50) \\ &= 3,100 \text{ ไมโครโมล} \end{aligned}$$

เนื่องจากเก็บก๊าซแต่ละครั้งในช่วงเวลา 1 นาที ดังนั้นปริมาณ CO จึงเป็น 3,100 ไมโครโมลต่อนาที สำหรับก๊าซชนิดอื่นคิดในลักษณะเดียวกัน จะได้ค่า CF ของ CH_4 และ CO_2 เป็น 5.89E-09 และ 2.35E-08 ไมโครโมลต่อหน่วยพื้นที่ ซึ่งสามารถคำนวณออกมาเป็น 143 และ 50516 ไมโครโมลต่อนาที ตามลำดับ ตารางที่ ค1.3 แสดงผลการวิเคราะห์ปริมาณและองค์ประกอบที่ได้จากการฉีดก๊าซจากการแก๊สifyถ่านชาร์บ้านปูขนาด 150 - 250 ไมโครเมตรร อุณหภูมิไฟโรไลส์ 700 องศาเซลเซียส ที่อุณหภูมิ 1,000 องศาเซลเซียส

ตารางที่ ค1.3 ผลการวิเคราะห์ปริมาณและองค์ประกอบที่ได้จากการแก๊สifyถ่านชาร์บ้านปูขนาด 150 - 250 ไมโครเมตรร อุณหภูมิไฟโรไลส์ 700 องศาเซลเซียส ที่อุณหภูมิ 1,000 องศาเซลเซียส

Sampling time	Sampling time (min.)	Peak area			Amount of gas (μmole/min.)		
		CO	CH_4	CO_2	CO	CH_4	CO_2
0 - 1	1	4.44E+07	1.84E+06	1.63E+08	3100	143	50516
1 - 2	1	4.16E+07	7.39E+04	1.67E+08	2900	5	51977
2 - 3	1	2.92E+07	0.00E+00	1.71E+08	2035	0	53204
3 - 4	1	1.93E+07	0.00E+00	1.69E+08	1345	0	52319
4 - 5	1	1.40E+07	0.00E+00	1.75E+08	974	0	54217
5 - 6	1	9.66E+06	0.00E+00	1.77E+08	673	0	55089
6 - 7	1	6.76E+06	0.00E+00	1.76E+08	470	0	54753
7 - 8	1	3.33E+06	0.00E+00	1.71E+08	231	0	53019
13 - 14	1	1.20E+05	0.00E+00	1.83E+08	8	0	56844
19 - 20	1	4.50E+04	0.00E+00	1.78E+08	3	0	55392

จากตารางที่ ค1.3 จะเห็นว่ากําชที่ได้จากการแกซิฟายจะมี CO และ CO₂ เป็นองค์ประกอบหลัก โดย CO จะเกิดมากในช่วงแรกและลดลงตามเวลาที่มากขึ้นและมีกําช CH₄ เกิดขึ้นในช่วงแรกๆ แต่มีปริมาณน้อยมากเมื่อเทียบกับปริมาณ CO และ CO₂ มีปริมาณใกล้เคียงกันตลอดการทดลอง ดังนั้น จึงใช้สมมติฐานว่า เกิดปฏิกิริยาบูดูอาร์ดเพียงปฏิกิริยาเดียวดังแสดงในสมการที่ ค1.2



ซึ่งมีกําช CO เป็นผลิตภัณฑ์เพียงชนิดเดียว ดังนั้น งานวิจัยนี้นำเฉพาะปริมาณ CO มาใช้ในการคำนวณค่าร้อยละการเปลี่ยน (% carbon conversion) เท่านั้น

ค2. ตัวอย่างการคำนวณค่าร้อยละการเปลี่ยนของคาร์บอน (% carbon conversion) [37]
มีสมมติฐานว่า ปฏิกิริยาแกซิฟายถ่านchar ในบรรยากาศกําชcarbon dioxide ได้ออกไชด์เกิดขึ้นเพียงปฏิกิริยาเดียว คือ



จากผลการวิเคราะห์ปริมาณกําชcarbon บนมอนอกไชด์ที่เกิดขึ้นกับเวลาสามารถคำนวณอัตราการเกิดปฏิกิริยาได้จากสมการ

$$\frac{dX}{dt} = \frac{M_C f_{CO}}{(2W_o)} \quad (\text{ค2.1})$$

$$X = \int_0^t [f_{CO} M_C / (2W_o)] dt \quad (\text{ค2.2})$$

$$W_o = \int_0^\infty [f_{CO} M_C / 2] dt \quad (\text{ค2.3})$$

เมื่อ

- | | |
|----------|--|
| f_{CO} | = อัตราการเกิดกําชcarbon บนมอนอกไชด์, โมลต่อนาที |
| X | = เศษส่วนการเปลี่ยนของคาร์บอน |
| M_C | = มวลโมเลกุลของคาร์บอน |
| W_o | = ปริมาณcarbon ในถ่านchar, โมล |

ตัวอย่างการคำนวณผลการทดลอง

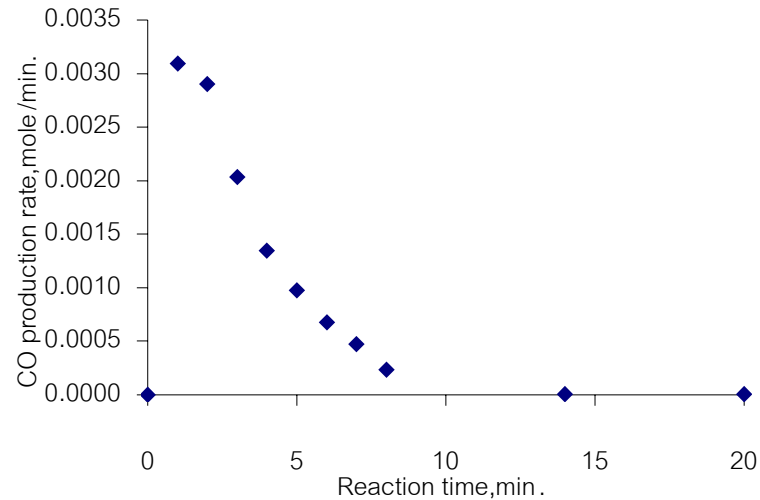
ถ่านชาร์บ้านปูนขนาด 150 - 250 ไมโครเมตร อุณหภูมิไฟโรไลส์ 700 องศาเซลเซียส แกซิฟายที่ อุณหภูมิ 1,000 องศาเซลเซียส ดังแสดงดังตารางที่ ค2.1

ตารางที่ ค2.1 ตัวอย่างการคำนวณค่าร้อยละการเปลี่ยนของถ่านชาร์กับเวลา

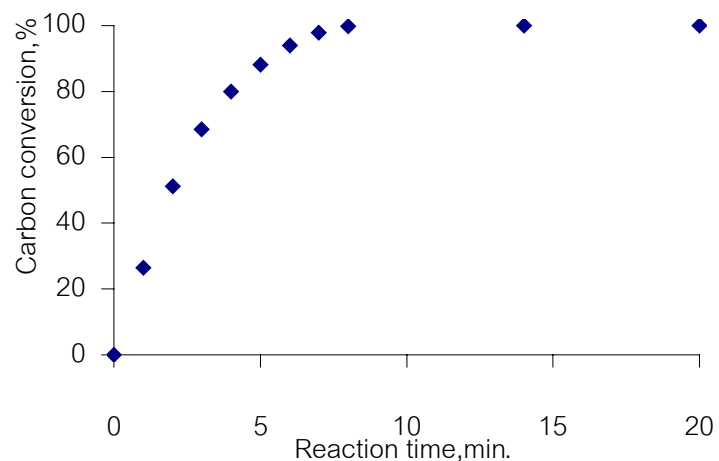
Report

Sample name	BPL(1,700)	CO_2 flow rate	660	mL/min
Particle size	150-250 μm	Gasification Temp	1000	°C
Sample Wt.(daf)	0.08992 g	Room Temp	30.4	°C
%C(daf)	67.027 %	Initial Carbon	0.00533	mole
		Actual flow rate	659	mL/min

Sample No.	Reaction time	CO production	Carbon consumption	Carbon consumption	Carbon conversion
		rate at min	rate (mole/min.)	rate (mole/min.)	accumulate (mole)
0	0	0.00E+00	0.00E+00	0.00E+00	0.00
1	0-1	3.10E-03	1.55E-03	1.55E-03	26.37
2	1-2	2.90E-03	1.45E-03	3.00E-03	51.08
3	2-3	2.04E-03	1.02E-03	4.02E-03	68.42
4	3-4	1.35E-03	6.73E-04	4.69E-03	79.88
5	4-5	9.74E-04	4.87E-04	5.18E-03	88.18
6	5-6	6.73E-04	3.37E-04	5.51E-03	93.92
7	6-7	4.71E-04	2.35E-04	5.75E-03	97.93
8	7-8	2.32E-04	1.16E-04	5.86E-03	99.90
14	13-14	8.33E-06	4.17E-06	5.87E-03	99.97
20	19-20	3.14E-06	1.57E-06	5.87E-03	100.00



รูปที่ ค2.1 ความสัมพันธ์ระหว่างอัตราการเกิดกําชかる์บอนมอนอกไซด์กับเวลา



รูปที่ ค2.2 ความสัมพันธ์ระหว่างร้อยละการเปลี่ยนของถ่านชาาร์กับเวลา

ค3. ผลการทดสอบแบบจำลอง

แบบจำลองทางจลนพลศาสตร์ที่ใช้อธิบายการแกซิฟายถ่านหินที่เป็นพื้นฐานและนิยมใช้ในการอธิบาย คือ คือ แบบจำลองไฮโมจีเนียส (Homogeneous model) และแบบจำลองแกนกลางหดตัว (Shrinking-core model) ซึ่งมีสมมติฐานว่า เป็นปฏิกิริยาอันดับที่หนึ่งและมีขั้นการเกิดปฏิกิริยาเคมีเป็นขั้นควบคุมปฏิกิริยา

1. แบบจำลองไฮโมจีเนียส (Homogeneous model) มีสมการอัตราเร็วของปฏิกิริยาดังแสดงในสมการที่ ค3.1

$$\frac{dX}{dt} = k(1-X) \quad (\text{ค3.1})$$

และอนิทิเกรตสมการที่ 1 จะได้ความสัมพันธ์เชิงเส้นระหว่าง $-\ln(1-X)$ กับเวลา ดังแสดงในสมการที่ ค3.2

$$t = -\ln(1-X)k^{-1} \quad (\text{ค3.2})$$

เมื่อ X แทน สัดส่วนการเปลี่ยนแปลงไปของถ่าน化
 k แทน ค่าคงที่ปฏิกิริยา

สามารถหาค่าคงที่ปฏิกิริยาได้จากความชันของความสัมพันธ์ดังสมการที่ ค3.2

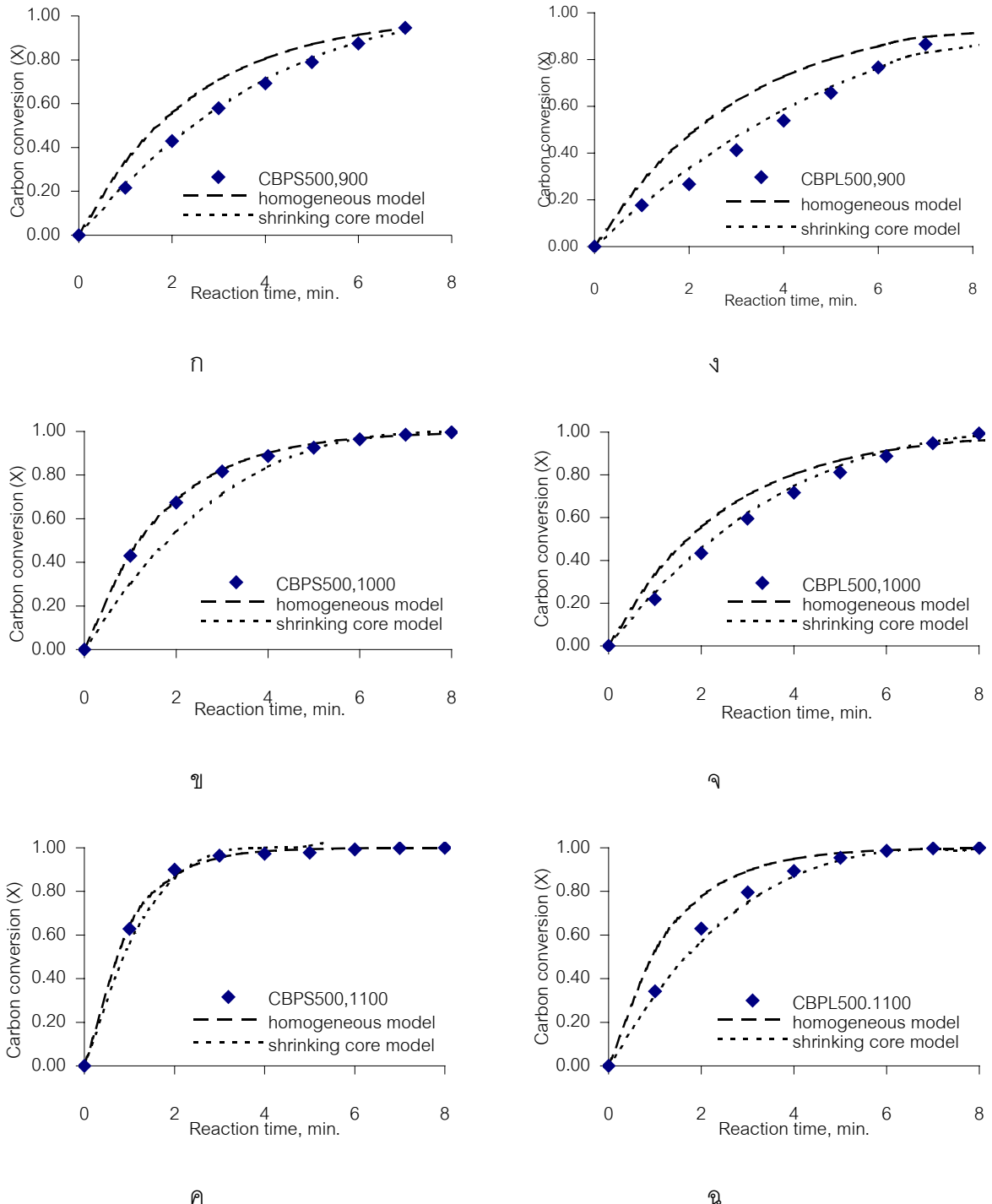
2. แบบจำลองแกนกลางหดตัว (Shrinking-core model) มีอัตราการเกิดปฏิกิริยาแสดงดังสมการที่ ค3.3

$$\frac{dX}{dt} = k(1-X)^{\frac{1}{3}} \quad (\text{ค3.3})$$

สามารถอนิทิเกรตสมการที่ ค3.3 ได้ความสัมพันธ์เชิงเส้นระหว่าง $(1-(1-X)^{\frac{1}{3}})$ กับเวลา ซึ่งสามารถหาค่าคงที่ปฏิกิริยาได้จากความชันของความสัมพันธ์ดังกล่าว ดังแสดงในสมการที่ ค3.4

$$1 - (1-X)^{\frac{1}{3}} = \frac{1}{3}kt \quad (\text{ค3.4})$$

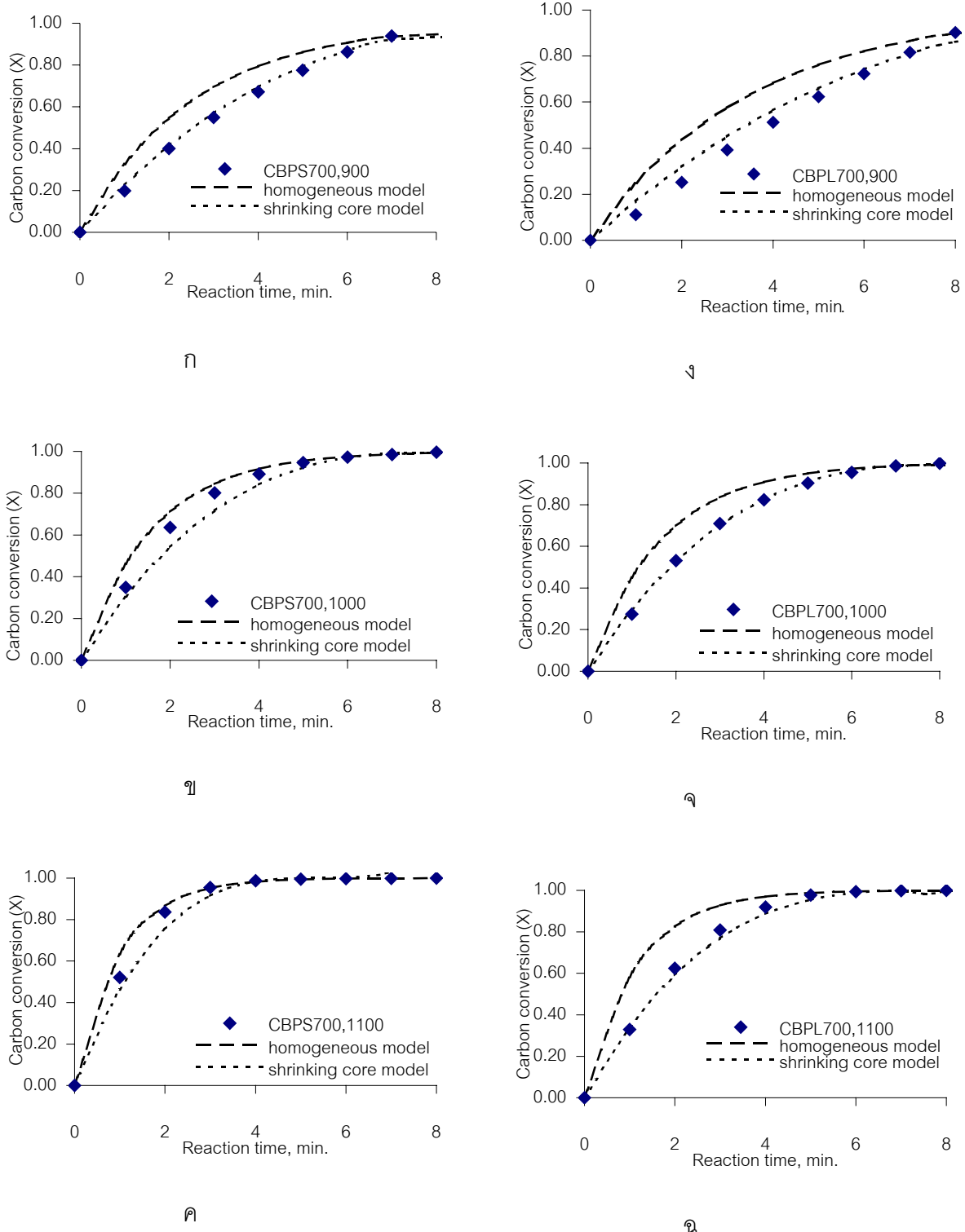
ตัวอย่างผลการทดสอบแบบจำลองไฮโมจีเนียสและแบบจำลองแกนกลางหดตัวกับผลการแกซิฟายถ่าน化บ้านปูขนาด <75 และ $150 - 250$ ไมโครเมตร อุณหภูมิไฟฟ้า 500 - 900 องศาเซลเซียส ที่อุณหภูมิแกซิฟาย 900 - 1,100 องศาเซลเซียส แสดงดังรูปที่ ค3.1 - ค3.3



รูปที่ ค3.1 ผลทดสอบแบบจำลองกับผลการแก๊สฟายถ่านชาร์อุณหภูมิไฟโรไลส์ 500

องศาเซลเซียส ค3.1ก-ค ขนาดอนุภาค <75 ไมโครเมตร

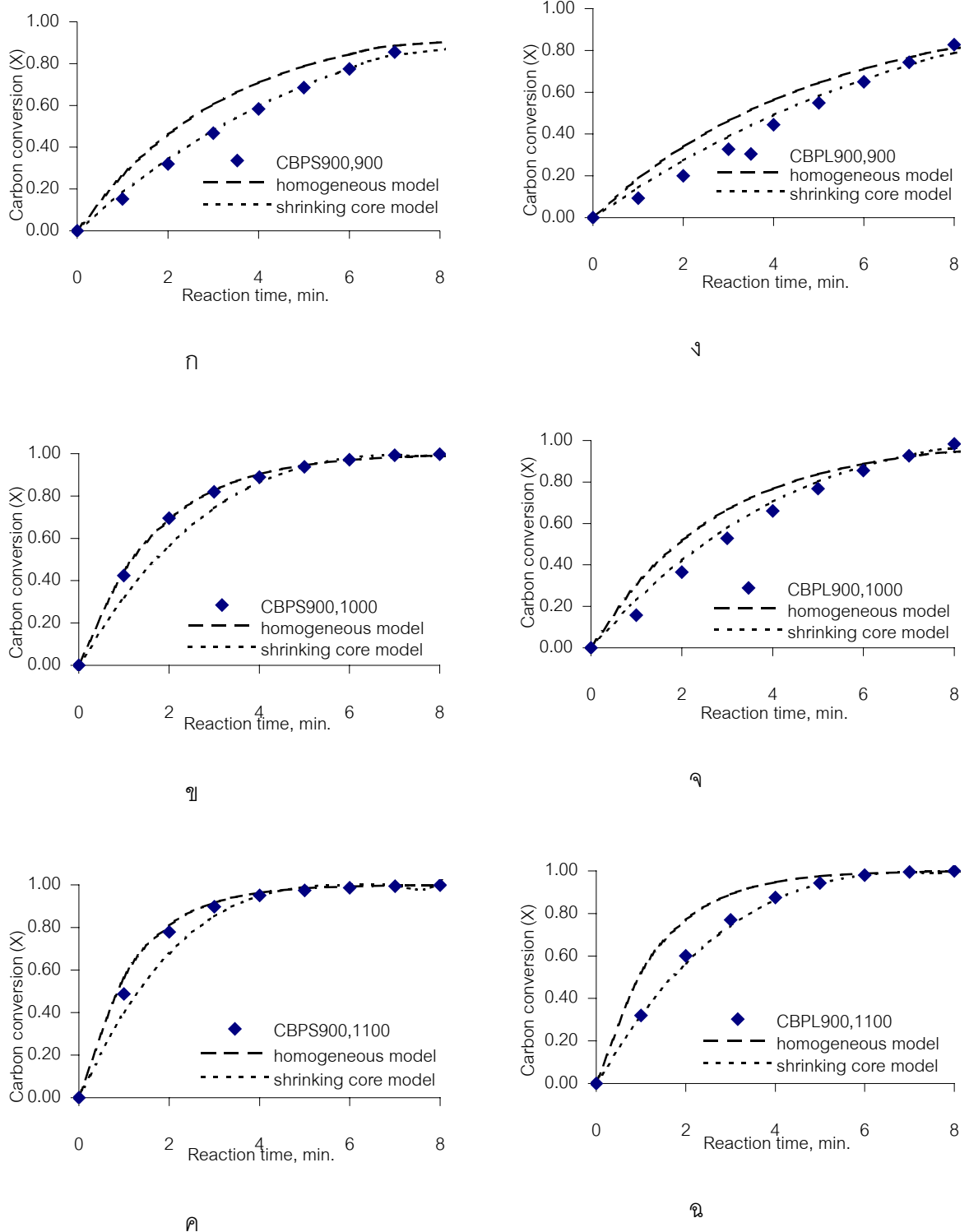
ค3.1ง-ฉ. ขนาดอนุภาค 150 - 250 ไมโครเมตร



รูปที่ ค3.2 ผลทดสอบแบบจำลองกับผลการแก๊สไฟยถ่านชาร์อุณหภูมิไฟโรไลส์ 700

องศาเซลเซียส ค3.2ก-ค. ขนาดอนุภาค <75 ไมโครเมตร

ค3.2ก-ฉ. ขนาดอนุภาค 150 - 250 ไมโครเมตร



รูปที่ ค3.3 ผลทดสอบแบบจำลองกับผลการแกซิฟายถ่านชาร์อุณหภูมิไฟโรไลส์ 900

องศาเซลเซียส ค3.3ก-ค. ขนาดอนุภาค <75 ไมโครเมตร

ค3.3ง-ฉ. ขนาดอนุภาค 150 - 250 ไมโครเมตร

ค4. ตัวอย่างการคำนวณหาค่าคงที่ปฏิกิริยาและพลังงานกว่าต้น

ค4.1. การคำนวณหาค่าคงที่ปฏิกิริยา

ในงานวิจัยนี้ได้เลือกแบบจำลองแกนกลางหดตัว (Shrinking-core model) ดังแสดงในสมการที่ ค4.1

$$\frac{dX}{dt} = k(1-X)^{\frac{2}{3}} \quad (\text{ค4.1})$$

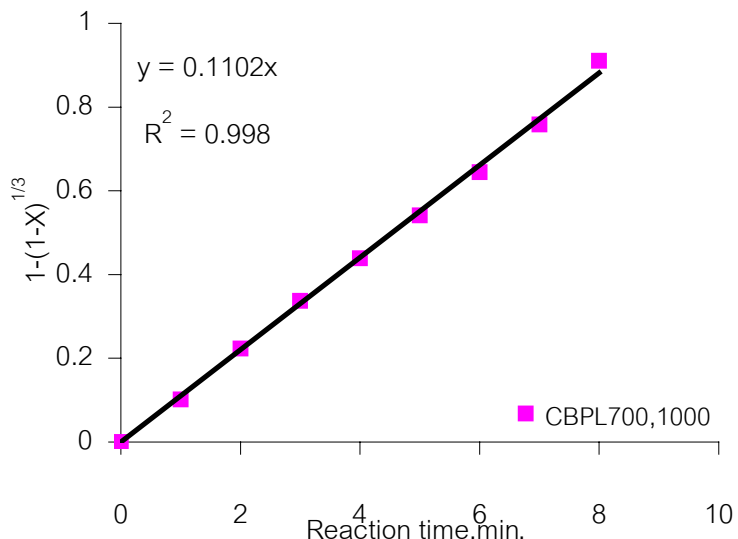
สามารถอินทิเกรตสมการที่ ค3.1 ได้ความสัมพันธ์เชิงเส้นระหว่าง $(1-(1-X)^{\frac{1}{3}})$ กับเวลา ซึ่งสามารถหาค่าคงที่ปฏิกิริยา (apparent reaction rate coefficient , k) ได้จากความชันของความสัมพันธ์ดังกล่าว ดังแสดงในสมการที่ ค4.2

$$1 - (1-X)^{\frac{1}{3}} = \frac{1}{3}kt \quad (\text{ค4.2})$$

จากความสัมพันธ์ระหว่างค่าร้อยละการเปลี่ยนของถ่านชาร์กับเวลา สามารถหาค่าคงที่ปฏิกิริยาได้จากความชันของกราฟระหว่าง $(1 - (1-X)^{\frac{1}{3}})$ กับ t

ตัวอย่างการคำนวณ

ถ่านชาร์บ้านปูขนาด 150 - 250 ไมโครเมตร อุณหภูมิไฟโวไลท์ 700 องศาเซลเซียส แกซิฟายท์อุณหภูมิ 1,000 องศาเซลเซียส



รูปที่ ค4.1 ความสัมพันธ์ระหว่าง $(1 - (1-X)^{\frac{1}{3}})$ กับเวลา

จากกราฟระหว่าง $(1 - (1 - X)^{\frac{1}{3}})$ กับเวลา มีความชัน เท่ากับ 0.11 นั่นคือ ค่าคงที่การเกิดปฏิกิริยาแกซิฟาย (k) ถ่านชาร์บ้านปูขนาด 150 - 250 ไมโครเมตร อุณหภูมิไฟโรไลส์ 700 องศาเซลเซียส แกซิฟายที่อุณหภูมิ 1,000 องศาเซลเซียส เท่ากับ 0.11 ต่อนาที

ค4.2. การคำนวณพลังงานgradeต้นการแกซิฟาย

คำนวณจากกฎของอาร์เรนียส (Arrhenius's Law)

$$k(T) = A \exp(-E_a/RT) \quad (\text{ค4.3})$$

หรือ

$$\ln k = \ln A - (E_a/RT) \quad (\text{ค4.4})$$

เมื่อ

- k = ค่าคงที่ปฏิกิริยา (rate constant)
- A = ค่าคงที่ (pre-exponential factor)
- E_a = ค่าพลังงานgradeต้นของปฏิกิริยา (activation energy), กิโลจูลต่อโมล
- R = ค่าคงที่ก้าซ เท่ากับ 8.314 จูลต่อโมลต่อเคลวิน
- T = อุณหภูมิสัมบูรณ์ของปฏิกิริยา, เคลวิน

นั่นคือ ค่าพลังงานgradeต้นปฏิกิริยาแกซิฟายถ่านชาร์คำนวณจากความชันของกราฟระหว่าง

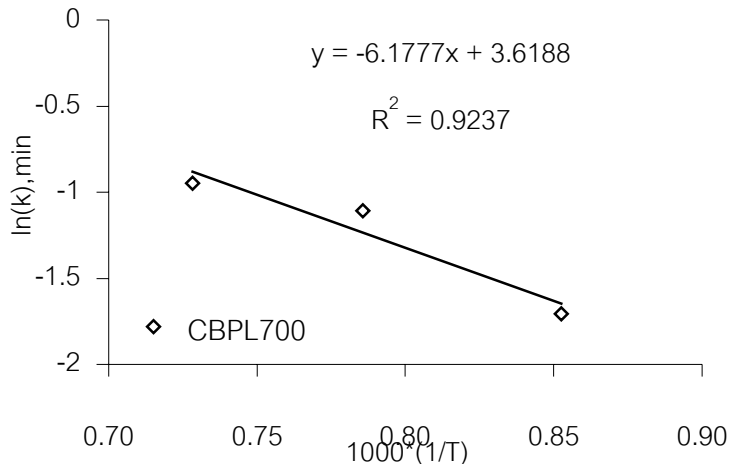
$\ln(k)$ กับ $1/T$

ตัวอย่างการคำนวณ

ถ่านชาร์บ้านปูขนาด 150 - 250 ไมโครเมตร อุณหภูมิไฟโรไลส์ 700 องศาเซลเซียส แกซิฟายที่อุณหภูมิต่างๆ มีค่าคงที่การเกิดปฏิกิริยาแสดงดังตารางที่ ค4.1

ตารางที่ ค4.1 ค่าคงที่ปฏิกิริยาและพลังงานgradeต้นของถ่านชาร์บ้านปู

Sample	Gasification T (°C)	k (min ⁻¹)	E_a (kJ/mol)	A (min ⁻¹)
CBPL700	900	0.18	51	37
	1000	0.33		
	1100	0.39		



รูปที่ ค4.2 ความสัมพันธ์ระหว่าง $\ln(k)$ กับอุณหภูมิแก๊สไฟฟ้าขึ้นต่ำๆ

จากกราฟความสัมพันธ์ระหว่าง $\ln(k)$ กับ $1/T$ ได้ความชัน เท่ากับ -6.1777 นั่นคือ

$$-Ea/R = -6.1777$$

$$Ea = -(-6.1777) * (8.314)$$

$$Ea = 51 \text{ กิโลจูลต่อมิล}$$

ค5. ผลการเปรียบเทียบปริมาณสารอนินทรีย์ในถ่านหินระหว่างถ่านหินบ้านปูที่ผ่านการล้าง และไม่ผ่านการล้างสารอนินทรีย์

ตารางที่ ค5.1 ผลการเปรียบเทียบปริมาณสารอนินทรีย์ในถ่านหินด้วยเทคนิค XRF

Basis: 100 g of coal.

Elemental Oxide	Mwt	Ash composition (%wt)		Ash composition (mole)	
		BP	DBP	BP	DBP
Na ₂ O	62	0.153	0.016	0.002	0.000
MgO	40.3	0.503	0.071	0.008	0.001
Al ₂ O ₃	102	3.976	2.499	0.064	0.040
SiO ₂	60.1	6.728	4.905	0.109	0.079
P ₂ O ₅	142	0.011	0.003	0.000	0.000
SO ₃	80.1	2.797	0.019	0.045	0.000
K ₂ O	94.2	0.221	0.155	0.004	0.003
CaO	56.1	1.448	0.025	0.023	0.000
TiO ₂	79.9	0.065	0.038	0.001	0.001
Fe ₂ O ₃	160	2.861	0.956	0.046	0.015
Total		18.761	8.688		

ประวัติผู้เขียนวิทยานิพนธ์

นางสาว สุภาภรณ์ เศวตาภรณ์ เกิดเมื่อวันที่ 17 ตุลาคม พ.ศ. 2522 ที่จังหวัดฉะเชิงเทรา สำเร็จการศึกษาปริญญาวิทยาศาสตรบัณฑิต สาขาวิชาเคมีวิศวกรรม ภาควิชาเคมีเทคนิค คณะวิทยาศาสตร์ จุฬาลงกรณ์มหาวิทยาลัย ในปีการศึกษา 2544 และเข้าศึกษาต่อในหลักสูตรวิทยาศาสตรมหาบัณฑิต สาขาวิชาเคมีเทคนิค ที่จุฬาลงกรณ์มหาวิทยาลัย ในปีการศึกษา 2545